

R A Z P R A V E  
P A P E R S  
XII

VSEBINA — CONTENTS:

F. Bernot:	Vzroki poplav v Slovenskem primorju . . . . .	7
	Causes of floods in the coastal region of Slovenia	
Z. Petkovšek:	Preprosta obravnava razkroja radiacijske megle . . . . .	17
	A simple treatment of radiation fog clearence	
M. Trontelj:	Prognoza neviht nad Slovenijo s pomočjo empiričnih parametrov . . . . .	29
	Thunderstorm forecast over Slovenia (Yugoslavia) by means of empirical parameters	
J. Pristov:	Uporabnost labilnostnih faktorjev za prognozo neviht in toče v Sloveniji . . . . .	39
	Usefulness of lability factors for thunderstorm and hail forecast in Slovenia	
B. Paradiž:	Nekaj karakteristik onesnaženja zraka v Ljubljani . . . . .	53
	Some characteristics about atmospheric pollution at Ljubljana	
S. Verhovnik:	Onesnaženje mesta Maribora s SO <sub>2</sub> in dimom . . . . .	75
	Pollution of atmosphere with sulphur dioxide and smoke in Maribor	
A. Hočevan, M. Jurgele, Z. Petkovšek:	Metoda prenosa velike množice vektorjev vremena na hitre medije računalnikov . . . . .	89
	A method for transfer of large weather vectors' population to high speed input media of computers	

## VZROKI POPLAV V SLOVENSKEM PRIMORJU

## CAUSES OF FLOODS IN THE COASTAL REGION OF SLOVENIA

551.46.7

FRANCE BERNOT

Hidrometeorološki zavod SRS, Ljubljana

### SUMMARY:

Both on November 3, 1968 and during the night of November 1969 The Slovenian coast was overflowed by the sea. Lower parts of coastal towns were submerged, which caused damage on buildings, piers, means of sea transportation and roads. Such floods were frequent in the past years as well, but no data about them are available.

The main causes for these floods were the following: Syzygial tide, strong winds ("Jugo") and reduced air pressure together. For each of these floods the author made a comparison of the forecasted tide course with the observed one at Koper (Figs. 1 and 3). The baric situations were analysed. On November 3, 1968 in a large depression a secondary wave developed in the North Mediterranean which strengthened the winds over the Adriatic sea (Direction SE, Beaufort wind force 6 - 8, fig. 2). During the night of November 1969, the depression which was situated to the west of Sardinia and Corsica at first (Fig. 4), moved to the North Adriatic (Fig. 5). The SE winds strengthened to Beaufort wind force 7 - 8. In both cases a large fall of air pressure was observed above the overflowed regions. (Air pressure fall of 1 mb causes the sea level to rise for 1 cm.)

In studying the two floods we find the presence of all three causes that contributed to the rising of the sea level.

Dne 3. nov. 1968 je morje ob slovenski obali Istre prestopilo bregove in preplavilo nižje ležeče dele obalnih mest. Pod vodo so bili v Piranu Tartiničev trg, v Izoli notranje pristanišče, v Kopru pa avtobusna postaja /1/. Poplava, ki je nastopila dobro leto kasneje, je prizadejala večjo škodo. Poplavila je sicer iste predele mest. V Kopru je zalila Bonifico, tako da so bili pritlični prostori nove šole (telovadnica) poplavljeni. Na nekaterih mestih so valovi izpodkopali cesto Koper - Izola. V Piranu je bila škoda največja. Kamnite bloke, ki ščitijo Prešemovo nabrežje, so valovi vrgli iz vode in razmetali po asfaltiranem delu nabrežja prav do hiš in še daleč v ozke ulice, ki so odprte proti morju (avtopsijsa).

Poplave najnižjih predelov naših obalnih mest so bili v zadnjih štirih letih redne v mesecu novembru: 4. nov. 1966, 5. nov. 1967, 3. nov. 1968 ter v noči od 25. na 26. nov. 1969. Nedvomno so bile poplave česte tudi v prejšnjih letih, vendar avtor o tem nima podatkov. Vzroki prvih dveh poplav (november 1966 in 1967) so že analizirani /2/. Oglejmo si zato poplavi v novembri 1968 in 1969.

Že ob normalnih visokih plimah, ki so samo posledica astronomske konstelacije (Zemlja - Luna - Sonce : konjunkcija ali opozicija) je gladina morske vode le nekaj centimetrov pod najnižjo točko obale v Piranu (ob vhodu na Tartiničev trg). Čim se ob takih astronomsko pogojenih visoki plimi pojavi še kak faktor, ki dodatno učinkuje na zvišanje morske gladine (veter, znižan zračni pritisak, itd.) je poplava neizbežna.

Oglejmo si najprej nastanek in razvoj visoke plime v Piranu dne 3. nov. 1968 in poiščimo vzroke, ki so poleg astronomskih dodatno učinkovali na morsko vodo.

Najprej moramo vedeti, kakšen bi bil prve dni novembra 1968 normalni potek bibavice (časovni in kvantitativni). Tovrstne podatke, ki so izračunani za Trst /3/, smo vnesli v mareogram koperskega mareografa. Vse faze bibavice se ob naši obali pojavljajo pet minut prej kot v Trstu /4/, vendar bomo to časovno diferenco v obeh primerih v nadaljnjih izvajanjih zavestno zanemarili iz čisto tehničnih razlogov. Mareograf v Kopru je namreč tedenski, zato je časovna mreža na mareogramu zelo gosta in manj pregledna. Že krivulja, ki jo riše pero ob idealnih pogojih, je tako debela kot dolžina, za katero se trak registratorja premakne v 10 minutah. Če je morje nekoliko razgibano, potem riše pero drobno zobčasto črto, kar dejansko samo odebeli mareogramske krivulje. Če pa je še registrirni papir slab, potem se črnilo razliva in točna analiza takega mareograma je zelo otežkočena.

8

Po predvidevanjih bi morala primarna plima v prvih dneh novembra 1968 naraščati, oseka pa bi se morala nižati /3/. To se pravi, dnevna amplituda ned primarnima ekstremoma bibavice bi se morala večati do 5. nov. 1968, kajti tega dne bi bila Luna in Sonce z ozirom na Zemljo v opoziciji. Po tem datumu pa bi se morala amplituda manjšati (Tabela 1). Prva dneva se je dejanski potek bibavice v Kopru ujemal s predvidenim (1. in 2. novembra 1968). V zgodnjih urah dne 3. nov. 1968 je pričelo morje naraščati, vendar je naraščalo hitreje, kot je normalno. Plima je bila predvidena za 8.05. uro, vendar je dosegla maksimum že nekaj minut po sedmi uri. Leta pa je bil znatno nad predvidenim - normalnim (Slika 1). Zato je morska voda v Kopru, Piranu in Izoli prestopila obalno črto in preplavila najnižje ležeče mestne predele. Poplava ni trajala dolgo. Še pred nastopom naslednje oseke, ki so jo pričakovali v Piranu ob 15.40. uri so bile razmere že normalne. Vzrok za tako visoko plimo bomo mordli iskati ne samo v astronomskih činiteljih, temveč tudi v meteoroloških razmerah tistih dni.

Dne 1. nov. 1968 je bila celotna zahodna Evropa v območju nizkega zračnega pritiska s središčem nad Irsko (Slika 2). Ta ogromna depresija se je v naslednjih dneh počasi premikala proti vzhodu. V jutranjih urah dne 3. nov. 1968 je bila pod njenim vplivom celotna Evropa in še velik del Mitterana. V okviru tega ogromnega področja nizkega zračnega pritiska se je v noči od 2. na 3. november 1968 razvilo južno od Alp sekundarno ciklonsko jedro, kar je okreplilo vetrove nad Jadranom. Leta so vso noč pihali z jakostjo 6 - 7 po Beaufort-u.

S. Polli ugotavlja /4/, da se ob zmernih južnih vetrovih lahko dvigne morska gladina do 25 cm. Pri zelo močnem jugu /široko/, zlasti jeseni in v prvi polovici zime, pa lahko doseže zvišanje gladine morja do pol metra. Nadalje povzroča znižanje zračnega pritiska za 1 mb dvig gladine morja za približno 1 cm. Ne nazadnje moramo upoštevati še letno nihanje vodostajev, ki so meteorološko pogojeni /4/. Poprečni mesečni vodostaji so najvišji med oktobrom in decembrom, najnižji pa med januarjem in marcem.

V pravkar obravnavanem primeru poplave ob naši obali vidimo, da so sodelovali naslednji elementi:

1.- Veter. Vso noč od 2. na 3. november 1968 je pihal vzdolž Jadranu močan jugozahodnik (jakost 6 - 7 po Beaufort-u), ki je narival vodne gmote v severni Jadran. Gladina morja se tega dne ni dvignila samo ob naši obali, počapljalene so bile tudi Benetke.

2.- Zračni pritisak. Normalni novembrski zračni pritisak v Kopru (v obdobju 1958 - 1967) znaša 1012,0 mb-reduc. na morski nivo. Dne 3. nov. 1968 ob 7. uri zjutraj je znašal zračni pritisak 1000,3 mb. V noči od 2. na 3. nov. 1968 je zračni pritisak padel od 19. do 7. ure za 7,4 mb. Tako velik padec zračnega pritiska je znatno pripomogel k dvigu morske gladine.

3.- Sezonski dvig morske gladine v pozni jeseni smo že omenili. Kakor vi-

9

dimo, so k visoki plimi dne 3. nov. 1968 pripomogli tudi meteorološki činitelji.

Leto dni kasneje je naše obalno področje zajela nova ujma. Tudi to poplavo bomo obravnavali na isti način. Najprej primerjajmo predvideni in dejanski potek oscilacij morske gladine. Dnevna ekstrema med primarnima ekstremoma bibavice bi se morala tiste dni polagoma manjšati (Slika 3). Iz iste slike razberemo, da je bil dne 24. in pretežni del 25. nov. 1969 potek bibavice normalen, dasi so bili vsi vodostaji nekoliko nad predvidenimi vrednostmi. V poznih popoldanskih in večernih urah tega dne pa je pričela gladina morja naraščati in je ob času (23,00 po SEČ), za katerega je bila prognozirana plima + 23 cm, za 107 cm presegla predvideno vrednost. Višek plime je nastopil nekaj po polnoči. Točen čas niti točne višine plime se po mareografu v Kopru ne more ugotoviti, kajti plima je za kratek čas presegla maksimalno višino, ki bi jo instrument še lahko registriral. Pisalo mareografa se je dvignilo nad registrirni trak. Ponovno je pričelo registrirati vodostaje šele takrat, ko je gladina morja nekoliko upadla. Nižanje morskega nivoja je bilo naglo, vendar je naslednja oseka, ki je nastala ob 04,50. uri dne 26. nov. 1969 kasnila za predvideno za ca 70 minut. Po višini pa je za 38 cm presegla prognozirano vrednost.

Vremenska situacija pred poplavo in ob njej je bila naslednja:

Dne 25. nov. 1969 ob 13.uri je bila vsa zahodna Evropa v območju obsežnega področja nizkega zračnega pritiska s centrom ciklona zahodno od Sardinije in Korzike (Slika 4). Zahodno od Alp je v ta predel Mediterana vdiral mrzel zrak, ki je poglobil ciklon. Značilnost tega ciklona je izredna temperaturna asimetrija: v toplem sektorju so bile temperature zraka med 15° in 20°C, v hladnem pa med 1° in 5°C. V naslednjih 12 urah se je središče depresije polagoma pomikalo proti severovzhodu in se pri tem poglabljalo. Ob 1. uri po polnoči dne 26. nov. 1969 je doseglo na severni Jadran (Slika 5). Jakost vetrov je v tem času -/zlasti na Jadrani - zelo narasla. V smeri podolžne osi Jadrana je tedaj pihal široko (jugo) z jakostjo 7 - 8 po Beaufort-u.

Tudi pri tej poplavi so sodelovali enaki činitelji kot pri prejšnji:

1.- Veter. Z bližanjem središča ciklona severnemu Jadranu se je jakost vetra stopnjevala. Pihal je jugovzhodnik z jakostjo 7 - 8 po Beaufort-u. Leta je narival v najsevernejši del jadranskega morskega bazena vodne mase, ki niso mogle dovolj naglo odtekati v spodnjih plasteh.

2.- Zračni pritisk. Dne 25. nov. 1969 ob 12. uri je znašal zračni pritisk 998,5 mb. V drugi polovici dneva je naglo padal in znašal opolnoči 976,8 mb. Po 1. uri dne 26. nov. 1969, po prehodu centra depresije, se je sprva naglo, nato pa bolj zmerno, dvigal. Normalno vrednost (1012,0 mb - popreček obdobja 1958 - 1967) je dosegel šele 27. nov. 1969 med 22. in 23. uro. Nedvomno je znižanje zračnega pritiska za 21,7 mb v 12 urah, oziroma za 35,2 mb pod novembrsko normalno vrednost, znatno pripomoglo k dvigu morske gladine.

3.- Sezonski dvig morske gladine. Nanj nas opozarjajo razlike v višini vodostajev, ki so bili že pred poplavou nad predvidenimi.

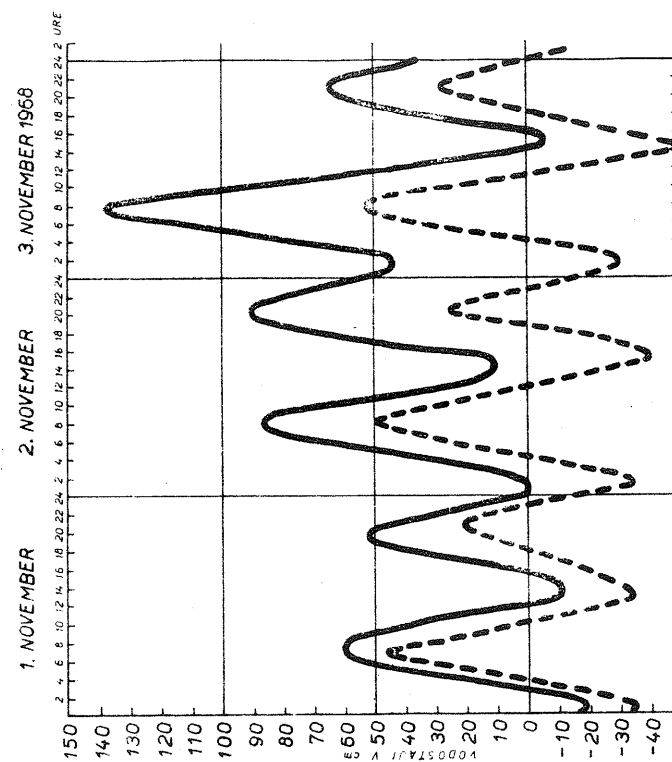
Vsa ta izvajanja dokazujejo, da so med vzroki obeh poplav tudi meteorološki činitelji.

## LITERATURA

- /1/ Beležka v "DELU" št. 302 z dne 4. nov. 1968 - str. 8 - Ljubljana
- /2/ F. Bernot - Meteorološki vzroki poplav Pirana - Letno poročilo meteorološke službe za 1966 - Ljubljana 1969
- /3/ L. Trott - Tabellen di previsione delle maree per Trieste - Anno 1968 - Trieste 1967
- /4/ S. Polli - Tabellen di previsione delle maree per Trieste e l'Adriatico settentrionale per l'anno 1964 - Trieste 1963
- /5/ L. Trott - Tabellen di previsione delle maree per Trieste - Anno 1969 - Trieste 1968.

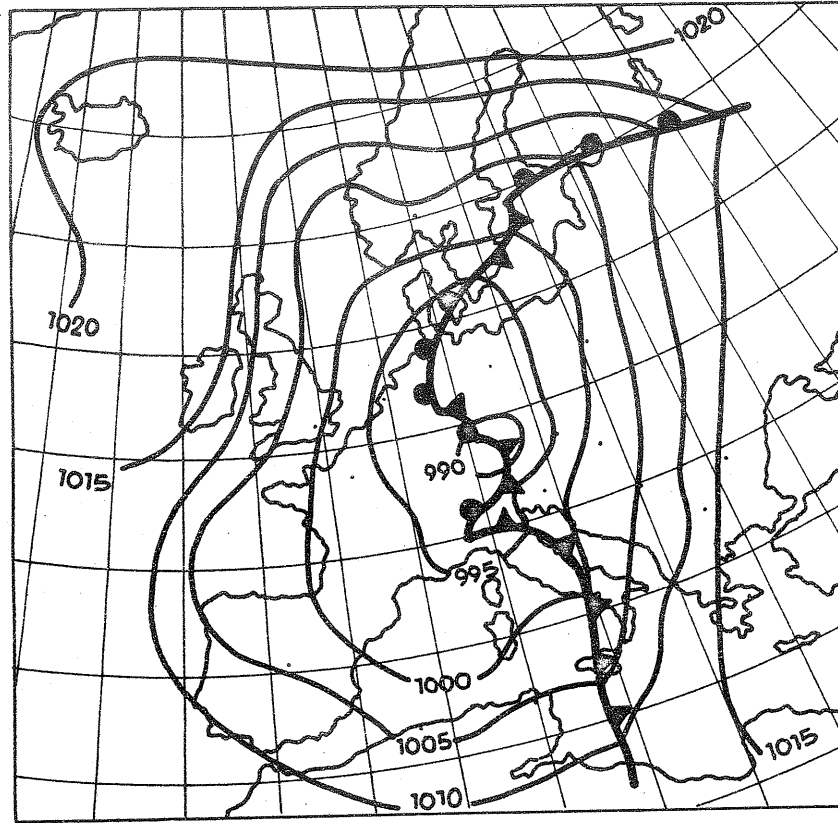
TABELA 1 Predvideni vodostaji bibavice v Trstu med 1. in 6. novembrom 1968 /3/  
 TABLE 1 Forecasted tide course at Trieste during November 1 and 6, 1968 /3/

Datum	Ura /SEČ/	Višina vodostaja v cm	Amplituda v cm
1. nov.	00,53	- 35	82
	07,25	47	82
	13,53	- 35	57
	19,40	22	57
2. nov.	01,30	- 35	86
	07,50	51	94
	14,20	- 43	69
	20,10	26	58
3. nov.	01,58	- 32	86
	08,10	54	104
	14,45	- 50	78
	21,00	28	56
4. nov.	02,20	- 28	83
	08,35	55	109
	15,10	- 54	83
	21,20	29	53
5. nov.	02,45	- 23	77
	08,54	54	111
	15,35	- 57	85
	22,00	28	56
6. nov.	03,00	- 18	70
	09,15	52	109
	16,00	- 57	82
	22,30	25	



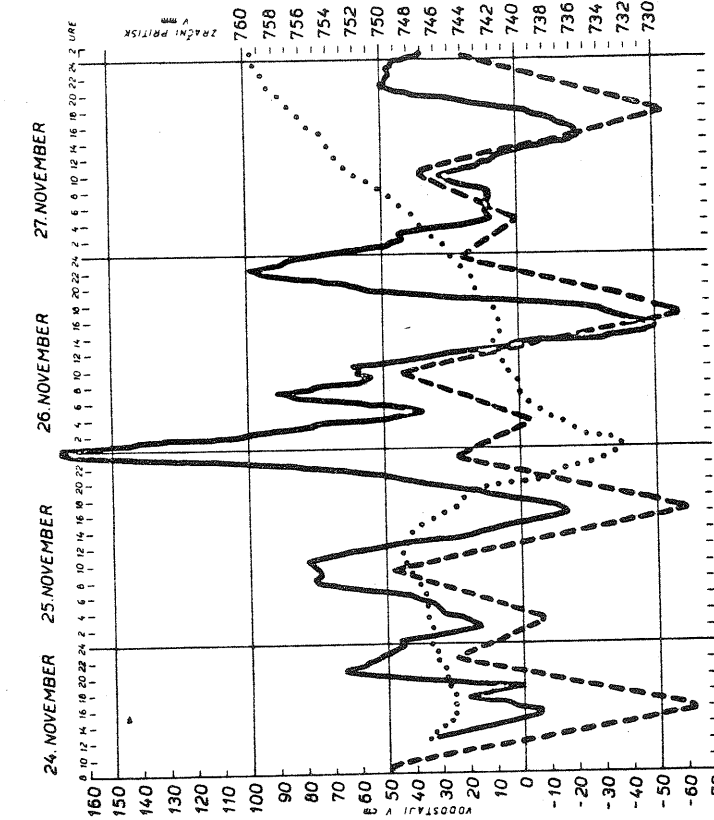
Slika 1 Mareogram za Koper (—) in predvideni potek bibavice v Trstu (---) med 1. in 3. novembrom 1968.

Fig. 1 Sea level record at Koper (—) and forecasted tide course at Trieste (---) during November 1 and 3, 1968.



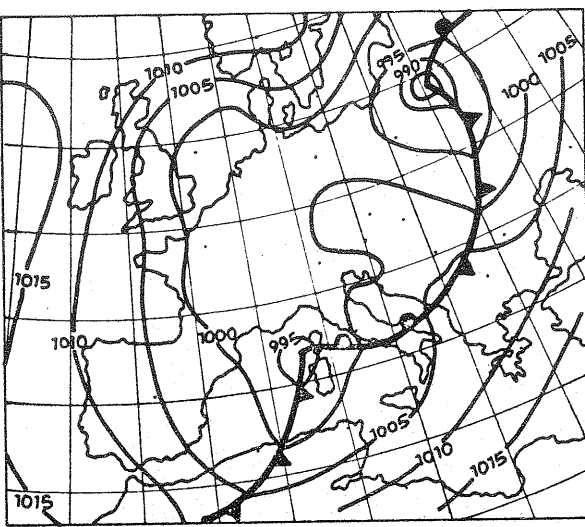
Slika 2 Sinoptična karta ob 0700 uri 3. novembra 1968 (po srednjeevropskem času).

Fig. 2 Synoptic weather map at 07:00 a.m. on November 3, 1968 (Central European Time).



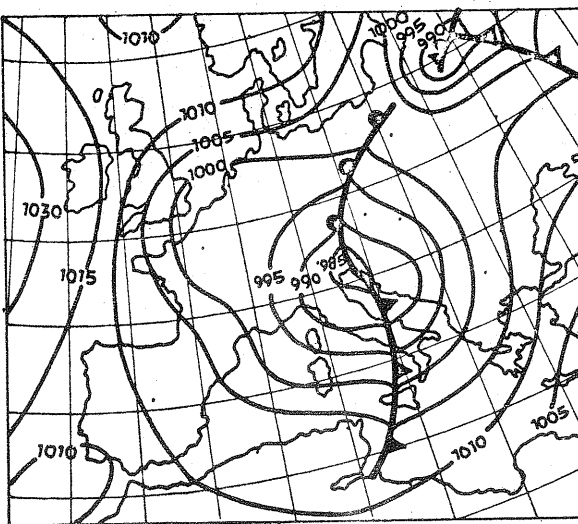
Slika 3 Mareogram za Koper (—), predvideni potek bibavice v Trstu (---) in potek zravnega pritiska v Kopru med 24. in 27. novembrom 1969.

Fig. 3 Sea level record at Koper (—), forecasted tide course at Trieste (---) and air pressure course at Koper during November 24 and 27, 1969.



Slika 4 Sinoptična karta ob 1300 uri 25. novembra 1969.

Fig. 4 Synoptic weather map at 13:00 p.m. on November 25, 1969.



Slika 5 Sinoptična karta ob 0100 uri 26. novembra 1969.

Fig. 5 Synoptic weather map at 01:00 a.m. on November 26, 1969.

PREPROSTA OBRAVNAVA RAZKROJA RADIACIJSKE MEGLE  
A SIMPLE TREATMENT OF RADIATION FOG CLEARANCE

551.509.325

ZDRAVKO PETKOVŠEK

Katedra za meteorologijo FNT, Ljubljana

SUMMARY:

Assuming that a lake with cold foggy air in a valley under inversion forms a closed thermodynamic system into which there is a known energy income in the morning, an equation for temperature changes in each column of foggy air regarding its height is developed. Generally the equation can not be solved analytically, but one possibility for its numerical solution is given elsewhere /4/. For illustration however are given here two examples, calculated on time-average values of quantities. The results are approximate and in rough agreement with the observations.

In the second part of the article some interesting observations of fog clearance in Ljubljana and Bohinj valley obtained by filming with time reductions are presented and discussed. It was confirmed that right after the sunrise the fog often became thicker. Its clearance starts at the borders of the slopes of the valley and advances toward the places of its greater thickness. This place does not depend only on the topography, but also on the pressure field above the inversion layer. Some waves and swinging of the upper border of fog were found and discussed. It was found also that in valleys with steep slopes the dynamic effects of slope circulations are very effective for the fog dissipation. In large valleys however the direct income of sun's radiation is dominant.

## UVOD

V naših nižinah in kotlinah je radiacijska megle zelo pogostna /1/. Radiacijska megle v kotlinah se navadno razkraja predvsem zaradi vpliva sončnega obsevanja. Opazovanja kažejo, da se razkroji tem pozneje, čim večja je njena debelina in gostota; važen pa je tudi letni čas, ki z višino sonca odloča o jakosti ogrevanja oziroma o dovolju topote. Zrak v kotlini pod inverzijo tvori skupaj s kondenzirano vodo na teh precej zaključen sistem. Temu je treba dovesti ustrezeno količino topote, da se dovolj ogreje ter lahko izhlapijo vse kapljice muge kakor tudi v noči na teh kondenzirana voda. Ko se ob tem kotlinski zrak ogreje do ustrezone temperature  $T_p$ , muge izgine.

Pot do določitve razkroja muge gre torej preko določitve potrebne količine topote. To količino je Kennington /2/ določal po tabelah obsevanja ter do datno postavil korekcijski faktor. Na njegov sistem sta se naslonila pri svojem delu tudi Wright in Weinman /3/ z natančneje določitvijo nekaterih količin – predvsem optičnih lastnosti muge.

Za prognozo razkroja muge pa ni važna le količina dovedene topote, temveč tudi drugi faktorji, ki odločajo o neposrednem dvigu temperature v zračnem stebru megle zraka. Tak faktor je tudi višina zračnega stebra, ki je v kotlinah lahko zelo različna. V tem delu je zato izpeljana preprosta enačba, ki omogoča določiti potek temperaturnih sprememb v zaključenem sistemu kotlinskega zraka. Enačba daje osnovo za numerično reševanje tega problema, ki pa je podano drugje /4/, v tem delu pa bomo prikazali poleg njene izpeljave le preprosti primer analitične rešitve za dva primera; podali pa bomo tudi nekaj ugotovitev posebnih površinskih opazovanj in filmskih snemanj razkroja muge v naših kotlinah.

## IZPELJAVA ENAČBE

Če zanemarimo sorazmerno majhna člena, ki predstavljata vpliv sprememb zračnega pritiska in ogrevanja majhne količine vode v zraku, lahko zapisemo v skladu s prvim stavkom termodinamike dovedeno topoto

$$dQ_m = m c_p dT - L dm_a \quad 1$$

kjer je  $m$  celotna masa vlažnega zraka,  $c_p$  specifična topota tega zraka,  $T$  temperatura,  $L$  latentna topota izhlapevanja in  $m_a$  masa vodnih kapljic in s tem izhlapele vode. Masa kondenzirane vode je zato po izhlapanju enaka povečani masi vodne pare

$$- dm_a = dm_v \quad 2$$

Intenzitet sprememb teh količin dobimo z odvodom po času ter je jekost dovede topote podana z

$$\frac{dQ_m}{dt} = m c_p \frac{dT}{dt} + L \frac{dm_v}{dt} \quad 3$$

Očitno velja enačba

$$m = \varrho S h \quad 4$$

kjer je  $\varrho$  gostota,  $S$  površina in  $h$  višina zračnega stebra ter zanje predpostavimo, da niso odvisne od časa. Za enoto površine tedaj lahko pišemo

$$\frac{dQ}{dt} = \varrho h c_p \frac{dT}{dt} + h L \frac{d\varrho_v}{dt} \quad 5$$

kjer je  $\varrho_v$  gostota nasičene vodne pare, saj predpostavimo, da je zrak do končnega razkroja muge nasičen. Ker je po enačbi stanja

$$\varrho_v = \frac{e_w}{R \frac{T}{V}} \quad 6$$

in velja za konstantno vrednost plinske konstante za vodno paro

$$\frac{d\varrho_v}{\varrho_v} = \frac{de_w}{e_w} - \frac{dT}{T} \quad 7$$

dobimo po uvedbi Clausius-Clapeironove enačbe oblike

$$\frac{de_w}{e_w} = A \frac{dT}{T} \quad 8$$

kjer je konstanta  $A$  razmerje celotne in zunanjé latentne topote z vrednostjo približno 20, zadnji člen enačbe 5 v obliki

$$\frac{d\varrho_v}{dt} = h L \varrho_v (A-1) \frac{dT}{dt} \quad 9$$

Iz kombinacije enačb 6, 9 in 5 dobimo končno enačbo

$$\frac{dT}{dt} = \frac{dQ/dt}{h(\varrho c_p + L e_w (A-1)/R_v T^2)}, \quad 10$$

ki je izhodiščna enačba za reševanje problema razkroja megle in je ob eksplicitnem zapisu dovoda toplotne podobna Beersovi enačbi /5/.

Privzamemo, da veljajo naslednje odvisnosti:

$c_p, \varrho, L, R_v, A$  so praktično konstante

$h = \text{konst. nad ravnino, (v kotlinah pa je } h = h(x, y) \text{)}$

$dQ/dt, e_w$  in  $T$  pa so funkcije časa.

Zaradi takih odvisnosti je možna v splošnem le numerična rešitev gornje enačbe.

#### PRIMER ANALITIČNE REŠITVE

Analitična rešitev enačbe 10 je možna za konstantne vrednosti gornjih odvisnih količin. Zaradi vzamemo v posebnih primerih približne oziroma ocenjene poprečne vrednosti s časovnega intervala. Tedaj lahko  $t$ , ki nam predstavlja čas razkrjanja megle plast ob sončnega vzhoda, ko se prične ogrevanje  $t_0 = 0$ , do izhlapišči vseh kapljic  $t_p$ , zapišemo v obliki

$$t_p = h(\varrho c_p + L e_w (A-1)/R_v T^2) \cdot (T_p - T_0) / dQ/dt \quad 11$$

kjer je  $T_p$  srednja temperatura megle zračne plasti ob času  $t_p$  in  $T_0$  prognozirana srednja temperatura te plasti ob končnem razkroju megle. To je  $T_p$  srednja temperatura zračnega stebra meglene jezera, do katere se mora vlažen oziroma nasičen zrak segreti, da bo megle v celoti izginila.

Pri radiacijski megli imamo v kotlinskem zraku pod inverzijo tudi glede vodne pare dokaj zaključen sistem. Po sončnem zahodu začeta navadno absolutna vлага in parni pritisk hitro padati, ker se vлага izloča, najprej v obliku rose in nato še v obliki megle, in te kapljice tudi sicer počasi, a vztrajno, padajo in izpadajo. Ko se naslednjí dan tla in od njih zrak ogrevata, vsa ta voda izhlapeva in se konvektivno prenaša v višine, kjer pa se zaradi adiabatnega ohlajanja lahko ponovno kondenzira – megle se ob razkroju "dvigne" v stratusno oblačnost oziroma se pretvarja v kosme. Zato lahko privzamemo, da bo parni pritisk ob končnem razkroju megle oziroma stratusa približno tak kot je bil prejšnji dan pooldne in bo prognozirana srednja temperatura plasti tista, za katero je omenjeni parni pritisk nasičen – to pa je popoldanska temperatura rosišča  $T_{dn}$ , vendar povečana za vrednost zaradi ustvaritve adiabatnega gradijenta. Pri konvektivnem mešanju megle plasti se namreč ustvarja gradient, ki velja za pogojno la-

20

bilnost (med vlažno in suhoadiabatnim). Da pride do končnega razkroja stratusne oblačnosti oziroma dvignjenih kosmov, se mora temperatura ne le v sredini v povprečju, ampak tam zgoraj dvigniti do vrednosti  $T_p$ . Prognozirana poprečna temperatura plasti ob razkroju je zato višja in v skladu s sliko 1 približno podana z enačbo

$$T_p = T_{dn} + \gamma_p \frac{h}{2} \quad 12$$

Pri čemer je  $\gamma_p$  gradient pogojne labilnosti, a je verjetno bližje vlažnoadiabatnemu. Za nasičen parni pritisk poprečja v času, ki nastopa v enačbi 11, pa vzamemo srednjo vrednost med jutranjim ob sončnem vzhodu in tistim, ki ga dobimo iz  $T_{dn}$ .

Kot primer podajamo dva izračuna za razkoj megle v Ljubljanski kotlini, ko smo razkroj natančneje opazovali in snemali. Vrednosti, ki so za oba primera enake, so:

$$\varrho = 1,2 \text{ kg m}^{-3}, c_p = 0,24 \text{ cal g}^{-1} \text{ st}^{-1}, L = 600 \text{ cal g}^{-1}, R_v = 0,11 \text{ cal g}^{-1} \text{ st}^{-1} \text{ in } A = 20; \text{ posebne vrednosti pa so:}$$

21. 9. 1969

$$h = 300 \text{ m}$$

$$T_0 = 7,8^\circ\text{C}$$

$$T_p = 11,8^\circ\text{C}$$

$$dQ/dt \approx 0,24 \text{ cal cm}^{-2} \text{ min}^{-1}$$

$$t_p \approx 6 \text{ ur}$$

23. 9. 1969

$$h = 200 \text{ m}$$

$$T_0 = 8,7^\circ\text{C}$$

$$T_p = 12,8^\circ\text{C}$$

$$dQ/dt \approx 0,24 \text{ cal cm}^{-2} \text{ min}^{-1}$$

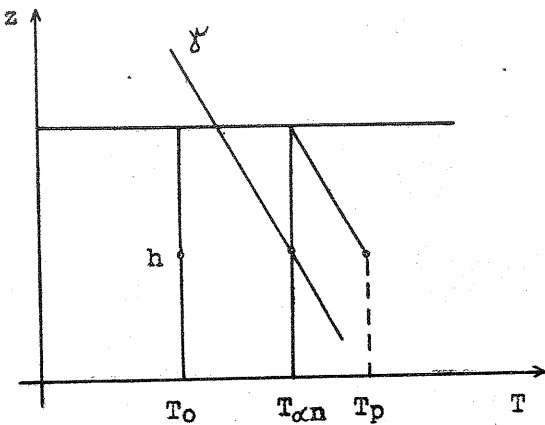
$$t_p \approx 4 \text{ ure}$$

Najbolj problematično je določiti poprečni topotni tok, ki ogreva zrak in omogoča izhlapevanje. Ta količina je odvisna od letnega in dnevnega časa (zaradi višine sonca), od lokalnih pogojev, od gostote megle, od vrste tal itd. in jo je treba določiti kot funkcijo prostora in časa, če hočemo gornjo enačbo dobro uporabiti v prognostične namene – eden izmed načinov razložen drugje /4/. Tu pa smo dejansko ravnali v obratni smeri in smo to količino računali, ker nam je bil čas razkroja iz opazovanj znan. Opazovana časa  $t_p$  se torej ujemata z izračunanim po enačbi 11, če vzamemo za poprečni topotni tok v obeh primerih približno enako vrednost  $dQ/dt$  kot je navedena zgoraj. Ta vrednost pa se v globem ujema s tisto, ki jo dobimo z umih vrednosti sončnega obsevanja za Ljubljano /6/.

Enačba 11 nam torej daje možnost za približno računske določitev čas

21

razkroja radiacijske megle v kotlini, če poznamo debelino megle in meteorološke parametre vključno približno poprečna vrednost jakosti dovoda toplote na enoto površine tal pod meglo.



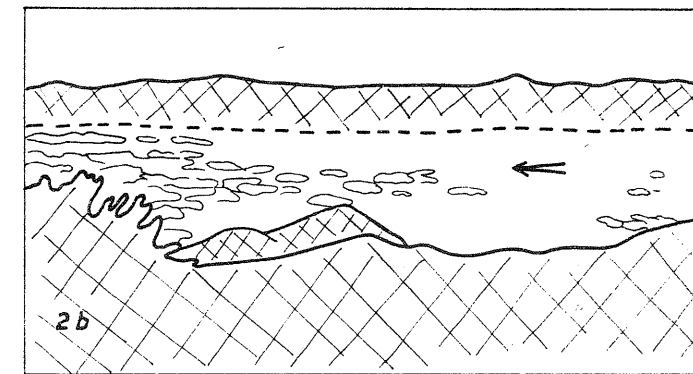
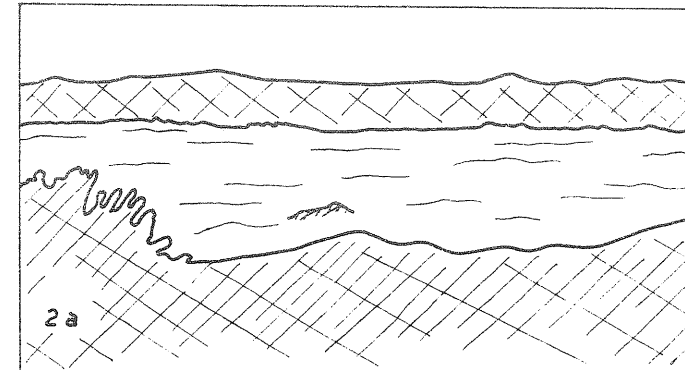
Slika 1 K razlagi določanja srednje temperature zračnega stebra ob razkroju megle -  $T_p$

Fig. 1 To the explanation of the determination of the mean temperature of air column at the time of fog clearance -  $T_p$

#### REZULTATI POSEBNIH OPAZOVANJ

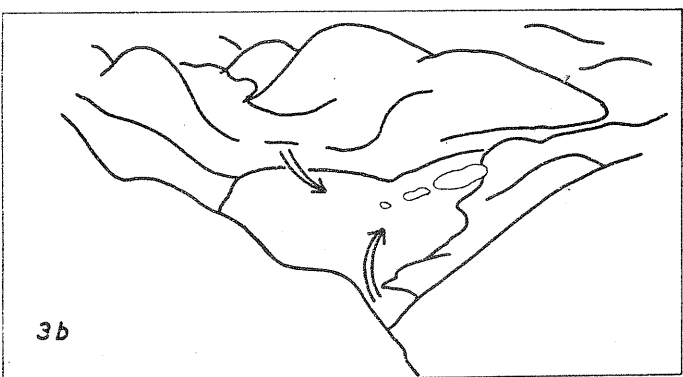
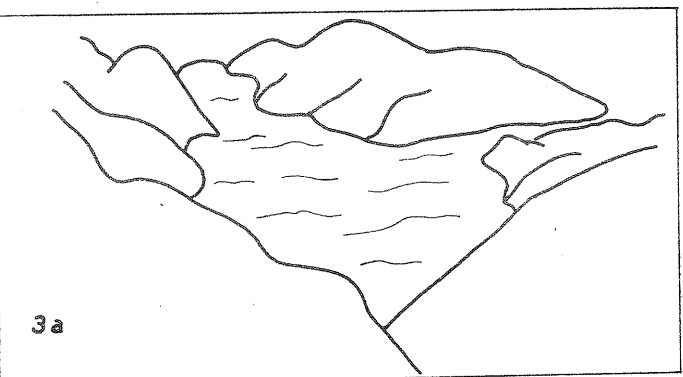
Razkrajanje megle v Ljubljanski in tudi Bohinjski kotlini smo nekajkrat opazovali in posneli s časovno redukcijo. Že samo opazovanje in slikanje pojava z neke okolišne višje ležeče točke omogoča tako imenovano površinsko opazovanje, ki zajame hkrati večji prostor. Glede poteka pa lahko opazimo le razlike, ki se pojavijo v večjih časovnih presledkih.

Procesi razkroja megle so sorazmerno počasni, zato s samim opazovanjem ugotovimo, podobno kot pri analizi posameznih slik, le razlike v prostoru: kako visoko sega megla, koliko je gornja megla valovita oziroma razgibana, kako je na robovih - zlasti ob prisojnih pobočjih - dvignjena; v časovnem zaporedju pa, kje se pojavijo prve večje odprtine in kje se megla zadržuje najdlje. V ilustracijo sta na slikah 2 in 3 prikazana dva primera s po dvema slikama ob različnih časih z večjim vmesnim časovnim intervalom.



Slika 2 Megla nad Ljubljanskim barjem 23.9.1969: a) ob 9 uri; b) ob 10,30, ko je razkrok napredoval od desne proti levi

Fig. 2 Fog over the Ljubljana swamp on 23 9 1969: a) at 9:00 a.m.; b) at 10:30 a.m. when the clearance was advancing from the right to the left



Slika 3 Megla nad Bohinjskim jezerom 22.1.1968: a) ob 8 uri, b) ob 10,30, ko so nad iztočnim delom doline razpadali zadnji kosmi dvignjene megle

Fig. 3 Fog over the Bohinj lake on 22/1 1968: a) at 8:00 a.m.; b) at 10:30 a.m. when above the out flow part of the valley the last patches of fog were dissipating

Na sliki 2a, katere osnova je bila posneta 23.9.1969 ob 9 uri z vrha Krima proti NW, vidimo meglo nad Ljubljanskim barjem. Megla je debela malo manj kot 200 m, saj iz nje ravno gleda vrh Sv. Ane pod Krimom. Zgornja meja je le rahlo valovita, ob prisojnih pobočjih zadaj pa dvignjena in ponekod nacefrana zaradi dviganja ogretega zraka ob prisojnih pobočjih. V tem času je nad Ljubljano megla že v glavnem razkrojena, medtem ko je na Gorenjskem že povsem izginila. "Jasnina" se širi proti sredini barja, kar kaže slika 2b - ob 10,30 uri. Na svojem obrobju, ki je sedaj že močno odmaknjeno od okolišnjih pobočij, megla razpada v posamezne kosme. Najdlje se očitno zadržuje nad sredino barja, kjer izginejo zadnji kosmi šele ob 11 uri, kar je celo uro pozneje kot n.pr. v Ljubljani. Temu je verjetno vzrok v rahlem nagibu meglenega jezera navzgor proti SW zaradi istosmernega pritiskovega gradiента /7/ in zaradi večje zaloge vode v tleh, kar vpliva poleg izdatnejšega izhlapevanja tudi na boljši prevod toplotne v tla.

Snemanje megle s časovno redukcijo 1:30 do 1:50, ki je bilo opravljeno vzporedno z opazovanji, je dalo zanimive vpoglede v dinamiko meglenega zraka in razkroja megle. Slikovno tega ni mogoče racionalno prikazati, zato podajamo le glavna opažanja. Gornja meja megle ni mima, kot je to videti pri opazovanju, ampak stalno valovi. Če se pri tem v celoti tudi horizontalno premika, ni mogoče ugotoviti. Tako so se n.pr. 21.9. do 9 ure izraziti valovi gibali od SE proti NW, po 10 uri pa ravno v nasprotni smeri; pritiskovo polje pa je bilo nad sredino Evropo tudi v višinah šibko in je vladalo praktično brezvetrje. Da se niso delci premikali horizontalno, ampak so le valovali, je mogoče soditi tudi po "izboklinah" nad toplarno. Te izbokline so nastajale in izginjale na istem mestu in obenem kazale, da dviganje dimna inverzije ni prebijalo.

V drugih primerih pa imamo dokaze, da so gibanja zraka v meglenem jezeru samosvoja in neodvisna od višinskih tokov. Tako nam kažejo n.pr. filmi o razkroju megle v Selški dolini, snemani s Starega vrha 6.2.1969, ko je bil pretok megle s Poljanske v Selško dolino ravno nasproten močnim višinskim tokovom in gibaju oblakov.

Predvajanje filmov, posnetih s časovno redukcijo, nam tudi lepo pokaže končni razkroj posameznih meglenih kosmov in njihovo dinamiko. Ti kosmi predstavljajo vrhove konvektivnih celic, ki so očitno zelo živahne in dovajajo v plast, tik pod inverzijo, poleg toplotne tudi nove količine s tal izhlapele vlage. Zato se kosmi dejansko sestoje vedno iz novih delcev, se s tem obnavljajo in se zato le počasi razkrajajo. Vse te filme hrani Katedra za meteorologijo F.N.T. v Ljubljani.

Bohinjska kotlina je znatno manjša od Ljubljanske in ima strma pobočja, zato se tam dinamični efekti, čeprav so proženi termično, bolj uveljavljajo. Megla v Bohinjski kotlini, ki leži zlasti pozimi navadno pod dvojno inverzijo /8/, smo tudi že večkrat opazovali in snemali. Slika 3a kaže pogled na kotlino Bohinjskega jezera s Komne proti vzhodu 22.1.1968 ob 8 uri. Kotlina je ne-

koj deset metrov na debelo zalita z meglenim jezerom, ki zgoraj valovi z valovi, ki potekajo pravokotno na veliko os doline. Druga slika 3b predstavlja stanje ob 10,30, ko so nad iztočnim delom kotline razpadali še zadnji kosmi dvignjene megle. Smer razkroja je podana s puščicama.

Snemanje s časovno redukcijo je pokazalo, da se megla po sončnem vzhodu navadno okrepi (odebeli in razširi) in da nastopa poleg valovanja vzdolž velike osi doline zelo izrazito nihanje zgornje meje megle pravokotno na veliko os in s časovno periodo nekaj minut. Zanimivo je, da se prične megla razkratiti v zgornjem kotu (pri Ukancu), ki je v tem času še v senci. Temu je gotovo vzrok spuščanje in fenizacija zraka s planot Vogla in Komne, saj se odtekanje meglene mase na nasprotni strani v Bistriško dolino ob predvajjanju filma lepo vidi. Spuščanje zraka je verjetno tudi vzrok prečnim nihanjem meglene mase hladnega zraka, čeprav so možni tudi termični vplivi prisojnih pobočij. Očitno so tu dinamični efekti dominantni vsaj v tem letnem času, ko so tla pokrita s snegom. Vendar pa se ob koncu razkroja tudi tu ohranja osnovna shema, da se megla dvigne v stratus in izgine nazadnje tam, kjer je bila najdebelejša.

\* \* \* \* \*

Delo je del raziskovalne teme "Razvoj in razkrjanje megle v kotlinah Slovenije" in je bilo izdelano ob pomoči sredstev Fakultete za naravoslovje in tehnologijo v Ljubljani.

#### LITERATURA

- /1/ Petkovšek Z.: Pogostnost megle v nižinah in kotlinah Slovenije, Razprave-Papers XI. DMS, Ljubljana 1969, 57 - 89.
- /2/ Kennington C.J.: An approach to the problem of the forecasting of fog clearance. Meteorol. Mag. 90 (1961), 70 - 73.
- /3/ Wright W.B. and Weinman J.A.: Measurement of the clearance of a radiation fog. Beitr. Phys. Atmosph. 40 (1967), 226 - 233.
- /4/ Petkovšek Z.: Auflösung der Radiationsnebel im alpinen Talbecken. XI. Int. Tagung für alpine Met. (v tisku).
- /5/ Beers N.R.: Meteorological Thermodynamics and Atmospheric Statics. Handbook of Meteorology, New York 1945.
- /6/ Arhiv Hidrometeorološkega zavoda SRS v Ljubljani.

/7/ Čadež M.: Vreme u Jugoslaviji. Razprave - Papers 4, P.M.F. Beograd 1964, 1 - 83.

/8/ Petkovšek Z.: Double Inversion over the Bohinj Valley. Weather XV. No. 4 (1960) 131 - 136.

PROGNOZA NEVIHT NAD SLOVENIJO S POMOČJO EMPIRIČNIH PARA -  
METROV

THUNDERSTORM FORECAST OVER SLOVENIA (YUGOSLAVIA) BY MEANS  
OF EMPIRICAL PARAMETERS

551.509.326

MIRAN TRONTELJ

Hidrometeorološki zavod SRS, Ljubljana

SUMMARY:

The usefulness of empirical parameters such as: K factor /3/, Lebedev's humidity index /1/, and Showalter's index /2/ was tested for thunderstorm forecast over Slovenia (Yugoslavia). Critical values of these parameters for development of thunderstorms as generally known, were found not to be valid for this region.

Parameters were calculated for the months; May, June, July, August and September 1969, using data on standard isobaric surfaces of the stations Udine (Italy), Vienna (Austria), Zagreb (Yugoslavia) and Budapest (Hungary).

It was found that the thunderstorm forecast, based on these empirical parameters, is vague, even though a thunderstorm day is defined very broadly. A thunderstorm day is a day with a thunderstorm reported from at least one station from anywhere in Slovenia. The reason that these methods fail is that in general, the data from these stations do not represent well enough the conditions over Slovenia. However, they are the only stations that come into account. The data from Udine were more useful, but only for the coastal region.

## UVOD

V pričujočem delu smo podali pregled uporabnosti nekaterih empiričnih parametrov, s katerimi ponekod po svetu določajo labilnost atmosfere. Vsi ti parametri so določeni empirično in je zato potreben za različna področja določiti mejne vrednosti, pri katerih nastajajo nevihte. Ker ti parametri določajo stabilnost določene zračne mase, moramo torej izbrati, iz katerih radiosondažnih postaj bomo uporabili podatke za računanje stabilnosti pri nas. Vzeli smo seveda le najbližje radiosondažne postaje in sicer Videm (Udine), Dunaj (Wien), Zagreb ter v slučaju, da katera od teh postaj ni imela meritve, tudi Budimpešto (Budapest).

Stabilnostne parametre smo računali za mesec maj, junij, julij, avgust in september 1969. Za vse štiri zgoraj omenjene postaje smo parametre računali na elektronskem računalniku CDC 3300.

## METODE DOLOČANJA VERTIKALNE STABILNOSTI

Parametri, s katerimi smo določali vertikalno stabilnost, so definirani na sledeči način:

K faktor /3/

$$K = T_{850} - T_{500} + TR_{850} - (T - TR)_{700}$$

Vlažnostni indeks Lebedjeva FI /1/

$$FI = (T - TR)_{850} + (T - TR)_{700} + (T - TR)_{500}$$

Razlika temperatur 850 in 500 mb ploskve DI

$$DI = T_{850} - T_{500}$$

Showalterjev indeks SSI /2/

$$SSI = T_{500} - T'_{500}$$

Pri čemer pomenijo oznake T in TR z indeksi 850, 700, 500 temperature in temperature rošča na ploskvah 850, 700 in 500 mb.  $T'_{500}$  pa je temperatura na 500 mb ploskvi, ki jo dobimo grafično z emagramma (mi smo jo računali s pomočjo ustreznih enačb) na sledeči način: delček zraka dvignemo iz 850 mb ploskve po suhi adiabati, dokler ne postane nasičeno vlažen - kondenzacijski nivo -, nato pa po vlažni adiabati do 500 mb ploskve. Kjer seče ta vlažna adiabata 500 mb ploskev, odčitamo temperaturo in ta temperatura je  $T'_{500}$ .

Da bi uporabili podatke tiste radiosondažne postaje, ki nam predstavljajo zračno maso, za katero predvidevamo, da bo prišla vsaj bistveno nespremenjena nad Slovenijo, smo uporabili veter na 700 mb ploskvi kot vodilni tok. Iz tabele 1 je razvidno, katere meritve smo upoštevali, če ni bilo podatkov, ki bi jih potrebovali glede na vodilni tok.

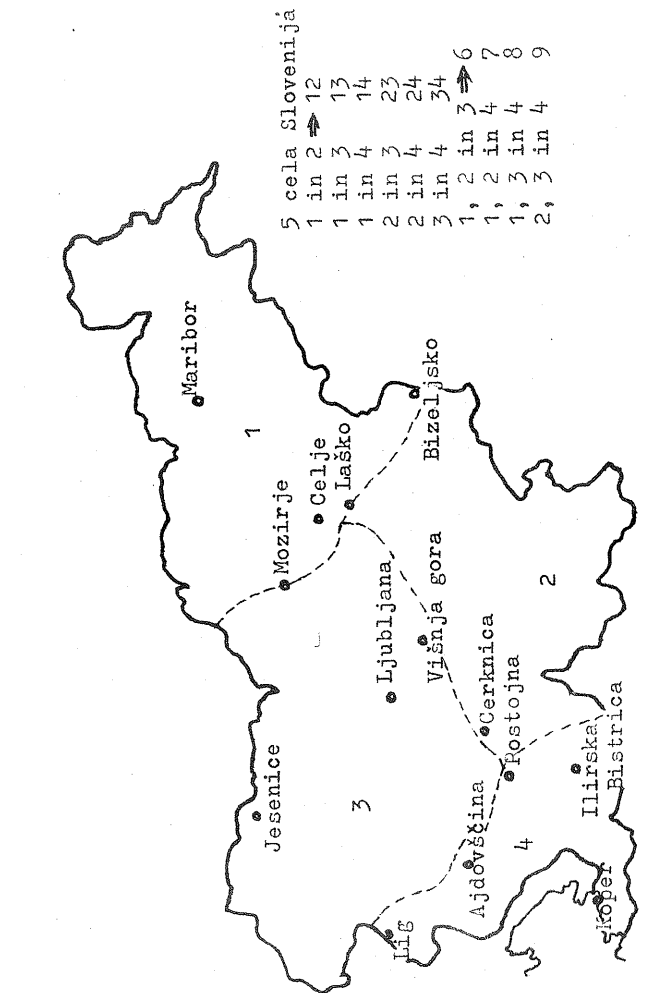
TABELA 1 Postaje, katerih sondažne meritve smo upoštevali glede na smer vetra na 700 mb ploskvi.

TABLE 1 Stations, the data of which were used according to the wind direction on 700 mb surface

Postaja	Udine	Wien ali Udine	Zagreb ali Budapest
Smer	$196^\circ$ do $345^\circ$	$346^\circ$ do $45^\circ$	$46^\circ$ do $195^\circ$
Postaja	Wien	Zagreb	
Smer	$276^\circ$ do $95^\circ$	$96^\circ$ do $275^\circ$	

## PROGNOZA NEVIHT

Podatke o nevihtah in toči v Sloveniji zbirajo ca 350 postaj. Vse podatke smo vnesli na dnevne padavinske kartice, ki so nam služile pri nadaljnji obravnavi. Slovenijo smo razdelili na 4 področja kot kaže slika 1. Tabela 2 pa nam kaže, koliko nevihtnih dni in dni s točo je bilo v obdobju maj - september za celo Slovenijo in po področjih. Šifre od 1 do 4 so iste kot na sliki 1. Seveda pa moramo pripomniti, da je veljal za nevihtni dan, tudi če se je nad Slovenijo pojavila le ena sama nevihta.



Slika 1 Razdelitev Slovenije na štiri področja  
Fig. 1 The four regions of Slovenia

32

TABELA 2 Število dni z nevihtami oziroma s točo za Slovenijo in za posamezna področja

TABLE 2 Number of thunderstorm days and days with hail for Slovenia and for the four regions separately

Mesec	nevihte	toča	nevihte				toča			
			1	2	3	4	1	2	3	4
maj	15	4	10	8	13	10	0	3	2	1
juni	21	7	19	19	20	16	5	4	2	2
julij	15	3	12	10	15	13	1	2	2	0
avgust	23	8	20	19	23	22	4	3	4	2
september	12	2	8	11	9	11	0	2	0	0
skupaj	86	24	69	67	80	62	10	14	10	5

Ko smo izračunali vse zahtevane količine in jih tabelirali, smo najprej raziskali kakšne vrednosti zavzamejo posamezni parametri. Nato smo določili mejne vrednosti teh parametrov, pri katerih nastopajo nevihte oziroma ne nastopajo. Za mejne vrednosti posameznih parametrov smo ugotovili sledeče vrednosti: nevihte bodo verjetno nastale, če je število  $K > 24$ , vlažnostni indeks  $FI \leq 20^\circ\text{C}$ , temperaturna razlika  $DI \geq 26^\circ\text{C}$  in Showalterjev indeks  $SSI \leq 3^\circ\text{C}$ .

Razumljivo je, da se večkrat zgodí, da vrednosti parametrov kažejo na možnost nastanka neviht, pa te izostanejo, oziroma ne kažejo na možnost nastanka neviht, a se te pojavijo. Ta odstopanja za posamezne parametre nam kaže tabela 4. Eden izmed razlogov teh odstopanj je v tem, da smo zaradi poenostavitev za vse štiri radiosandažne postaje vzeli enake mejne vrednosti, kljub temu, da imajo vrednosti parametrov za posamezne postaje stalne nižje oziroma višje vrednosti od ostalih postaj. Mejnih vrednosti parametrov za vsako postajo posebej nismo določevali, ker smo imeli za to vrsto raziskav premalo podatkov v obdelavi.

Drugi razlog za odstopanja pa je v tem, da smo šteli za nevihtne dni tudi take, ko so bile v Sloveniji le posamezne nevihte.

33

TABELA 3 Število dni, ko so vrednosti posameznih parametrov odstopale od mejnih vrednosti

TABLE 3 Number of days when the values of particular parameters deviated from some limits

Mesec	Štev. dni	< 24										> 29		
		K <	K = 24	K > 21	K < 21	K > 29	F1 < 20	F1 = 20	F1 > 20	DI < 26	DI = 26	SSI < 3	SSI = 3	SSI > 3
maj	15 z nevihtami	5	-	12	3	3	6	8	4	5	8	4	5	5
	16 brez neviht	5	7	8	1	5	6	5	8	4	5	5	5	5
junij	21 z nevihtami	4	-	13	8	4	6	5	6	5	6	6	6	6
	9 brez neviht	5	3	5	1	5	7	7	7	5	5	6	6	6
julij	15 z nevihtami	6	5	4	6	7	8	7	8	6	7	6	4	4
	16 brez neviht	6	7	7	2	7	7	7	7	7	7	4	4	4
avgust	23 z nevihtami	8	5	11	7	9	12	6	3	13	13	13	13	13
	8 brez neviht	6	-	5	3	3	3	6	3	3	3	4	4	4
septem.	12 z nevihtami	1	1	3	8	1	5	5	5	2	2	1	1	1
	18 brez neviht	8	7	9	2	6	3	3	3	1	1	1	1	1

Odstopanja v tabeli 3 veljajo za podatke jutranjih sondaž. Tudi pri nadaljnji obravnavi smo upoštevali le podatke jutranjih sondaž, ker so za prognozo neviht, ki jo dajemo dopoldne, ti bolj primerni.

Za število K smo mejno vrednost razširili na mejno območje od vrednosti 21 do 29. Kadar število K zavzame vrednosti med 21 in 29, so nevihte možne, lahko pa jih tudi ni. S to omejitvijo smo sicer zmanjšali število primerov, ko prognoza neviht samo na podlagi števila K ne bi bila pravilna. Vendar pa bi bilo število prognoz, ko bi prognozirali le možnost neviht, a teh ne bi bilo, kljub temu še znatno.

Napake pri prognoziranju na osnovi števila K nastanejo deloma iz enakih vzrokov, kakor že zgoraj omenjena odstopanja, deloma pa tudi vsled tega, ker smo morali kar v 52 primerih (od 153, kolikor smo jih obravnavali) upoštevati podatke "nadomestne" radiosondažne postaje. To pomeni, da ni bilo podatkov, ki bi jih morali upoštevati glede na vodilni tok, ki smo ga določili s podatkov 700 mb ploskve.

Število K je zato kot prognostični parameter za nevihte zelo nezanesljivo in nam lahko služi pri prognozi le kot pripomoček k splošni sinoptični situaciji.

TABELA 4 Veljavnost prognoze neviht na osnovi posameznih parametrov in veljavnost prognoze prognostičnega oddelka HMZ v Ljubljani (v %)

TABLE 4 Validity of thunderstorm forecast on the basis of particular parameters and validity of the forecast given by the forecast department of Hydrometeorological Institute of Slovenia (percentage)

Mesec		P <sub>1</sub>	P <sub>2</sub>	P <sub>3</sub>	P <sub>4</sub>
maj	za nevhitne dni	67	67	67	53
	za brez nevhitne	69	62	62	87
	skupaj	68	64	64	71
junij	za nevhitne dni	81	76	81	67
	za brez nevhitne	44	44	33	55
	skupaj	70	66	66	63
julij	za nevhitne dni	60	60	67	67
	za brez nevhitne	62	75	56	75
	skupaj	61	68	61	71
avgust	za nevhitne dni	65	56	70	78
	za brez nevhitne	25	50	25	63
	skupaj	55	55	58	74
septem.	za nevhitne dni	92	92	92	42
	za brez nevhitne	59	78	55	95
	skupaj	70	83	70	73
skupaj	za nevhitne dni	72	69	74	64
	za brez nevhitne	55	66	51	79
	skupaj	65	67	64	71

V tabeli 4 so podane veljavnosti prognoze ob upoštevanju mejne vrednosti števila K 24 ( $P_1$ ), za posamezne mesece ločeno za prognozo nevihtnih dni in dni brez neviht ter na koncu za celo obdobje, vse v procentih.

Da bi dobili boljše rezultate, smo upoštevali poleg števila K, še Showalterjev indeks SSI. Ta nam da dokaj dobre vrednosti za statično stabilnost /2/. V tabeli 3 pa zopet vidimo, da so majhna odstopanja od mejne vrednosti le v maju in septembru, največja pa v avgustu, torej v mesecu z največ nevihtnimi dñi. Vzroki so verjetno isti kot pri številu K. Kombinacijo števila K in indeksa SSI smo dobili na naslednji način. Če sta imela oba vrednost, ki bi dala za prognozo nevihte in so te tudi bile, je bila prognoza pozitivna (pravilna), če pa neviht ni bilo, je bila prognoza negativna (nepravilna). Na enak način, le obratno smo računali veljavnost prognoze za tiste dni, ko ni bilo neviht. Če pa je eden od parametrov "prognoziral" nevihte, drugi pa ne, smo upoštevali tistega, ki je bil glede odstopanja od mejne vrednosti bliže dejanskemu stanju. Seveda smo upoštevali razliko od mejne vrednosti pri indeksu SSI dvakratno, ker je tudi poprečen razpon med vrednostmi števila K in SSI indeksa dvakrat večji pri številu K. Za primer vzemimo 11. VI., ko so bile po vsej Sloveniji nevihte. Število K za videvsko radiosondažo je bilo 29, SSI pa 3,1. Ker odstopa slednji od mejne vrednosti le za eno desetinko v negativno stran, število K pa je za 5 večje od mejne vrednosti, smo menili, da nam kombinacija obeh parametrov "prognozira" nevihte. V tabeli 4 ( $P_2$ ) najdemo rezultate veljavnosti prognoz, ki smo jih dobili na ta način. Vidimo, da v splošnem niso dosti boljše, kakor one, ko smo upoštevali le število K.

Izračunali smo tudi veljavnost prognoze, ko smo upoštevali vse tri parameterje /K, SSI, FI/ in temperaturno razliko DI. Kombinacijo vseh štirih smo dobili na enak način kot zgoraj, le da smo v primeru, ko sta po dva in dva dala nasprotnе prognoze, to kombinacijo šteili kot prognozo neviht, ker je ta kombinacija kazala na možnost nastanka neviht. Tudi tu vidimo, da rezultati, ki so podani v tabeli 4 ( $P_3$ ), niso nič boljši, v splošnem še nekoliko slabši od prejšnjih dveh načinov.

Za primerjavo smo v tabeli 4 ( $P_4$ ) podali tudi veljavnost prognoz za isto obdobje, ki jih je dal prognostični oddelek HMZ v Ljubljani več ali manj samo s sinoptičnimi metodami. Tudi tu smo prognozo "nevihte so možne" upoštevali kot prognozo, da nevihte bodo nastale.

Ko primerjamo dobilene rezultate, lahko ugotovimo, da je prognoza neviht za področje Slovenije s pomočjo empiričnih parametrov K, SSI, FI in DI dokaj nezanesljiva in ti lahko služijo le kot pripomoček k prognozi, ki jo dobimo ob upoštevanju splošne sinoptične situacije. Rezultati bi bili gotovo boljši, če bi za vsako situacijo imeli na razpolago tiste radiosondažne meritve, ki jih potrebujemo glede na vodilni tok. V kolikor pa teh ni, bi jih morali pred računanjem parametrov določiti z interpolacijo, ali pa jih po vnaprej izdelanem modelu prognozirati.

## LITERATURA

- /1/ G. Götz, "Sturmwarnung am Balatonsee". Veröffentlichungen der Ungarischen Zentralanstalt für Meteorologie, Band XXX.
- /2/ Joseph G. Galway, "The Lifted Index as a Predictor of Latent Instability". Bull. Amer. Meteor. Soc., Vol. 37, December 1956.
- /3/ V. Žitnik, "Aplikacija Whitingove metode za prognozo neviht na alpsko področje Slovenije". Razprave - Papers VI., Ljubljana.

UPORABNOST LABILNOSTNIH FAKTORJEV ZA PROGNOZO NEVIHT IN  
TOČE V SLOVENIJI

USEFULNESS OF LABILITY FACTORS FOR THUNDERSTORM AND HAIL  
FORECASTS IN SLOVENIA

551.509.326

JANKO PRISTOV

Hidrometeorološki zavod SRS, Ljubljana

SUMMARY:

Thunderstorm and hail forecasts are the most successful if they include the forecast of the vertical stratification and based on it the forecast of vertical velocity distribution /1/.

Slovenia (Yugoslavia) has not its own upper air sounding station. Therefore it is hard to give a forecast of the vertical stratification, especially for lower levels, where it is even different in different regions of Slovenia.

In the months from May through September 1969 64 % of all days had thunderstorms and on 24 days hail was observed at least at one location.

Different lability factors were calculated from data of the following upper-air sounding stations; Udine (Italy), Zagreb (Yugoslavia) and Vienna (Austria) an studied in connection with thunderstorm and hail occurence. The results show that for thunderstorm forecast no equal limits of these lability factors can be used for all three stations. Therefore the deviations from mean values were taken into account, and they are different for each station. Deviations from mean values

were calculated for various groups; very frequent, frequent, rare and single thunderstorms over Slovenia, and the same was done for the days with hail. The results show that these methods can be quite useful for thunderstorm forecasts, but they fail at hail forecasts.

To get more useful lability factors for hail forecast the original ones were corrected using the height of  $0^{\circ}$  C isotherm and the data of 300 mb surface. Again only the deviations from mean values were useful. The corrected lability factors were better for hail forecast, however they were worse than the original ones for thunderstorm forecast.

For the west region of Slovenia the data of the Udine station were very useful. They represent well the peculiarities of the coastal climatic region. For the central and northeastern regions the forecast based on upper air data is much more difficult. On the west and northwest sides of these regions lie high mountain barriers and the vertical stratification on their both sides usually differs. But it is just from these sides that the air masses came in thunderstorm days. Therefore a model has to be created for forecasting the lability of the atmosphere above different regions of Slovenia.

## UVOD

V razdobju po drugi svetovni vojni se postopno vedno bolj uveljavlja obramba pred točo in so z njo pričeli tudi v Sloveniji. Za uspešno in ekonomično obrambo je potrebna zanesljiva napoved toče, ki pa je v klimatsko tako neenotnem področju, kot je Slovenija, zelo težavna.

Preizkusili smo metodo, ki jo uporabljajo na Kavkazu v Sovjetski zvezdi /1/ in je bila izdelana na osnovi fizikalne razlage nastanka toče /2/. S pomočjo te metode smo izračunali maksimalno vzponsko hitrost (spodnja meja zone akumulacije), višino in temperaturo na višinah maksimalne vzponske hitrosti, višino zgornje meje, na kateri se še pojavlja zadostna vertikalna hitrost, da lahko nastaja toča (zgornja meja zone akumulacije) in kot končno vrednost, poprečni premer zm toče, ki doseže zemeljsko površino /3/. Rezultati niso bili vzpodobni, bodisi zato, ker je bilo osnovnih podatkov razmeroma malo (32 primerov) ali da ti podatki niso reprezentativni za področje Slovenije. Zaradi pomanjkanja celiotnih radiosondažnih podatkov sosednjih postaj smo uporabili podatke s posameznimi baričnimi ploskev. S pomočjo labilnostnih faktorjev ter ob pogostnem pojavljanju neviht ali toče v Sloveniji smo ugotavljali uporabnost teh podatkov za prognozo neviht ali toče.

## POGOSTNOST POJAVLJANJA NEVIHT IN TOČE V SLOVENIJI

Ob ugotavljanju nevihtnih dni ali dni s točo v Sloveniji smo risali dnevne padavinske kartice za razdobje od maja do septembra 1969. Na karticah so vneseni podatki s cca 350 postaj, na katerih merijo padavine in opazujejo vremenske pojavne. Poleg množine padavin so vnesene tudi nevihte (pričetek in konč nevihte) in ali je bila na postaji zabeležena toča ali ne.

Pričakujemo, da nam ti podatki prikažejo realno sliko o pojavljanju neviht v Sloveniji z ozirom na prognozo, ki ne more napovedati točnega kraja, kje bo nevihta, temveč samo področje, na katerem se bodo pojavile bodisi posamezne ali pogostne nevihte. Podatki so pokazali, da je bilo v Sloveniji v razdobju od maja do septembra 1969 od skupno 153 dni kar 86 dni z nevihtami, kar je 56 % vseh primerov.

V kolikor upoštevamo samo glavne tri poletne meseca: junij, julij in avgust vidimo, da je bilo od 92 dni kar 59 dni z nevihtami ali 64 % vseh primerov.

Seveda ne smemo teh podatkov istovetiti s klimatološko karto pogostnosti neviht. Ta /4/ nam kaže, da je v Sloveniji poprečno 30 do 50 nevihtnih dni letno in upošteva, da je na določenem kraju tolikšno število neviht, medtem ko pri nas zadostuje, da je v skrajnem primeru samo ena nevihta na celotnem področju; s tem je pri nas definiran nevihtni dan.

Slovenija ni enotno področje za prognozo neviht in se zato dogodi, da se v nekaterih vremenskih situacijah pojavljajo nevihte na enem in v drugih vremenskih situacijah na drugem področju. Slovenijo smo temu primemo razdelili v 4 področja. Podatki so pokazali, da so najpogostnejše nevihte v severozahodni in osrednji Sloveniji, kjer jih je bilo 93 % od skupnih nevihtnih dni, najmanj pa jih je bilo v južni Sloveniji z 78 % vseh nevihtnih dni; torej je razlika med najbolj in najmanj nevihtnim področjem le 15 %.

Iz podatkov je razvidno, da se prične atmosfera v septembri že umirjati in to najbolj v vzhodni Sloveniji, kar potruje fizikalno razlogo /5/ o prenosu nevihtne aktivnosti v jeseni nad zahodne in severozahodne kraje Slovenije.

Za določevanje nevihtne aktivnosti smo ugotovili, da imamo v Sloveniji dovolj gosto mrežo opazovalnih postaj (neopazene ostanejo lahko res samo posamezne neizrazite nevihte, vse ostale pa že zaradi groma, pa čeprav jih ne vidiš, evidentirajo naše postaje), ne moremo pa trditi isto za točo. Problem evidentiranja toče bo rešen šele z novim sistemom za obrambo pred točo, ko bo postavljen radar in bodo dovolj na gosto strelne oziroma opazovalne postaje nad pretežnim delom severovzhodne Slovenije. V drugih krajih Slovenije bo evidentiranje še vedno nepopolno.

V letu 1969 smo v Sloveniji zabeležili 24 dni, ko je padala toča, torej je bil v poprečku vsak 3,5. nevihtni dan tudi dan s točo. Zanimiva je tudi ugotovi-

tev, da je bilo največ dni s točo v južni Sloveniji, to je tam, kjer je najmanj nevihtnih dni.

V tej razpravi obravnavamo le pojavljanje toče, ne pa njen obseg in intenzivnost. S tem poenostavljenim načinom prognoze toče želimo opozoriti branilce na verjetnost toče, druge podatke pa naj bi obramba dobila s pomočjo radarjev. Intenzivnost toče bi se dala prognozirati s pomočjo prognostične krivulje stratifikacije nad branjenim področjem in ne s pomočjo labilnostnih faktorjev.

### LABILNOSTNI FAKTORJI ZA PROGNOZO NEVIHT

Za vsak dan dvakrat (ob 01 in ob 13 uri) smo izračunali labilnostne faktorje: K, DI, FI in SSI, za postaje Zagreb, Videm (Udine) in Dunaj (Wien), neglede na to ali je bila nevihta zabeležena ali ne, v kolikor smo imeli osnovne podatke.

Labilnostni faktorji so določeni na sledeči način:

$$K = T_{850} - T_{500} + TR_{850} - (T - TR)_{700} \quad K \text{ faktor } /6/$$

$$FI = (T - TR)_{850} + (T - TR)_{700} + (T - TR)_{500} \quad \text{Vlažnostni indeks Lebedjeva } /7/$$

$$DI = T_{850} - T_{500} \quad \text{temperaturna razlika}$$

$$SSI = T_{500} - T'_{500} \quad \text{Showalterjev indeks } /8/$$

Kjer so:

$T$  = temperatura na izobarni ploskvi, ki je označena z indeksom;

$TR$  = temp. rošiča na z indeksom označeni izobarni ploskvi;

$T'_{500}$  = temperatura, ki jo dobimo s pomočjo emagrama ali drugega adiabatnega papirja, na ta način, da delec zraka dvignemo iz 850 mb ploskve po suhi adiabati do kondenzacijskega nivoja in nato po vlažni adiabati do 500 mb ploskve.

Olgremo si kaj nam ti labilnostni faktorji predstavljajo:

FI nam poda vlažnost ozračja in je njegova vrednost neodvisna od labilnosti atmosfere. Čim manjši je ta faktor, bolj je atmosfera vlažna in čim večji je, bolj je suha.

DI nam predstavlja samo vertikalno temp. razliko, neglede na vlažnost ozračja. Tudi ta faktor sam ne predstavlja celotne labilnosti ozračja.

Oba faktorja nam predstavljata potreben, ne pa zadosten pogoj. Združena nam v določeni meri predstavljata nek labilnostni faktor, vendar ju je bolje uporabljati za razlaganje ostalih dveh labilnostnih faktorjev, kot sta K in SSI. Ta dva faktorja vsebujejo vertikalno temperaturno razliko med ploskvama in imata upoštevano vlogo.

Prednost teh faktorjev je zelo enostavno računanje, to velja še posebno za K faktor, pomanjkljivost pa je v tem, da nista natančna. To že sledi iz nujnih predpostavk, ker upoštevata le vrednosti na glavnih izobarnih ploskvah, ne upoštevata pa karakterističnih točk krivulje stratifikacije.

Razponi faktorjev, ki so se pojavili v primerjalnem razdobju maj - september 1969:

K	razpon od	0	do	36	(v izjemnem primeru pada celo do ~8)
DI	razpon od	17	do	33	
SSI	razpon od	-11	do	14	
FI	razpon od	1	do	63	

Te vrednosti nam dosti ne povedo, ker so razponi zelo veliki in se vrednosti labilnostnih faktorjev, predvsem v pozni pomlad in v zgodnjem poletju, hitro spreminjajo.

Zaradi lažjega prikazovanja se v nadaljnem izvajanju ne bomo zadrževali na posameznih primerih, temveč bomo vedno govorili o poprečjih. Poprečne vrednosti nam sicer velikokrat zabišajo dejansko stanje, s pravilno grupacijo vrednosti pa upamo, da bodo prišle do izraza komponente, ki lahko koristijo pri prognozi neviht in še posebno pri prognozi toče.

Naše poprečne vrednosti so računane ločeno za vsako radiosondažno postajo, za vse podatke celotnega opazovalnega razdobia, ki so bili na razpolago. Povdoriti moramo, da ni za vse tri postaje enako število izhodiščnih podatkov, vendar upamo, da so vsaj v grobem med seboj primerljivi.

Izhodiščne podatke vzamemo ob 13. uri, ker so ti podatki mnogo bližje času, ko se pojavijo nevihte. Borko /9/ je pokazal, da je za Brnik maksimum neviht med 13. in 14. uro. Podatki ob 01 uri so vedno v oklepaju in so izhodiščne vrednosti za prognozo neviht v jutranjih urah.

TABELA 1 Poprečne vrednosti faktorjev za dneve, ko so se v Sloveniji kjerkoli pojavile nevihte

TABLE 1 Mean factor values for days with thunderstorms anywhere in Slovenia

postaja	f a k t o r i i			
	K	FI	DI	SSI
Zagreb	26,5 (28,2)	16,1 (13,8)	26,1 (26,4)	1,8 (2,2)
Dunaj	21,9 (22,4)	21,8 (21,1)	25,2 (25,1)	3,4 (4,0)
Udine	22,1 (28,2)	22,6 (13,6)	27,0 (26,5)	3,5 (1,5)

TABELA 2 Poprečne vrednosti faktorjev za dneve, ko se je kjerkoli v Sloveniji pojavila toča

TABLE 2 Mean factor values for days with hail anywhere in Slovenia

postaja	f a k t o r j i				število primerov
	K	FI	DI	SSI	
Zagreb	28,0 (30,3)	17,2 (13,8)	27,0 (26,6)	1,2 (1,7)	
Dunaj	24,6 (23,6)	19,4 (23,3)	26,0 (25,6)	3,5 (3,8)	
Udine	22,9 (27,8)	21,5 (16,4)	27,1 (26,4)	2,5 (0,6)	

Primerjava podatkov iz tabel 1. in 2. kaže zelo veliko raznolikost med različnimi radiosondažnimi postajami. Že iz teh dveh tabel vidimo, da veljajo za različne postaje tudi različni labilnostni koeficienti za ponazarjanje neviht v Sloveniji.

Radiosondažne postaje po splošnih meritih niso preveč oddaljene in bi nam dobro ponazarjale cirkulacijo in zračne mase, v kolikor ne bi veljali zaradi gorskih preprik posebni cirkulacijski pogoji.

Najbolje je, da si ogledamo podatke in njihovo povezavo z nevihtami pri nas za vsako postajo ločeno. Že dnevna sprememba (razlika med nočnimi in opoldanskimi opazovanji) je med temi postajami močno različna.

TABELA 3 Razlike vrednosti faktorjev ob 13. in 01. uri za primere z nevihtami (vrednosti ob 13. uri manj vrednosti ob 01. uri)

TABLE 3 Differences between factors calculated for data at 01:00 p.m. and 01:00 a.m. for cases with thunderstorms (value at 01:00 p.m. minus value at 01:00 a.m.)

	K	FI	DI	SSI	število primerov
Zagreb	-1,7	+2,3	-0,3	-0,4	51
Dunaj	-0,5	+0,7	+0,1	-0,6	69
Udine	-6,1	+9,0	+0,5	+1,5	33

TABELA 4 Razlike vrednosti faktorjev ob 13. in 01. uri za primere s točo

TABLE 4 Differences between factors calculated for data at 01:00 p.m. and 01:00 a.m. for cases with hail

	K	FI	DI	SSI	število primerov
Zagreb	-2,3	+3,4	+0,4	-0,5	18
Dunaj	+1,0	-3,9	+0,4	-0,3	23
Udine	-4,9	+5,1	+0,7	+1,9	11

Iz tabel 3. in 4. vidimo, da ima najmanjše spremembe faktorjev med 01. in 13. uro radiosondažna postaja Dunaj. "K faktor" se v poprečju pri nevihtah malenkostno zmanjša, dočim se pri toči nekoliko poveča, obratno pa je pri SSI faktorju, ko se v obeh primerih malenkostno zmanjša, kar pomeni večjo labilnost atmosfere. V primeru različnega pomena K in SSI faktorja, ko eden kaže stabilizacijo, drugi labilizacijo ozračja, ugotovimo lahko samo to, da so spremembe malenkostne in se labilnost atmosfere ni bistveno spremenila. Istočasno se je namreč malenkostno spremeniila vlažnost ozračja in temperaturna razlika med 500 in 850 mb ploskvijo. Videz je, da SSI hitreje sledi spremembam vlagi na 850 mb ploskvi kakor "K faktor", ki znatno upošteva vlagi tudi na 700 mb ploskvi. Nad Zagrebom se je v obeh primerih labilnost izražena s "K faktorjem" od noči do opoldneva zmanjšala in to celo več takrat, ko je bila toča, kot pri nevihtah. Zanimivo pa je, da se je v obeh primerih SSI faktor nekoliko zmanjšal, kar bi pomenilo povečanje labilnosti.

Najbolj zanimiva sprememba faktorjev od 01. do 13. ure pa je pri podatkih iz Udin. Razmeroma zelo visokemu labilnostnemu faktorju K in nizkemu faktorju SSI v jutranjih urah, kar oboje ustreza veliki labilnosti, sledi čez dan močna stabilizacija ozračja. To velja tako za K, kakor tudi za SSI faktor. Iz podatkov vidimo, da se nekoliko poveča temperaturna razlika med 500 in 850 mb ploskvijo, vendar se ozračje hkrati močno osuši. Kaže, da nastane nad tem področjem, ob nevihtah in tudi toča v Sloveniji, znatna subsidenca v opoldanskih urah, ki zvezčer ponovno izgine. To nam tudi razloži dejstvo, zakaj so v Primorju nevihte v večernih in nočnih urah, v notranjosti Slovenije pa večinoma v popoldanskem času. Tu vsekakor vidimo vpliv morske klime z dodatnim vplivom bližnjih gora. Na to bomo morali posebno paziti pri napovedi neviht ali toče na Primorskem. Za prognozo neviht ali toče moramo obravnavati labilnostne faktorje, ločeno za vse radiosondažne postaje. Ker smo videli, da so znatne razlike med nočnimi in opoldanskimi opazovanji, smo za naslednje grupe poiskali ločeno poprečne vrednosti in jih primerjali s poprečjem vseh opazovanj. Na ta način dobimo boljše kriterije za uporabo terminskih labilnostnih faktorjev v zvezi s prognozo toče.

TABELA 5 Poprečne vrednosti faktorjev za grupe neviht in poprečne vrednosti vseh opazovanj

TABLE 5 Mean factor values for various groups of thunderstorms and mean values of all observations

Pogostne nevihte (več kot 3/4 postaj)

	K	FI	DI	SSI
Zagreb	30,2 (29,1)	17,0 (18,6)	27,8 (26,7)	0,3 (2,5)
Dunaj	29,2 (27,0)	17,3 (19,6)	26,8 (25,8)	1,7 (2,4)
Udine	27,2 (29,4)	21,0 (9,8)	28,2 (27,8)	1,0 (-0,3)
Zmerno pogostne nevihte (od 1/4 do 3/4 postaj)				

Zagreb	26,4 (30,0)	16,0 (13,7)	25,6 (26,3)	2,7 (1,8)
Dunaj	21,0 (22,4)	24,5 (21,6)	25,4 (25,6)	4,3 (4,1)
Udine	24,2 (28,0)	19,2 (14,7)	27,7 (24,0)	2,0 (4,1)

Redke nevihte (nad 10 postaj do 1/4 postaj)

Zagreb	25,0 (28,6)	15,4 (12,0)	25,4 (26,0)	2,0 (4,1)
Dunaj	22,6 (23,3)	19,6 (15,0)	25,2 (24,7)	4,6 (4,3)
Udine	22,6 (29,4)	21,5 (14,4)	25,9 (25,9)	3,6 (1,6)

Posamezne nevihte (pod 10 postaj)

Zagreb	25,4 (27,0)	16,3 (11,5)	26,1 (26,0)	2,8 (2,4)
Dunaj	20,3 (22,3)	21,1 (17,7)	25,9 (24,4)	4,3 (4,9)
Udine	19,4 (27,7)	20,5 (12,3)	25,1 (26,5)	4,1 (1,1)

Toča (vsaj na eni postaji)

Zagreb	28,0 (30,3)	17,2 (13,8)	27,0 (26,6)	1,2 (1,7)
Dunaj	24,6 (23,6)	19,4 (23,3)	26,0 (25,6)	3,5 (3,8)
Udine	22,9 (27,8)	21,5 (16,4)	27,1 (26,4)	2,5 (0,6)

Poprečne vrednosti celotnih opazovanj ne glede na termin

Zagreb	25,4	16,5	25,9	3,0
Dunaj	19,8	24,3	24,9	4,4
Udine	22,7	21,6	25,7	3,5

TABELA 6 Odstopanja vrednosti K in SSI faktorjev posameznih grup od poprečnih vrednosti

TABLE 6 Deviations of K and SSI factors of each group from mean values

	Zagreb		Dunaj		Udine	
	K	SSI	K	SSI	K	SSI
pogostne	4,3	-1,6	8,3	-2,2	5,6	-3,0
zmerno	2,8	-0,8	1,9	-0,2	3,4	-0,5
pogostne						
redke	1,4	-1,1	3,1	0,0	3,3	-0,9
posamezne	0,8	-1,4	1,5	+0,2	0,8	-0,9
toča	3,8	-1,6	4,3	-0,8	2,6	-1,9

Podatki v tabeli 5 nam kažejo, da je pri pogostnih nevihtah "K faktor" zelo visok (v poprečju okoli 29) in da se le malo razlikuje med nočnim in dnevnim opazovanjem. Slične rezultate dobimo pri vseh treh postajah, kar je posebej za Udine nekaj izjemnega, ker ima v splošnem zelo velike razlike med nočno in dnevno vrednostjo. Te nevihte nastajajo ob izrazitih frontalnih površinah z močno cirkulacijo in zato ne pridejo toliko do izraza lokalni vplivi. Prav tako, kar nam kaže "K faktor" v teh primerih največjo labilnost, nam poda največjo labilnost tudi SSI faktor, ki ima v teh primerih na vseh treh postajah najnižno vrednost.

Podobne vrednosti, kot pri pogostnih nevihtah, so tudi v grupi s točo, a so že opazne razlike, ne toliko pri podatkih Zagreba, kakor pri podatkih Udin in Dunaja.

Podatki Zagreba nesporno kažejo tudi pri toči labilnost, tako SSI, kakor tudi "K faktor", ki pa se le neznatno razlikuje od vrednosti pri pogostnih nevihtah. Razlika je pri podatkih Dunaja, ki še vedno odstopajo od drugih z znakom povečane labilnosti, vendar v znatno manjši meri, kot pri pogostnih nevihtah. Ob upoštevanju, da je bila pri pogostnih nevihtah skoro vedno tudi toča, in da prav primeri pogostnih neviht znatno doprinesejo k poprečni vrednosti labilnostnih faktorjev, vidimo, da nam podatki nepogostnih neviht ne dajo zadostne indikacije, da bi lahko napovedovali točo.

Še slabše podatke za prognozo toče nam da "K faktor" postaje v Udinah, ki je znatno manjši kot "K faktor" pri zmernih nevihtah in je poprečni "K faktor" celo manjši, kot pri redkih nevihtah. Za prognozo toče v notranjosti Slovenije si s tem labilnostnim faktorjem ne moremo pomagati, kajti pogoji za nastanek toče v Primorju so drugačni, kot v notranjosti Slovenije. Znatno bolj karakterističen po-tek je SSI faktor Udin, ki ima nižjo vrednost, kot pri zmernih nevihtah in to predvsem zaradi večje temperaturne diference med 500 in 850 mb plaskvijo in manjše vlažnosti v ozračju. Za zmerne nevihte je karakterističen povečan "K fak-

faktor<sup>a</sup> za Zagreb in Udine, dočim pri podatkih iz Dunaja tega ne zaznamo, ker je ta labilnostni faktor Dunaja večji za redke nevihte. Povendariti je treba, da nastane toča večinoma pri pogostih in zmerih nevihtah, vendar so redki primeri toče tudi pri posameznih in celo pri redkih nevihtah. Zgodilo se je, da so bile pri stabilni vremenski situaciji, ko so to potrdili tudi labilnostni faktorji, zabeležene tri nevihte, ena od teh pa je povzročila celo slabo točo. Takšno točo po tej načini metodih ne moremo prognozirati in bo zato prognozo toče treba kategorizirati po verjetnostnih stopnjah. Ob pregledu podatkov smo zasledili, da nam pri pogostih nevihtah in deloma tudi pri toči dajeta faktorja K in SSI kar zadovoljive rezultate, ki so prikazani z odstopanjem od poprečnih vrednosti v tabeli 6. V ostalih grupah nevihtnih dni nam več pove K kot SSI faktor. K faktor je v vseh naših grupah pozitiven in precej enakomerno upada z upadanjem neviht. Za SSI faktor pa to ne drži. Uporaben je pri pogostih nevihtah in deloma pri nevihtah s točo, drugod pa več ali manj odpove in se v skrajnem primeru pojavi celo pozitivno odstopanje od poprečne vrednosti, ali pa nima postopen upad negativne vrednosti z zmanjševanjem nevihtne aktivnosti. Povendariti moramo, da so ti faktorji lahko le zelo dober pripomoček prognostiku, ki bo od situacije do situacije lahko uspešno koristil podatke labilnostnih faktorjev za posamezne postaje ali pa tudi ločeno za nočni in dnevni termin, kar je izredno važno za uspešno napoved.

#### LABILNOSTNI FAKTORJI ZA PROGNOZO TOČE

Labilnostni faktorji, ki smo jih obravnavali do sedaj, so bili prvotno sestavljeni samo za nevihte, neglede na to ali bo padala tudi toča ali ne. Mi pa hočemo ločiti verjetnost toče od verjetnosti neviht, ali bolje povedano, želimo napovedati tudi nevihte brez toče in, ločeno, nevihte s točo.

Za napovedovanje toče oziroma neviht s točo smo sestavili nekoliko korigirane labilnostne faktorje. Za naše raziskave smo vzeli samo transformiran K in transformiran SSI faktor, ki jih označujemo s TK in TSSI. Ostala dva faktorja FI in DI sta nam pomagala stvar le razložiti in ker sama ne predstavljata prognostične vrednosti, ju v nadaljevanju ne bomo obravnavali, čeprav smo jih računali.

Pri transformirjanju labilnostnih faktorjev smo upoštevali, da se že nastala toča ob padanju skozi atmosfero s pozitivno temperaturo tali in zato lahko doseže tla že v obliki dežja.

Vrhovi zone akumulacije, to je celica, v kateri so pogoji za nastanek toče, segajo znatno nad 500 mb ploskev. Po izračunanih vrednostih Žitnika /3/ je največja višina zone akumulacije 8.100 m, vrhovi oblavnih sistemov pa segajo še znatno višje. V teh primerih bi bilo torej koristno uporabljati 400 mb ploskev, kot gomjo mejo za določevanje labilnostnih faktorjev (normalna višina 400 mb ploskev je 7.100 m). Zaradi risanja 300 mb karte v dnevni službi smo bili prisiljeni uporabljati za računanje labilnostnih faktorjev to ploskev (normalna višina 9.100 m), ker nam podatki 400 mb ploskev niso bili dostopni.

Spremenjeni labilnostni faktorji se glasijo:

$$TK = T_{850} - T_{500} - T_{300} / 2 + TR_{850} = (T - TR)_{500} / 2 - H/2$$

in

$$TSSI = T_{300} - T'_{300} - H/8$$

T = temperatura na ploskvi označeni z indeksom

H = višina izoterme 0°C in je izražena v hektometrih

Iz podatkov izobarnih ploskev te višine ne dobimo direktno in smo zato upoštevali zelo poenostavljen približek, da je

$$H = H_{850} + T_{850} / 0,6 \quad \text{v primerih, ko je } T_{850} \text{ manjši od } 6^{\circ}\text{C}$$

in

$$H = H_{700} + T_{700} / 0,6 \quad \text{za primere, ko je } T_{850} \text{ večji ali enak } 6^{\circ}\text{C}$$

Te kriterije smo upoštevali za vse primere v obravnavanem razdobju in smo izračunali nove vrednosti na podoben način kot pri tabeli 8.

TABELA 7 Poprečni korigirani labilnostni faktorji TK in TSSI za grupe neviht in poprečne vrednosti teh opazovanj

TABLE 7 Mean values of corrected lability factors TK and TSSI for various groups and mean values of all observations

	Zagreb		Dunaj		Udine	
	TK	TSSI	TK	TSSI	TK	TSSI
<b>Pogostne</b>						
ob 13.	31,4	5,8	29,1	7,7	30,7	8,4
ob 01.	(32,0)	7,8	(27,7)	(9,1)	(36,2)	(5,5,)
<b>Zmerno pogostne</b>						
ob 13.	27,6	10,2	21,0	11,6	27,0	10,4
ob 01.	(29,9)	(9,7)	(19,7)	(10,4)	(30,0)	(8,7)
<b>redke</b>						
ob 13.	28,0	10,1	23,3	12,3	24,6	10,4
ob 01.	(33,4)	(8,1)	(25,2)	(11,1)	(33,1)	(7,3)
<b>posamezne</b>						
ob 13.	30,2	9,4	24,0	11,9	24,2	10,8
ob 01.	(31,1)	(9,0)	(27,0)	(12,3)	(32,8)	(8,8)
<b>toča</b>						
ob 13.	30,4	7,8	30,1	9,3	30,3	9,3
ob 01.	(32,7)	(8,2)	(25,5)	(9,9)	(33,7)	(6,6)
<b>poprečna vrednost</b>						
	28,2	9,7	24,9	11,3	24,9	10,1

TABELA 8 Odstopanja vrednosti TK in TSSI faktorjev posameznih grup od prečnih vrednosti

TABLE 8 Deviations of TK and TSSI factors of each group from mean values

	Zagreb		Dunaj		Udine	
	TK	TSSI	TK	TSSI	TK	TSSI
pogostne	3,5	-2,9	3,5	-2,9	8,9	-3,2
zmemne	0,6	+0,2	-4,6	-0,3	3,6	-0,5
redke	2,5	-0,6	-0,6	-0,4	4,0	-1,2
posamezne	2,5	-0,5	0,7	+0,8	3,4	-0,3
toča	3,4	-1,7	2,9	-1,7	7,1	-2,2

Primerjava tabele 7 s tabelo 8 nam pokaže, da smo dosegli znaten skok vrednosti TK in TSSI med pogostnimi in zmemimi nevihtami, kar ni bilo pri labilnostih faktorjih K in SSI. Ti labilnostni faktorji, TK kakor tudi TSSI, se na vseh treh postajah, pri pogostnih nevihtah in pri nevihtah s točo, znatno razlikujejo od faktorjev za zmemne, redke in posamezne nevihte. Da je labilnostni faktor večji pri pogostnih nevihtah kot pri nevihtah s točo, se nam zdi razumljivo z ozirom na to, da spremišča pogostne nevihte skoraj vedno tudi toča, in zato izkazujemo velike labilnostne faktorje. Ob izrazito frontalni površini segajo vrhovi oblakov do tropopavze. Večkrat se pripeti, da povzročajo posamezne ali redke nevihte tudi tudi pogostnih nevihtah, vendar je še vedno znatno večji, kot pri zmemih, redkih ali posameznih nevihtah.

Povdarniti moramo, da smo sedaj obravnavali poprečne podatke in tako tudi poprečne dnevne vrednosti. Za prognozo pa nas zanimajo predvsem podatki ob 01 in so nam podatki ob 13. uri več ali manj za razlogo nastale situacije. Dejanski podatki kažejo, da je pri Zagrebu TK faktor zjutraj nekoliko večji kot opoldne, obratno je pri TSSI faktorju za isto postajo. TSSI faktor je namreč v primerih s točo v opoldanskem času znatno manjši, kot v nočnem terminu. V grupah brez toče pa je ravno obratno. Vidimo, da so te razlike nastale v glavnem med dnevom, ko so že ustvarjeni pogoji za nastanek oblakov in da bo poleg teh kriterijev treba upoštevati še prognostične vrednosti krivulje stratifikacije. Podobno, vendar celo izrazitejše velja za podatke Dunaja. Tu se vrednosti ob 13. uri močno razlikujejo med grupo, ki je bila toča in grupami brez nje. Tudi pri nočnih opazovanjih so te razlike že zaznavne, vendar predvsem pri TSSI faktorju, dočim se pri TK faktorju v nekaterih grupah že izgube.

Le pri postaji Udine ostanejo podobni znaki, kot pri prejšnjih labilnostnih faktorjih. Nočna labilnost je v vseh grupah in pri obeh faktorjih, tako TK kakor tudi TSSI, znatno večja kot dnevna. To smo tudi že razložili in se zato temu ne čudimo. Lepo pa izstopajo znatno večji labilnostni faktorji pri primerih s točo, kot brez nje.

Metoda transformiranih faktorjev je preskušena le na podatkih petih mesecev in zato njena vrednost kljub razmeroma dobrim rezultatom še ni potrjena. Število dni s točo je bilo premajhno, da bi lahko metodo sprejeli ali ovrgli. Vrednost se bo pokazala predvsem ob koriščenju pri vsakdanji praksi. Te rezultate bomo vsekakor upoštevali pri prognozi toče v Sloveniji, vsaj dokler ne bomo napravili zadovoljivega modela za prognozo vertikalnih gibanj.

\* \* \* \*

Delo je del raziskovalne teme Izboljšanje prognoze neviht in določitev metode za prognozo toče. Nalogo je finansirala Gospodarska zbornica SRS.

## LITERATURA

- /1/ Gluškova N.I.: Metod prognoza grada i livenja. Trudi vипуск 3, Visokogornij geofizičeskiy institut 1966
- /2/ Bibilašvili N.Š., Lapčeva V.F., Ordžonikidze A.A., Sulakvelidze G.K.: Osobenosti koagulaciono rasta gradi, sviazannie s izmenjenjem skorasti vertikalnih potokov po visote. A.N. SSSR. ser. geofiz. № 4. 1960
- /3/ Pristov J., Žitnik L.: Izboljšanje prognoze neviht in določitev metode za prognozo toče. 1970 (Gospodarska zbornica SRS - neobjavljen)
- /4/ Petkovšek Z.: Nevihtna karta in nevihtna pogostnost v Sloveniji za dobo 1951 - 1960. Razprave - Papers VII, DMS, Ljubljana 1966
- /5/ Pristov J.: Količinska kratkoročna napoved padavin II. del 1966 (Sklad Borisa Kidriča - neobjavljen)
- /6/ George J.J.: Weather Forecasting for Aeronautics. New York - London, 1960
- /7/ Götz G.: Sturmwarnung am Balatonsee. Veröffentlichungen der Ungarischen Zentralanstalt für Meteorologie, Band XXX, Budapest 1966
- /8/ Galway G.J.: The Lifted Index as a Predictor of Latent Instability. Bulletin of the American Meteorological Society, Vol. 37, 1956
- /9/ Borko M.: Nekaj ugotovitev v zvezi s pojavom neviht v Brniku. Razprave - Papers X. DMS, Ljubljana 1968

## NEKAJ KARAKTERISTIK ONESNAŽENJA ZRAKA V LJUBLJANI

## SOME CHARACTERISTICS ABOUT ATMOSPHERIC POLLUTION AT LJUBLJANA

551.510.42

BOJAN PARADIŽ

Hidrometeorološki zavod SRS, Ljubljana

### SUMMARY:

Ljubljana - a city with 200.000 inhabitants - is located in a large basin in the central region of Slovenia. This part of Slovenia is well sheltered from winds of general circulation by the Alps and the Dinaric mountains. Therefore predominant winds are weak or absent. These characteristics are even more pronounced in the Ljubljana basin. Calms are very frequent and in winter strong and long lasting inversions usually accompanied by fog very often develop. In such unfavorable weather conditions very high concentrations of atmospheric pollution were observed. (The maximal mean value was 2.4 mg of SO<sub>2</sub> per cubic meter.) The most polluted was the broader center of the city. In summer the air is better. It is more polluted only in the immediate surroundings of roads with busy traffic.

In Ljubljana emission of air pollution is relatively small. This can be proved by small amount of sediments in winter (3 tones per square kilometer per month). High concentration of air pollution is caused mainly by very unfavorable weather conditions which almost cut off the natural dilution of pollutants.

The winter daily course of SO<sub>2</sub> concentration is very characteristic. At night minimal values were observed. Maximal values, - which are four times larger, - were found during late morning and noon hours. A comparison of SO<sub>2</sub>

concentration with meteorological parameters shows that the influence of emission is modest at night and predominant after 04:00 a.m. This emission is brought mainly by sources of heating and by traffic. The comparison of data from different locations shows that the traffic pollutes only the immediate surroundings of busy roads.

## UVOD

Ljubljana je upravni in trgovinski center SR Slovenije z dokaj razvito predevalno industrijo. Na področju mesta pa ni velikih industrijskih objektov z veliko emisijo onesnaženja. Mesto šteje 200.000 prebivalcev in leži v nižjem delu obsežne ljubljanske kotline. Znano je, da so klimatske razmere v kotli – nah za naravno čiščenje onesnaženega mestnega zraka zelo neugodne. Zaradi slabih vetrov, ki so izrazito slabi zlasti pozimi, pogostih in močnih temperaturnih inverzij, ob katerih se pojavi navadno megla, pa so razmere za naravno čiščenje onesnaženega zraka v Ljubljani še posebno neugodne. Zato smo že pred pričetkom meritev onesnaženja zraka predvidevali, da je pozimi zrak v Ljubljani precej onesnažen. Meritve, ki so se pričele na meteorološkem observatoriju v Ljubljani leta 1965 so to potrdile. Celo več, izkazalo se je, da je pozimi zrak zelo močno onesnažen. Kljub temu, da v Ljubljani ni velikih industrijskih virov onesnaženja, povzročajo zlasti srednji in številni manjši viri za ogrevanje ter promet toljko onesnaženje, da je n.pr. 13.I.1967 povprečna dnevna koncentracija  $\text{SO}_2$  v zraku dosegla celo  $2.4 \text{ mg/m}^3$  na dan. To je zelo visoka vrednost, ki 16 krat presega higijenski standard še dovoljene koncentracije  $\text{SO}_2$  v zraku.

Obravnavanje snovi je bilo dokaj težavno, saj manjka veliko potrebnih podatkov, razpoložljivi pa niso vedno dovolj kvalitetni in vsestranski. Predvsem ni bilo mogoče zadostiti dobro določiti krajevne razporeditve onesnaženja, manjkajo razporeditve pri karakterističnih vremenskih razmerah, dnevni potek onesnaženja v poletnih mesecih in še marsikaj. Najtežje pa je bilo z ugotavljanjem vzrokov za visoke koncentracije onesnaženja v Ljubljani. Vzroke smo lahko določili le s posrednimi metodami, važnejše zato ne več, bolj ali manj neodvisnih načinov. Z nadaljnimi meritvami in raziskavami, bo vsekakor potrebno ugotoviti preveriti, jih dopolniti in po potrebi popraviti.

## VETROVNE RAZMERE, INVERZIJE IN MEGLA V LJUBLJANI

Osrednja Slovenija je z Alpami in Dinarskim gorovjem zaščitena pred direktnim vplivom prevladujočih zahodnih vetrov splošne cirkulacije. Zato je razumljivo, da prevladujejo v kotlinah kakršna je ljubljanska, še posebno šibki vetrovi. Z razpoložljivimi instrumenti, ki sicer zadoščajo v običajnih razmerah pa pri zelo slabih vetrovih ni mogoče dovolj natančno ugotoviti vetrovnih raz-  
54

mer. To pa je običajno ravno takrat, ko nastopajo največje koncentracije onesnaženja v Ljubljani.

S podatki o številu terminov z brezveterjem in povprečnimi mesečnimi hitrostmi veta lahko spoznamo, kako slabí so vetrovi v Ljubljani. Do 1. 1963 so se za merjenje hitrosti veta uporabljali instrumenti s pragom občutljivosti med 1 in 1.5 m/sek, od 1. 1964 dalje pa s pragom občutljivosti okrog 0.5 m/sek. Vrednosti zato podajamo ločeno za obdobje 1959 - 1963 in 1964 - 1969.

TABELA 1 Pogostnost terminov z brezveterjem (v %) in srednje mesečne hitrosti veta v Ljubljani za dobo 1959 - 1969. (Za podatke s pragom občutljivosti anemometra med 1 in 1,5 m/sek -  $C_{1,5}$  in  $v_{1,5}$  – in za podatke s pragom občutljivosti anemometra okrog 0,5 m/sek -  $C_{0,5}$  in  $v_{0,5}$ )

TABLE 1 Frequency of observations at standard observation times with calms (percentage) and mean wind velocities in Ljubljana during the period 1959 - 1969 (For data with anemometer's sensitivity threshold between 1 and 1.5 mps -  $C_{1,5}$  and  $v_{1,5}$  and for data with anemometer's sensitivity threshold about 0.5 mps -  $C_{0,5}$  and  $v_{0,5}$ )

	I.	II.	III.	IV.	V.	VI.	VII.	VIII.	IX.	X.	XI.	XII.	SR.VR.
1959-63	$C_{1,5}$	61	52	52	46	44	43	48	54	55	57	62	64
1961-63	$v_{1,5}$	0.8	0.9	1.3	1.2	1.4	1.2	1.2	1.0	0.9	0.7	1.0	0.8
1964-69	$C_{0,5}$	44	39	20	17	10	15	21	21	22	32	20	34
1964-69	$v_{0,5}$	0.6	1.1	1.5	1.8	1.9	1.5	1.3	1.2	1.1	0.9	1.1	0.7
													1.2

Velik odstotek terminov z brezveterjem in nizke poprečne mesečne hitrosti zgovorno pričajo o slabih prevetrenosti Ljubljane. Iz razlike med  $C_{1,5}$  in  $C_{0,5}$  pa vidimo, da je letno skoraj 1/3 vseh klimatoloških terminov s hitrostjo veta med prago ma občutljivosti obeh anemometrov, t.j. med 0.5 m/sek in približno 1.2 m/sek.

Za podrobnejše podatke o vertikalni temperaturni inverziji v ljubljanski kotlini ni na voljo radiosondažnih ali podobnih meritev temperaturnega poteka z višino. Za določitev inverzije in njene jakosti pa se lahko uporabijo podatki z meteorološkega observatorija v Ljubljani (300 m) in meteorološke postaje na Šmarini gori (667 m), ki je postavljena na južnem pobočju le nekaj metrov pod samotnim vrhom 8 km severno od observatorija.

Po podatkih J. Pučnika /1/ je v tabeli št. 2 za nekatere mesece podana pogostnost inverzij v ljubljanski kotlini. Inverzije so ugotovljene s pomočjo temperaturnih razlik med Šmarino goro in Ljubljano za klimatološke termine ob 07,14 in 21 uri (obdobje 1948 - 1954).

TABELA 2 Pogostnost inverzij v Ljubljanski kotlini za dobo 1948 – 1954 (po J. Pučniku /1/)

TABLE 2 Frequency of inversions in the Ljubljana basin during the period 1948 – 1954 (After J. Pučnik /1/)

mesec	termin	pogostnost v %	število dni z meglo minimalno	število dni z meglo maksimalno	največja temp. razlika
I.	07	69	17 (1954)	26 (1949)	10.6 °C
	14	42	2 (1953)	18 (1949)	5.6 °C
	21	52	9 (1954)	21 (1949, 51)	-
II.	07	66	12 (1954)	14 (1949)	11.8 °C
	14	38	6 (1954)	14 (1949, 52)	6.1 °C
	21	57	7 (1954)	25 (1949)	6.5 °C
III.	07	66	15 (1954, 55)	27 (1948)	10.5 °C
	14	28	1 (1950)	18 (1948)	3.7 °C
	21	39	3 (1954)	22 (1948)	7.1 °C
VIII.	07	67	18 (1952)	27 (1950)	4.8 °C
	14	13	1 (1949)	10 (1950)	1 °C
	21	30	0 (1951)	18 (1948)	-
IX.	07	70	18 (1952)	24 (1948, 49, 51)	7.7 °C
	14	17	2 (1952, 53)	9 (1950)	-
	21	40	7 (1953)	24 (1949)	3.8 °C

Iz tabele vidimo, da so temperaturne inverzije v Ljubljani vse leto sorazmerno zelo pogostne. Seveda so poleti inverzije manj izrazite. Pozimi pa so inverzije zelo močne ter trajajo ves dan in tudi po več dñi skupaj. Maksimalna temperaturna razlika med Šmarno goro in Ljubljano ob 07. uri, ki je bila 11.8 °C, gotovo ne predstavlja resničnega ekstrema v dobi 1948 – 1954. Po podatkih s termogramom z obeh postaj, ki so na voljo za januar 1968 namreč vidimo, da nastopajo ekstremne vrednosti temperaturnih razlik navadno med 8. in 13. uro in skoraj nikoli ob 07. uri (srednja mesečna razlika je največja ob 11. uri, ekstremna vrednost 11.9 °C pa je bila ob 08. uri). Presenečajo nas avgustovske opoldanske "inverzije", pa čeprav so temperaturne razlike med Šmarno goro in Ljubljano manjše od 1 °C. Upoštevati moramo namreč južno pobočno lego postaje in s tem intenzívno ogrevanje okolice postaje, zlasti še pri slabih južnih vetrovih. V takih razmerah temperaturne razlike med Ljubljano in Šmarno goro zagotovo ne predstavljajo temperaturne razporeditve v prosti atmosferi.

Pri slabem vetu in velikem številu temperaturnih inverzij so v Ljubljani, seveda, idealni pogoji za pogosten nastanek megle, po kateri je Ljubljana tudi

znana. V tabeli 3. je za obdobje 1960 – 1969 navedeno število meglenih dní po posameznih mesecih.

TABELA 3 Poprečno število dni z meglo v Ljubljani za dobo 1960 – 1969

TABLE 3 Mean number of days with fog in Ljubljana during the period 1960 – 1969

I.	II.	III.	IV.	V.	VI.	VII.	VIII.	IX.	X.	XI.	XII.	Σ
20.0	14.3	8.8	6.2	5.5	6.9	7.9	11.5	16.7	18.6	15.4	18.0	149.8

#### MERITVE ONESNAŽENJA ZRAKA V LJUBLJANI

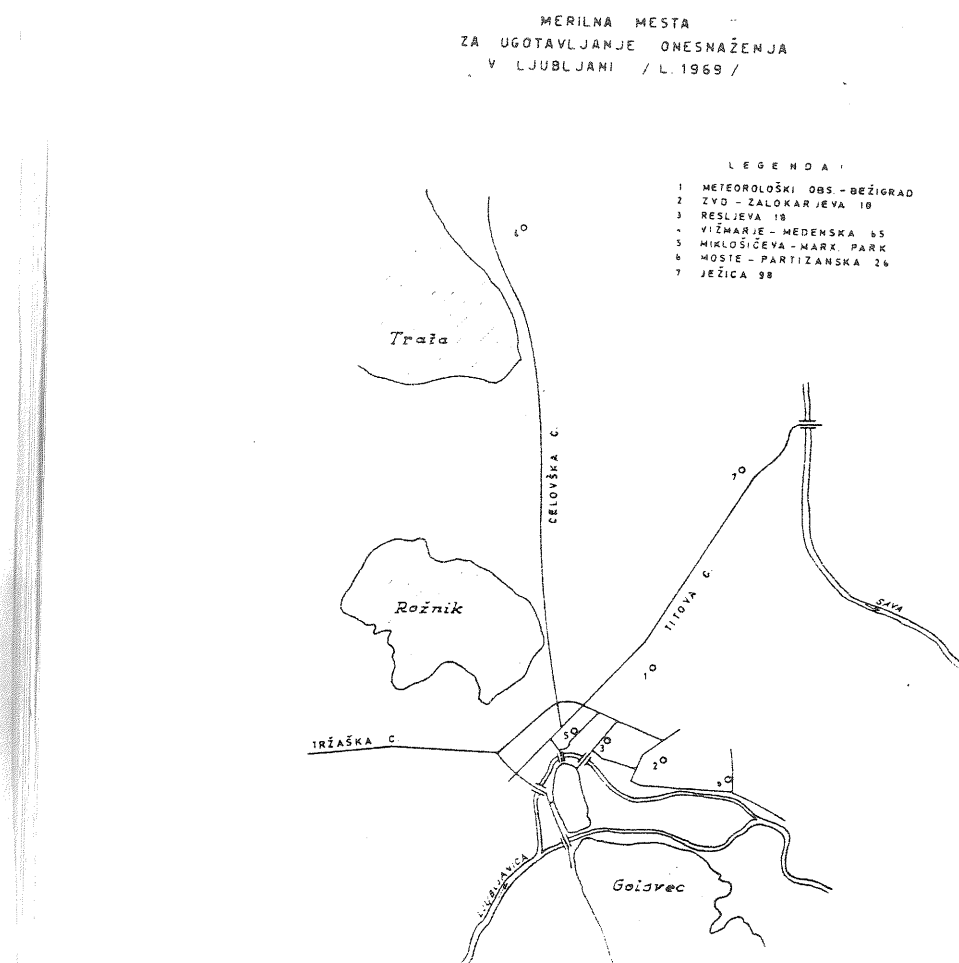
Za Ljubljano so na voljo podatki o meritvah za običajne škodljive prime- si v zraku kot so  $\text{SO}_2$ , prah in dim, razpolagamo pa tudi s podatki za količino mesecnih usedlin za razna merilna mesta (slika 1). Vse naštete sestavine onesnaženja prihajajo v zrak predvsem z dimnimi plini iz različnih industrijskih kurišč, iz kurišč za ogrevanje in ne nazadnje iz izpuhov motornih vozil. V Ljubljani ni industrije, ki bi v večjem obsegu spuščala v zrak tudi druge škodljive prime- si, zato lahko za oceno onesnaženja zraka v Ljubljani uporabimo kar podatke o koncentracijah  $\text{SO}_2$  in dima.

Za koncentracijo  $\text{SO}_2$  so v Ljubljani na voljo poprečne polurne vrednosti, poprečne 2 in 24 urne vrednosti in poprečni mesečni indeksi:

A. Poprečne polurne koncentracije  $\text{SO}_2$  so določene z registrirno aparatu ULTRAGAS 3 Wösthoffa /2/. Rezultati so z meteorološkega observatorija od 13. januarja do 11. februarja 1968.

B. Poprečne 24 urne koncentracije  $\text{SO}_2$  so na voljo za merilno mesto na meteorološkem observatoriju za Bežigradom od leta 1965 dalje, od leta 1967 da- lije na Zavodu SRS za varstvo pri delu, Zalokarjeva 10. Od leta 1968 dalje pa so tudi podatki za merilni mesti na Resljevi cesti 18 in v Vižmarjih – Medenški cesti 65. Do leta 1968 smo za določanje koncentracije  $\text{SO}_2$  uporabljali znano jodometrično metodo, od leta 1968 dalje pa uporabljamo standardno angleško peroksidno metodo /3/.

C. Indeksi poprečnih mesečnih koncentracij  $\text{SO}_2$  v zraku so na voljo za merilno mesto na meteorološkem observatoriju od leta 1965 dalje. Od leta 1966 dalje pa tudi za merilno mesto na Miklošičevi c., v Mostah, na Ježici in v Viž- marjih. Uporabljena je naslednja znana merilna metoda, ki jo uporabljajo tudi v avstrijski meteorološki službi /4/. En mesec izpostavimo na zraku tkanino, stalno omogočeno z raztopino  $\text{K}_2\text{CO}_3$ , ki se z  $\text{SO}_2$  veže v  $\text{K}_2\text{SO}_4$ . Količino  $\text{SO}_2$  določimo po standardni  $\text{Ba SO}_4$  metodi. Metoda ne daje absolutnih vrednosti



Slika 1 Merilna mesta za ugotavljanje onesnaženja v Ljubljani (leto 1969)

Fig. 1 Locations of air pollution measuring stations in Ljubljana in 1969

koncentracije, rezultati pa so uporabni za relativno primerjavo onesnaženja z  $\text{SO}_2$  med različnimi merilnimi mesti.

Za oceno koncentracije trdnih delcev v zraku razpolagamo s podatki za poprečno 24 urno koncentracijo dima, s konimeterskimi podatki in z usedlinami:

a. Poprečne dnevne koncentracije dima določimo po standardni angleški metodi /3/. Zrak črpamo skozi filterski papir, iz črne sledi na filtru določimo z reflektometrom koncentracijo dima v zraku. Vrednosti za koncentracijo dima so na voljo od leta 1968 dalje, za merilno mesto na meteorološkem observatoriju in na ZVD Zalokarjeva 10, od leta 1969 dalje pa tudi za merilni mesti na Resljevi cesti in v Vižmarjih.

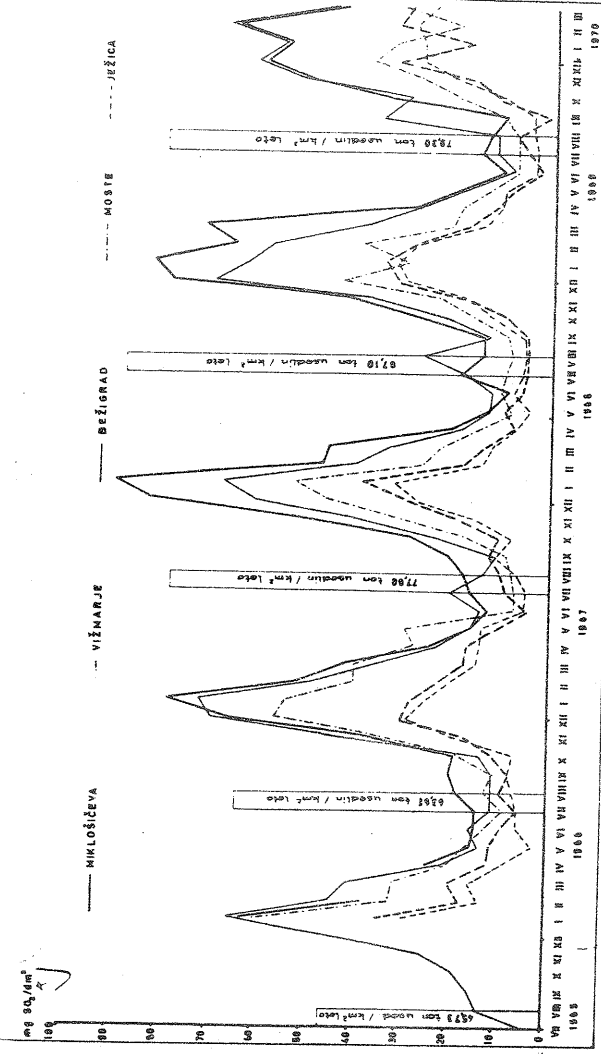
b. Število prašnih delcev v ml zraka po konimetru smo merili na meteorološkem observatoriju ob klimatoloških terminih v letih 1965, 1966, 1967 in v januarju 1968.

c. Za merilno mesto na meteorološkem observatoriju razpolagamo tudi s podatki za mesečno količino usedlin, ki se ulovijo skupaj s padavinami v višinskem ombrometru površine  $500 \text{ cm}^2$ . Vsebino iz ombometra speremo, prefiltiramo skozi filterski papir, posušimo pri temperaturi  $105^\circ\text{C}$  in zaščiteno pred vlaženjem iz zraka stehtamo. Z upoštevanjem teže posušenega praznega filtra preračunamo usedline v  $\text{tone}/\text{km}^2$  za mesec.

#### LETNI POTEK ONESNAŽENJA ZRAKA

V Ljubljani je izrazit letni potek koncentracije onesnaženja. Iz podatkov o indeksih poprečnih mesečnih koncentracij  $\text{SO}_2$  v zraku (slika 2) vidimo, da je v toplejšem delu leta zrak še precej čist, zelo onesnažen pa je v hladni polovici leta. Kako močno je pozimi zrak onesnažen, vidimo tudi iz podatkov poprečnih dnevnih koncentracij  $\text{SO}_2$ , če obravnavamo te vrednosti po zdravstvenih kriterijih. Ti so bolj ali manj strogi. V SFRJ štejejo  $0.15 \text{ mg SO}_2/\text{m}^3$  za neškodljivo, še dopustno koncentracijo  $\text{SO}_2$  v zraku. V ZR Nemčiji uporabljajo po pripomočku VDI Komission Reinhaltung der Luft za dopustno koncentracijo  $\text{SO}_2$  v zraku tolerantnejšo vrednost  $0.4 \text{ mg SO}_2/\text{m}^3$ . Obe navedeni, s higijenskega stališča še dopustni koncentraciji  $\text{SO}_2$  v zraku, pa sta pozimi v Ljubljani velikokrat močno preseženi. Za koliko in kolikokrat je razvidno iz podatkov v tabeli 4.

Na sliki 2, kot tudi v tabeli 4, vidimo, da je navadno najbolj onesnažen mesec januar. Zaradi različnih vremenskih razmer, ki vplivajo na emisijo (kurenje), še posebno pa na učinkovitost prirodnega čiščenja onesnaženega zraka, se stopnja onesnaženja iz leta v leto spreminja. Po doslej razpoložljivih podatkih je bilo najbolj kritično v januarju 1967, ko je bila na meteorološkem observatoriju izmerjena v Ljubljani maksimalna koncentracija  $2.37 \text{ mg SO}_2/\text{m}^3$ , vrednost  $0.4 \text{ mg SO}_2/\text{m}^3$  pa je bila presežena kar v 65 % vseh dni v tem mesecu. Kritično je bilo tudi v januarju leta 1968, ko je bilo nad  $0.4 \text{ mg SO}_2/\text{m}^3$  v 68 % vseh poprečnih dnevnih vrednosti, v januarju leta 1969 je bilo 71 % in



Slika 2 Potek poprečnih mesečnih indeksov koncentracij  $\text{SO}_2$  in letnih količin usedlin v Ljubljani

Fig. 2 Course of mean monthly indexes of  $\text{SO}_2$  concentration and yearly amounts of sediments in Ljubljana

TABELA 4 Število dnevi s koncentracijo  $\text{SO}_2$  v posameznih velikostnih intervalih, maksimalne mesečne vrednosti in število dnevi (v %) s koncentracijo  $\text{SO}_2$  nad  $0,15 \text{ mg}/\text{m}^3$  na dan in nad  $0,40 \text{ mg}/\text{m}^3$  na dan

TABLE 4 Number of days according to different intervals of  $\text{SO}_2$  concentration, maximal monthly values and numbers of days with  $\text{SO}_2$  concentration above  $0,15 \text{ mg}/\text{m}^3$  per day and above  $0,40 \text{ mg}/\text{m}^3$  per day

LETÖ	MESEC	MERILNO MESTO:											
		OD	DO	0.0	0.16	0.41	0.76	1.01	1.50	2.00	2.50	Max.	Nad
												vred.	vred.
1965	XI	18	8	2	0	0	0	0	0	0.95	40%	13%	"
	XII	3	18	8	2	0	0	0	0	0.92	90%	32%	"
1966	I	10	17	4	0	0	0	0	0	0.95	68	13	"
	II	10	11	7	0	0	0	0	0	0.70	64	23	"
	III	11	19	1	0	0	0	0	0	0.43	64	3	"
	XI	9	19	2	0	0	0	0	0	0.69	68	6	"
	XII	2	19	5	3	1	1	0	1.51	94	32	"	"
1967	I	4	7	12	2	2	3	1	2.37	87	65	"	"
	II	7	18	3	0	0	0	0	0.59	68	10	"	"
	III	8	22	1	0	0	0	0	0.51	74	3	"	"
	XI	22	5	3	0	0	0	0	0.64	26	10	0.64	83
	XII	4	19	6	1	0	0	0	1.13	87	16	1.11	74
1968	I	2	8	15	4	2	0	0	1.33	94	68	1.53	100
	II	2	16	10	1	0	0	0	0.77	93	38	1.90	55
	III	9	20	2	0	0	0	0	0.49	71	6	0.63	96
	XI	12	8	8	1	0	0	0	1.06	60	33	0.79	83
	XII	15	6	2	7	0	1	0	1.57	52	32	1.51	42
1969	I	0	7	13	7	4	0	0	1.39	100	77	0.98	59
	II	0	8	12	5	3	0	0	1.37	100	71	1.28	73
	III	1	30	0	0	0	0	0	0.39	97	0	0.47	96
	XI	22	8	0	0	0	0	0	0.28	27	0	0.35	90
	XII	5	20	5	1	0	0	0	0.76	83	19	0.88	62

februarju leta 1969 celo 77 % vseh dni s koncentracijami nad  $0.4 \text{ mg SO}_2/\text{m}^3$ .

Od novembra leta 1967 dalje so tudi podatki iz Zavoda SRS za varstvo pri delu (ZVD), ki leži na kompleksu ljubljanskih bolnišnic. Vidimo, da je ta predel še bolj onesnažen kot področja Bežigrada. Navadno so mesečni ekstremi nekoliko višji, mnogo več pa je dni s koncentracijami nad 0.15 in 0.40 mg  $\text{SO}_2/\text{m}^3$ . V letu 1968 so bili celo prav vsi dnevi v januarju s koncentracijo nad  $0.4 \text{ mg SO}_2/\text{m}^3$ .

#### KRAJEVNA RAZPOREDITEV ONESNAŽENJA

Za podrobnejšo določitev krajevne razporeditve koncentracije onesnaženja v Ljubljani ni na voljo dovolj podatkov. Za različna mesta v Ljubljani razpolagamo za dovolj dolgo dobo le s podatki za indekse poprečnih mesečnih koncentracij  $\text{SO}_2$  – slika 2. Na sliki vidimo, da je najbolj onesnaženo širše središče mesta (Miklošičeva, meteorološki observatorij Bežigrad), veliko manj pa je onesnažena periferija (Vižmarje, Ježica). Omenjeno krajevno razporeditev koncentracij potrjujejo tudi meritve poprečnih 24 urnih koncentracij  $\text{SO}_2$ . Žal pa doslej ni dovolj podatkov, da bi lahko točneje odredili prehodni pas, v katerem se koncentracije znašajajo.

Na prvi pogled presenečajo vrednosti iz Most. Tam je bila pozimi 1965–66 koncentracija  $\text{SO}_2$  približno enaka koncentraciji v širšem središču mesta. Zadnja leta pa je koncentracija  $\text{SO}_2$  na nivoju koncentracij periferije mesta. Spremembo v Mostah lahko pripisemo elektrifikaciji bližnje zelo prometne železniške proge, zlasti pa izgradnji nove toplarne v Mostah, ki je pričela poskusno s prekinivimi obratovati v letu 1966 in od leta 1967 dalje redno obratuje. Ker toplarna poleg vroče vode in tehnološke pare, proizvaja tudi znatne količine električne energije, se je emisija onesnaženja v Mostah znatno povečala, kar velja zlasti za emisijo  $\text{SO}_2$ , kočji zaradi učinkovitega filtra emisija trdnih delcev ni velika. Kljub močno povečani emisiji pa zaradi 100 m visokega dimnika pri močnih inverzijah, ko se javljajo najvišje koncentracije  $\text{SO}_2$ , toplarna področje Most neposredno skoraj ne onesnažuje. Večina industrijskih obratov pa tudi dobršen del ostalih ogrevanih površin v Mostah preskrbuje toplarna s tehnološko paro in vročo vodo. Zato so v zadnjih letih na področju Most postopoma opustili več industrijskih kotlaren in skupinskih pa tudi individualnih kurišč za ogrevanje, ki so z nizkimi dimniki pred pričetkom obratovanja toplarne očitno precej onesnaževali področje Most.

Po enačbah za disperzijo dimnih plinov sledi, da toplama ob vetrovih iz vzhodnega kvadranta, bolj kot področje Most onesnažuje širši center in druge predеле Ljubljane v smeri vetra, ki piha od toplarne. Ker toplarniška vroča voda ogreva dobršen del prostorov v teh področjih pa je iz modelov za disperzijo dimnih plinov razvidno /5/, da je vpliv toplarne na onesnaženje v širšem središču mesta veliko manjši kot bi sicer bil, če bi vse področje v širšem središču mesta ogrevali z običajnimi individualnimi ali manjšimi skupinskimi kurišči za

ogrevanje z nizkimi dimniki. To velja tembolj, ker je iz smeri vzhodnega kvadranta (NE, E, SE) registriranih manj kot 20 % podatkov o vetrui.

Razporeditev koncentracij  $\text{SO}_2$  v Ljubljani je zaradi opisanih sprememb v Mostah pred in po pričetku obratovanja toplarne zelo poučna in potrjuje zanesno ugotovitev, da je uvajanje daljinskega ogrevanja tudi v naših klimatskih razmerah rešitev, s katero se lahko zagotovi boljši zrak v naseljih.

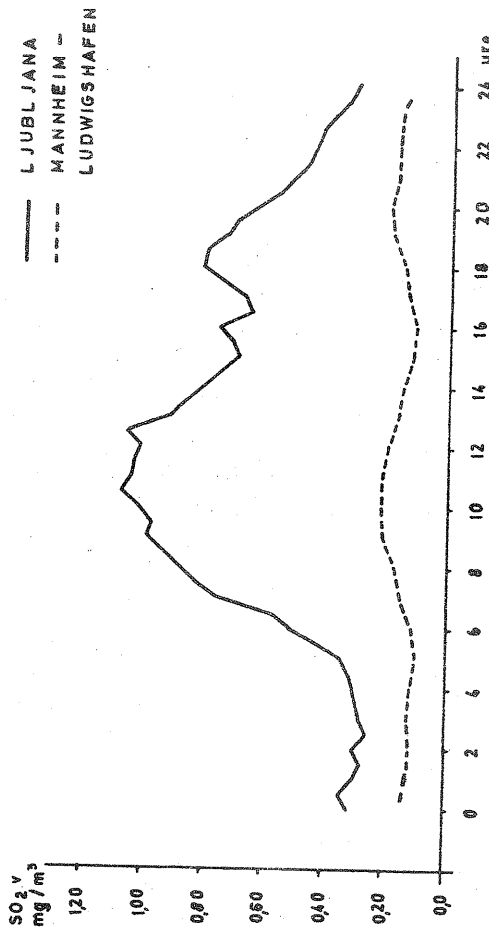
#### DNEVNI POTEK KONCENTRACIJE $\text{SO}_2$

Dnevni potek koncentracije  $\text{SO}_2$  zavisi od dnevnega poteka emisije  $\text{SO}_2$  in od dnevnega poteka meteoroloških parametrov, ki vplivajo na širjenje onesnaženja zraka, zlasti pa od smeri in hitrosti vetra in vertikalnega temperaturnega gradiента. Dnevni potek emisije in meteoroloških parametrov je različen v kurilni sezoni in različen izven nje, zato so osnovne karakteristike dnevnega poteka koncentracije  $\text{SO}_2$  v kurilni sezoni drugačne kot izven nje.

Žal so podrobni podatki za potek koncentracije  $\text{SO}_2$  na voljo le od 13.I. 1968 do 11.II.1968, kar zadošča le za določitev dnevnega poteka v kurilni sezoni.

Primerjava poprečnih 24 urnih koncentracij  $\text{SO}_2$  v zraku med Ljubljano in drugimi kraji /6/ kaže, da sodi Ljubljana pozimi med najbolj onesnažene kraje na svetu. Zato je prav tako zanimiva in poučna primerjava dnevnega poteka koncentracij. Iz literature /7/ so znani podatki za področje Mannheima in Ludwigshafna, industrijskega območja z več kot pol milijona prebivalcev. Ti podatki so z razpoložljivimi v Ljubljani še najbolj primerljivi. Merjeni so z enакimi instrumenti ULTRAGAS 3, iz registrirane krivulje pa so prav tako kot v Ljubljani ovrednotene polume poprečne vrednosti. Žal pa so v Mannheimu in Ludwigshafnu upoštevani podatki za januar, februar in decembra 1965, v Ljubljani pa le za del januarja in februarja leta 1968. V Ljubljani je (glej tabelo 3) v decembri zrak manj onesnažen kot v januarju, navadno pa bolj kot v februarju. Pri poprečnih razmerah pa bi zato ob upoštevanju decemberskih podatkov za zimski potek dnevne koncentracije v Ljubljani dobili nekoliko nižje vrednosti od prikazanih, vendar ne toliko, da bi se lahko poprečni krivulji zimskih koncentracij (slika 3) med seboj bistveno manj razlikovali.

Na sliki 3 vidimo, da so koncentracije  $\text{SO}_2$  v Ljubljani mnogo višje od koncentracij na področju Mannheima in Ludwigshafna, zlasti močno pa se razlikujejo maksimalne vrednosti. Majhna amplituda v M. in L. (maksimalna vrednost je za 1.4 krat večja od minimalne) priča o precej enakomernem dnevnem poteku emisije, kar kaže na znatni vpliv industrije, ki permanentno obratuje. Zelo velika amplituda (maksimalna vrednost je za 4.1 krat večja od minimalne) in časovni potek koncentracije  $\text{SO}_2$  v Ljubljani pa kažeta že brez upoštevanja meteoroloških podatkov, da je v Ljubljani vpliv jutranje in dnevne, zlasti pa dopoldanske emisije na onesnaženje zraka zelo velik, mnogo večji od vpliva emisije zvečer in ponoči. To pa tudi kaže, da industrija, ki permanentno obratu-



Slika 3 Poprečni dnevni potek koncentracije  $\text{SO}_2$  za Ljubljano (januar, februar 1968) in za Mannheim – Ludwigshafen  
Fig. 3 Mean daily course of  $\text{SO}_2$  concentration in Ljubljana (January, February 1968) and in Mannheim – Ludwigshafen (January, February and December 1965)

je, nima posebno velikega vpliva na onesnaženje zraka v Ljubljani, pač pa povzročajo največje onesnaženje zraka dnevni viri, ki pričnejo z emisijo zgodaj zjutraj.

Področje Mannheima in Ludwigshafna je veliko večje in bolj industrializirano kot ljubljansko. Zato je nemogoče, da bi bila mnogo višja koncentracija v Ljubljani pogojena z višjo emisijo. Zelo visok nivo koncentracije v Ljubljani povzročajo torej predvsem izredno neugodne vremenske razmere: pogostne temperaturne inverzije in slab veter, kar se kaže tudi v pogostni megli – poprečno 150 dni v letu.

Dnevni potek koncentracije  $\text{SO}_2$  z neobičajno veliko amplitudo opozarja, da je treba s higienskega stališča povsem drugače vrednotiti že tako visoke poprečne 24 urne koncentracije  $\text{SO}_2$  v Ljubljani, kajti vrednosti podnevi, ki so jim ljudje najbolj izpostavljeni, so mnogo višje od dnevnih poprečkov, ki jih higieniki uporabljajo za ugotavljanje vpliva  $\text{SO}_2$  na zdravje ljudi. Izrazit dnevni potek koncentracij pa velja upoštevati tudi pri zimskem prezračevanju zaprtih prostorov. Iz slike 3 in 4 ni težko spoznati, kateri čas je za prezračevanje najbolj ugoden.

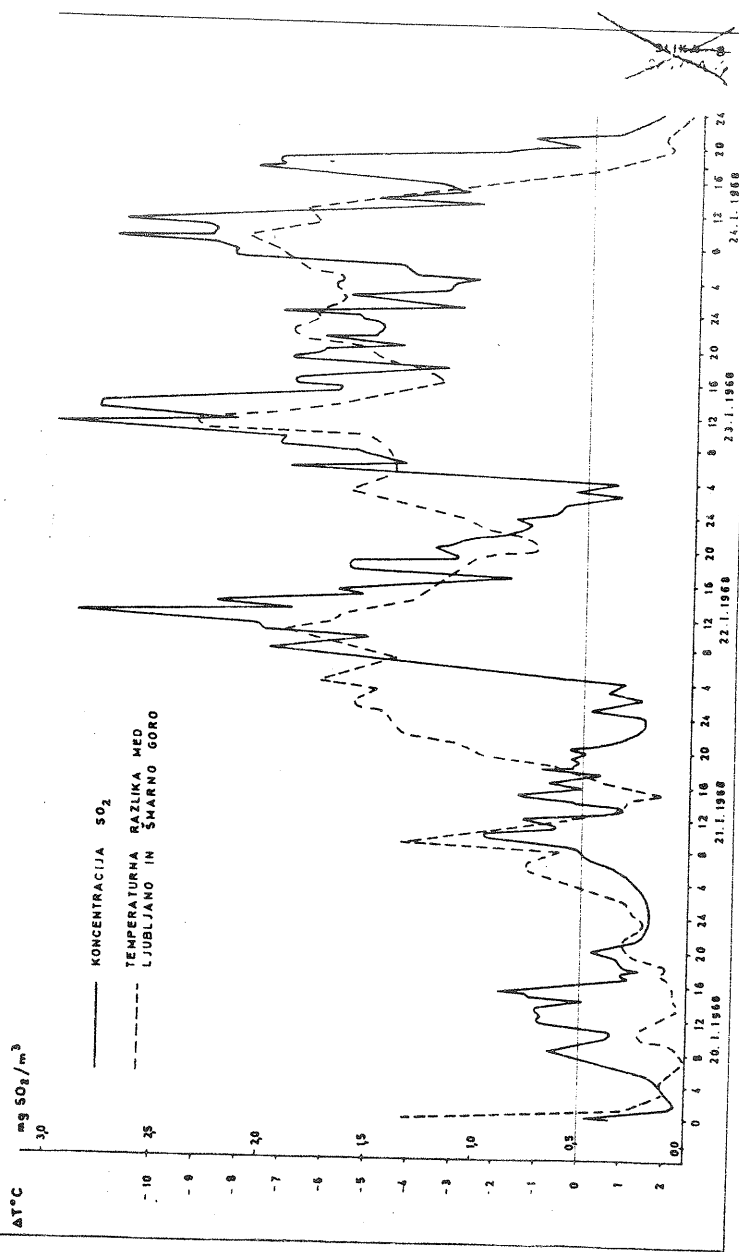
Vsi zaključki, ki smo jih naredili na podlagi dnevnega poteka koncentracije  $\text{SO}_2$ , so narejeni na osnovi meritev na meteorološkem observatoriju za Bežigradom. Posamezni dnevni potek koncentracij se pri raznih vremenskih razmerah (slika 4) močno razlikujejo po amplitudi ne pa tudi po glavnih značilnostih, kajti v vseh merjenih primerih je viden nočni padec koncentracij in nagel dvig po 4 uri zjutraj. Zato ni verjetno, da bi bil na kakšni drugi lokaciji v Ljubljani dnevni potek tak, da bi narekoval spremembe zaključkov o vplivu nočne in dnevne emisije na onesnaženje zraka v Ljubljani. To potrjujejo tudi meritve o poprečnih 2 urnih koncentracijah na Zavodu SRS za varstvo pri delu na Zalogarjevi cesti 10. v decembru in januarju 1968/69. Ti podatki so v tabeli 5.

TABELA 5 Dnevni potek koncentracije  $\text{SO}_2$  po meritvah dve urnih poprečkov (december, januar 1968/69) (Merilno mesto Zavod SRS za varstvo pri delu, Ljubljana, Zalogarjeva 10)

TABLE 5 Daily course of  $\text{SO}_2$  concentration according to two hours means (December 1968, January 1969) (Observations made at the Institute for Safety at Work, Ljubljana, Zalogarjeva 10)

Čas.	0-2	2-4	4-6	6-8	8-10	10-12	12-14	14-16	16-18	18-20
konc.	0.31	0.28	0.35	0.58	0.66	0.66	0.55	0.59	0.64	0.57

Čas.	20-22	22-24	ure
konc.	0.43	0.33	$\text{mg SO}_2/\text{m}^3$



Slika 4 Potek koncentracij  $\text{SO}_2$  in temperaturnih razlik med Ljubljano in Šmarno goro (višinska razlika 360 m)

Fig. 4 Courses of  $\text{SO}_2$  concentration and temperature differences between Ljubljana and Šmarna gora (difference in altitude 360 meters)

Pri primerjanju podatkov v tabeli 5 in na sliki 3 moramo upoštevati, da so vrednosti v tabeli 5 za decembra in januar ter za zimo, v kateri zrak ni bil tako močno onesnažen kot pozimi 1967/68. Dvourni poprečki pa tudi izravnajo amplitudo; minimalne vrednosti so višje, maksimalne pa nižje. Kljub temu pa je očitno, da je dnevni potek koncentracije  $\text{SO}_2$  na Zalokarjevi cesti identičen s potekom za Bežigradom. Zato velja gornji zaključki najmanj za najbolj onesnaženo področje Ljubljane.

Opozoriti moramo še na večerni dvig koncentracije  $\text{SO}_2$  s sekundarnim maksimumom okrog 18 ure, ki jeviden na sliki 3, še posebno pa je očiten iz podatkov v tabeli 5. Vzrokova za ta maksimum je lahko več. Brez dvoma pa povzročata sekundarni maksimum tako emisija kot tudi vremenske razmere, ki postajajo za naravno čiščenje onesnaženega zraka ob tem času vse manj ugodne.

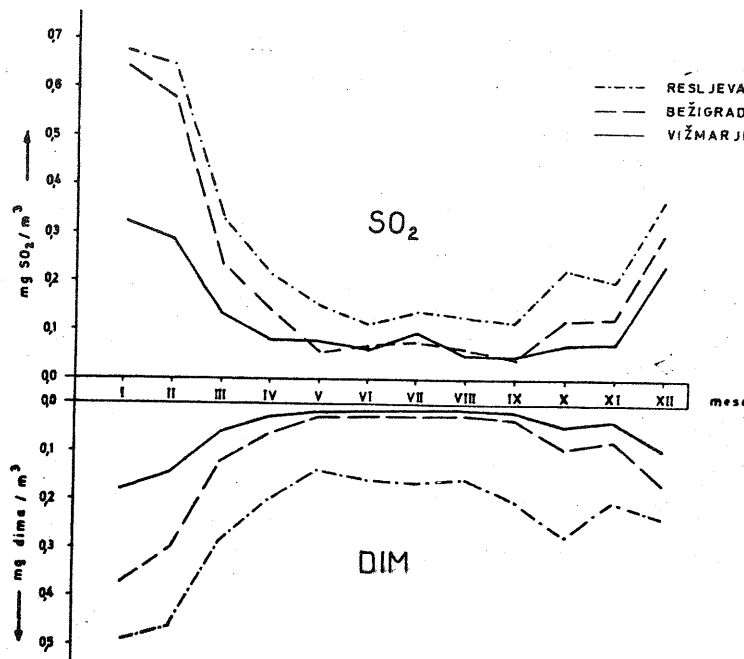
#### LETNI POTEK USEDLIN IN DIMA

Za letni potek usedlin je značilno, da so najvišje mesečne vrednosti v poletnih mesecih. Ker ni na voljo analize o vsebnosti posameznih elementov v usedlinah niti podatkov o velikosti delcev, ne moremo direktno določiti izvor usedlin in tako spoznati, koliko skupni količini doprinašajo viri, ki zrak onesnažujejo in koliko drugi faktorji.

Po konimeterskih meritvah števila vesnih delcev v zraku (merimo povečini delce med 0.1 $\mu$  in 5 $\mu$  pa je letni potek prav obraten). Maksimalne vrednosti so pozimi in sicer v januarju, ko je bila maksimalna vrednost 790 delcev/ml, minimalne vrednosti pa so poleti – najvišja vrednost v juniju je bila 200 delcev/ml. Tudi letni potek koncentracije dima (slika 5) ima enak letni potek kot s konimetrom izmerjeno število delcev. To je tudi razumljivo, saj z obema instrumentoma (za merjenje števila delcev in količine dima) merimo delce mikronskoga velikostnega reda, ki v zraku vesijo. Ker v Ljubljani ni industrije, ki bi s tehnološkimi postopki spuščala v zrak upoštevanja vredne količine vesnih delcev, so vesni delci predvsem produkt raznega izgorevanja, ki ga je v zimskih mesecih zaradi kurjenja veliko več, s tem pa je pozimi tudi največ vesnih delcev v mestnem zraku.

Z upoštevanjem gornjega lahko letni potek količine usedlin vrednotimo drugače. Maksimalne letne količine usedlin v poletnih mesecih so posledica predvsem vetrovne erozije, ki lahko prenaša tudi večje in težje delce. V januarju in februarju, ko je zemlja povečini pokrita s snegom ali pa je zmrznjena, pa vetrovne erozije skoraj ni in usedline so posledica virov emisije, ki onesnažujejo in zelo močno onesnažijo mestni zrak.

Mesečna količina usedlin, ki znaša v najbolj onesnaženem mesecu januarju le 3 tone/ $\text{km}^2$  mesec, je zelo skromna, saj poznamo industrijske kraje, kjer mesečna količina usedlin preseže 100 ton/ $\text{km}^2$  mesec. Mesečna količina



Slika 5 Letni potek srednjih mesečnih koncentracij  $\text{SO}_2$  in dima v Ljubljani za leto 1969

Fig. 5 Yearly course of mean monthly concentrations of  $\text{SO}_2$  and smoke in Ljubljana during the year 1969

usedlin sicer ni direktni pokazatelj za emisijo  $\text{SO}_2$  in dima – komponent onesnaženja, ki jih v Ljubljani največ obravnavamo –, vendar pa usedline le lahko štejemo za približni pokazatelj emisije onesnaženja. Zato pri tako skromni količini usedlin v najbolj onesnaženih mesecih v Ljubljani lahko trdimo, da je emisija v Ljubljani v primerjavi z emisijo v velikih industrijskih centrih zelo skromna. V industrijskem predelu Cincinnati /6/ je zimska količina usedlin n.pr. 41 ton/km<sup>2</sup> mesec, v Ljubljani le 3 tone/km<sup>2</sup> mesec. Zato ni nobenega dvoma, da je emisija onesnaženja v Ljubljani mnogo manjša. Če je bila v Ljubljani maksimalna koncentracija  $\text{SO}_2$  2.4 mg/m<sup>3</sup>, v Cincinnati pa 1.2 mg  $\text{SO}_2/\text{m}^3$ , ne more biti ob tem nobenega dvoma, da so glavni razlog za visoke koncentracije v Ljubljani predvsem zelo neugodne vremenske razmere, ki preprečujejo učinkovito prirodno čiščenje onesnaženega zraka v Ljubljanski kotlini.

#### GLAVNI POVZROČITELJI ONESNAŽENJA ZRAKA V LJUBLJANI

Čeprav pri obravnavanju dnevnega poteka koncentracij in količine usedlin še nismo uporabili tudi meteoroloških podatkov, smo prišli do nekaterih spoznanj, ki kažejo, da nastopajo visoke koncentracije v Ljubljani predvsem zaradi zelo neugodnih vremenskih razmer in da so glavni onesnaževalci predvsem viri z dnevno emisijo, ki se prične zgodaj zjutraj, kar kot glavnega povzročitelja izključuje industrijo, ki permanentno obratuje. S primerjavo poteka koncentracij  $\text{SO}_2$  in meteoroloških parametrov se lahko prepričamo o veljavnosti gornjih ugotovitev, ki so ob pričeku izvajanja sanacijskih in preventivnih ukrepov v Ljubljani zelo pomembne, kajti glavno pozornost bo treba posvetiti virom, ki povzročajo največje onesnaženje zraka v Ljubljani.

Ob pomanjkanju emisijskih podatkov smo zopet prisiljeni uporabiti po-sredno pot. Uporabili bomo dnevni potek koncentracije  $\text{SO}_2$  in potek meteoroloških elementov, ki vplivajo na onesnaženje. Iz teh primerov lahko sklepamo tudi na potek emisije oziroma bolje na potek vpliva emisije na koncentracijo, kajti omenjena primerjava že upošteva vplive različnih višin dimnikov oziroma izpuhov vseh vrst onesnaževalcev.

Pri upoštevanju vremenskih parametrov smo zaradi negotovih podatkov pri kritičnih vremenskih razmerah prisiljeni narediti nekaj poenostavitev tako, da bomo upoštevali le vertikalni temperaturni gradient in še tega le z razliko temperatur med Šmarjo goro in Ljubljano. Pri kritičnih razmerah je hitrost vetra praviloma tako majhna, da meritve smeri in tudi hitrosti niso sigurne, pa tudi sicer meritve v eni točki ne karakterizirajo vetrovnih razmer v kotlini, ker se ob dovolj izrazitih talnih inverzijah izvaja skoraj vsa izmenjava zraka le s premeščanjem zračnih gmot v sami kotlini. Na srečo pa je med vetrovnimi razmerami in vertikalnim temperaturnim gradientom dobra zveza, saj ni talnih inverzij pri trajnejšem močnejšem vetru in ni močnejših talnih inverzij, kadar poleg ostalih izpolnjenih pogojev ni mirnega ozračja. Tako je zlasti pri kritičnih raz-

merah, ko se javlja največje koncentracije, vertikalni temperaturni gradient dober indikator vremenskih razmer, ki vplivajo na prirodno čiščenje onesnaženega zraka. S primerjavo časovnih potekov temperaturnih razlik med Ljubljano in Šmarno goro in koncentracijo  $\text{SO}_2$  (slika 4) se lahko prepričamo, da je res tako. Vidimo, da se krivulji dobro ujemata. Pri pozitivnih temperaturnih razlikah, ki predstavljajo normalno temperaturno razporeditev z višino, so koncentracije  $\text{SO}_2$  relativno majhne. Pri temperaturnih inverzijah (negativne temperaturne razlike) pa so koncentracije  $\text{SO}_2$  zelo velike, mnogo večje kot v dneh, ko inverzije ni oziroma je slaba in kratkotrajna. Tudi velike razlike v koncentracijah  $\text{SO}_2$  med dnevi brez in z inverzijami, ob upoštevanju zelo pogostnega javljanja inverzij, nedvoumno kažejo, da so zlasti neugodne vremenske razmere v Ljubljani najpomembnejši povzročitelj visokih koncentracij onesnaženja.

Ujemajo se tudi drugačne zveze med vremenom in koncentracijo; tako na primer podatki za najvišjo mesečno koncentracijo, ki je navadno v januarju in številom inverzijskih dni v tem mesecu. Število dni z inverzijo ob 07. uri (69 %) sicer v januarju ne izstopa. Izstopa pa visok odstotek inverzij ob 14. uri (42 %), to pa pomeni, da inverzije v januarju pogosto trajajo ves dan, to pa se lahko dogaja le tedaj, če so inverzije dovolj močne.

V tabeli 2 vidimo, da je tudi v drugih mesecih veliko inverzijskih dni. Poleti so inverzije seveda slabše in čez dan praviloma izginejo. Inverzije, zabeležene poleti ob 14. uri, imajo zaradi minimalne temperaturne razlike le simbolični pomen, najverjetneje pa jih v prosti atmosferi nad mestom ni. Sicer majhne negativne razlike v temperaturi med Ljubljano in Šmarno goro so najverjetnejša posledica že omenjenih napak zaradi južne pobočne lege meteorološke postaje na Šmarini gori. Kljub temu pa so zjutraj, zvečer in ponoči v Ljubljani tudi v poletni dobi vremenske razmere za prirodno čiščenje onesnaženega zraka zelo neugodne. Negativne posledice zaradi emisije motomega prometa, se kažejo že sedaj z visokimi koncentracijami dima in  $\text{SO}_2$  ob prometnejših cestah (slika 5). Z vse večjo gnečo na cestah, ki jo lahko pričakujemo že v bližnji prihodnosti, pa bodo koncentracije onesnaženja ob prometnih cestah tudi poleti močno preseglo dovoljeno mejo in postajale vse bolj nadležne.

Že samo iz poprečnega zimskega dnevnega poteka koncentracij  $\text{SO}_2$  smo lahko videli, da je vpliv nočne emisije na onesnaženje mestnega zraka majhen. Med dnevnim potekom koncentracij  $\text{SO}_2$  in temperaturnih razlik med Ljubljano in Šmarno goro ob inverznih situacijah pa opazimo razliko v večernem in nočnem času. Z večernim nastanjnjem oz. jačanjem inverzij, ki se pojavljajo pozimi že po 16. uri, se razmere za prirodno čiščenje onesnaženega zraka slabšajo. Pri enakomerinem poteku emisije bi morala zato krivulja koncentracije kmalu slediti krivulji temperaturnih razlik. To pa se ne dogaja oz. se koncentracija okrog 18. ure zveča (sekundarni maksimum), nato pa vse do 4. ure zjutraj pada. Pomembno je, da koncentracija  $\text{SO}_2$  pada kljub temu, da se slabšajo vremenske razmere za prirodno čiščenje onesnaženega zraka. Povečanje koncentracije po 4. uri zjutraj nastopi neodvisno od vremenskih razmer, seveda pa je višina koncentracij ovisna od jakosti inverzije, brez dvoma pa tudi od smeri in hitrosti vetra. Opisane razmere so zlasti lepo vidne na sliki 4 od 21.1. na 22.1.1968, ko se je iz normalnega temperaturnega poteka razvila močna inverzija, teji pa ni sledilo povišanje koncentracij, pač pa vztrajen padec vse do 4. ure zjutraj. Po tej uri je koncentracija ob neznatno poslabšanih vremenskih razmerah naglo porastla na več kot štirinajstkratno vrednost. Ob upoštevanju vremenskih razmer je tedaj že bolj gotovo, da je glavni povzročitelj zelo visokega zimskega onesnaženja jutranja in dnevna emisija in neugodne vremenske razmere. Jutranjo in dnevno emisijo pa povzročajo različni viri za ogrevanje poslovnih in javnih prostorov, stanovanj, industrijskih in obrtnih prostorov, ki jih uporabljamo podnevi. K dnevni emisiji onesnaženja pa mnogo prispeva tudi promet. Viri za ogrevanje in promet so torej v Ljubljani največji onesnaževalci mestnega zraka in pri ukrepanju mora tem veljati največja pozornost.

Iz poteka koncentracij  $\text{SO}_2$  in vertikalnega temperaturnega gradiента pa je tudi mogoče kvalitativno sklepati o vertikalni razporeditvi koncentracije v prizemnem sloju zraka. Georgii /9/ je ugotovljal verikalno razporeditev  $\text{SO}_2$  nad področjem Mannheima in Ludwigshafna. Ni znano pri kakšnih vertikalnih gradientih je izvajal meritve. Ugotovil pa je, da se koncentracija z višino nagnjo manjša. Drugačne rezultate pa sta dobila Davis in Newstein /10/ v času kritičnega onesnaženja v Philadelphiji. Ob prisotnosti temperaturnih inverzij sta najvišje koncentracije ugotovila okrog 100 m visoko. V ekstremnem primeru 25.1.1967 sta med 7. in 8. uro namerila: pri tleh 1.3 mg  $\text{SO}_2/\text{m}^3$ , v višini 100 m pa kar 8 mg  $\text{SO}_2/\text{m}^3$ . Ko pa se je inverzija med 10. in 12. uro razbila, se je zrak v prizemni plasti lahko že vertikalno mešal. Ob tem se je koncentracija pri tleh povišala na 4.2 mg  $\text{SO}_2/\text{m}^3$ , na 100 m višine pa se je od 8 zmanjšala na 4.7 mg  $\text{SO}_2/\text{m}^3$ .

Tudi v Sloveniji je videti, da so pri inverznih situacijah, maksimalne koncentracije v višjih zračnih plasteh. Poškodbe na rastlinstvu v vegetacijski dobi, ki se javljajo zaradi emisij večjih industrijskih objektov, so v takih krajinah tudi v višjih predelih, če jih je le mogoče zasledovati, najbolj zaznavne (Mežiška dolina, Zasavje). To potrjujejo tudi prve meritve v Zasavju, kjer se tudi ob poletnih inverzijah javljajo v višini nad sto metrov nad dnem doline zelo visoke koncentracije, ki presegajo 5 mg  $\text{SO}_2/\text{m}^3$ .

Tudi nad Ljubljano maksimalne koncentracije ob inverzijah niso pri tleh. Na sliki 4 namreč vidimo, da so razmere ob razbijanju inverzije v Ljubljani slične onim v Philadelphiji. Kadar ni advektivnih vplivov, se prične inverzija razbijati pri tleh. To pomeni, da je tudi pri negativnih temperaturnih razlikah med Ljubljano in Šmarno goro, seveda, kadar se ta razlika hitro manjša, v nižjih plasteh že možno vertikalno mešanje zraka. Na sliki 4 vidimo, da naglemu manjšanju temperaturnih razlik sledi najprej močnejši dvig koncentracije, kur je posledica izrevnove koncentracij v prizemnem sloju zraka. Iz tega pa sledi,

da so najvišje koncentracije ob inverzijskih situacijah tudi v Ljubljani v višjih plasteh. V kateri višini so maksimalne koncentracije in kolikšne so, je treba še podrobneje preučiti, saj je to pomembno za zračenje stanovanj v višjih nadstropjih blokov in stolnic.

#### VPLIV PROMETA NA ONESNAŽENJE MESTNEGA ZRAKA

Po razpoložljivih podatkih ni mogoče podrobneje določiti vpliva posameznih karakterističnih skupin virov na onesnaženje mestnega zraka. Lahko pa vsaj orientacijsko določimo, koliko na onesnaženje zraka vpliva promet. Če bi hoteli določiti vpliv vozil na bencinski pogon, bi nujno potrebovali vsaj še podatke o koncentraciji svinca v zraku. Za dizelska prometna sredstva pa je poleg emisije dušikovih oksidov značilna emisija dima, zaznavna pa je tudi emisija  $\text{SO}_2$ . Razpolagamo s podatki za  $\text{SO}_2$  in dim, zato lahko zadovoljivo ugotovimo vpliv dizelskih prometnih sredstev na onesnaženje zraka. V ta namen primerjamo srednje mesečne vrednosti koncentracije  $\text{SO}_2$  in dima na Resljevi cesti na meteorološkem observatoriju za Bežigradom in v Vižmarjih, vse za leto 1969 – slika 5.

Resljeva cesta, ob kateri je merilno mesto, je zaradi obvoza težkih tovornjakov in pomembne poti avtobusov s pogostimi zastoji prometa, z dizelskimi vozili najbolj obremenjena mestna ulica v Ljubljani. Merilno mesto na meteorološkem observatoriju za Bežigradom, je od Titove in prometne Topniške ceste oddaljeno v obe smeri nekaj nad 300 m. Merilno mesto v Vižmarjih pa je od prometnih cest precej oddaljeno.

Na sliki 5 vidimo, da je koncentracija  $\text{SO}_2$  na Resljevi cesti vse leto za približno enako razliko nad vrednostmi za Bežigradom. Pozimi pa je večja razlika z merilnim mestom v Vižmarjih, ki je na periferiji mesta in ima v tem času tudi zaradi tega nižje koncentracije  $\text{SO}_2$ . Podobne razmere so pri koncentraciji dima, le da so razlike med primerjanimi merilnimi mesti mnogo večje. Znatno višje vrednosti na Resljevi cesti lahko pripisemo vplivu prometa, to še zlasti poleti, ko onesnažljeta zrak le industrija in promet.

Tudi pri koncentracijah, ki jih povzroča promet, pridejo do veljave neugodne vremenske razmere v Ljubljani, saj so vrednosti ob Resljevi cesti zlasti za dim izredno visoke, v avgustu celo 13 krat višje kot v Vižmarjih. Dovoljena koncentracija dima v zraku je glede na kemični sestav dima med 0.05 in 0.15 mg/m<sup>3</sup>. Nižja vrednost je na Resljevi cesti z izjemo petih dni v letu 1969 vsak dan bolj ali manj izdatno presežena.

Primerjava rezultatov z različnih lokacij pa kaže, da promet onesnažuje le ozko območje okrog najbolj prometnih ulic. Rezultati primerjave pa so takoj neugodni, da narekujejo takojšnje ukrepanje. Tranzitni promet v Ljubljani bi moral nujno čim dlje iz mesta, potrebno pa bi bilo storiti vse za čim večjo hitrost vozil v mestu. Ob zelo neugodnih zimskih razmerah pa bo verjetno

že kmalu potrebeno omejevati promet z motornimi vozili, to še zlasti v prime-rih, če bo tudi v Ljubljani ugotovljeno javljanje večjih koncentracij nevarnega fotokemičnega smoga.

V Ljubljani so torej zelo neugodne vremenske razmere za prirodno čiščenje onesnaženega zraka. Prevladujejo slabi vetrovi, pogostne so zelo močne in trajne inverzije, ki jih navadno spremja megla. Ob tako neugodnih vremenskih razmerah, sejavljajo že pri skromnih emisijsah zelo visoke koncentracije onesnaženja. Zrak je zelo onesnažen pozimi. Poleti pa je bolj onesnažen le v bližini prometnejših cest, drugo pa je še dokaj čist. Najbolj je onesnaženo širše središče mesta, manj pa periferija.

Pozimi je zelo značilen dnevni potek koncentracije. Nočne koncentracije so relativno majhne, dnevne pa zelo visoke. Glavni povzročitelji visokega onesnaženja v Ljubljani so poleg neugodnih vremenskih razmer predvsem viri za ogrevanje in promet.

#### LITERATURA

- /1/ J. Pučnik: Temperaturne inverzije v Ljubljanski kotlini, neobjavljena razprava
- /2/ VDI-Richtlinien: Messung der Schwefeldioxid – VDI 2451
- /3/ National Survey of smoke and sulphur dioxide – Warren Spring laboratory – 1966
- /4/ Steinhäuser F. Über die Aenderungen der  $\text{SO}_2$ -Ablagerungen aus der Luft in Wien von 1958 bis 1966, Wetter und Leben , 1967 heft 3-4
- /5/ B. Paradiž: Izgradnja toplarne II na lokaciji ob kamniški progi in onesnaženje zraka v Ljubljani, elaborat HMZ 1970
- /6/ B. Paradiž: Varstvo zraka v specifičnih klimatskih razmerah Slovenije; Gradivo seminarja o komunalnih napravah, DIT Slovenije – 1970
- /7/ E. Lahman, E. Morgenstem, L. Grupinski: Schwefeldioxid-Immissionen im Raum Mannheim – Ludwigshafen, Schriftenreihe des Vereins für Wasser, Boden und Lufthygiene – Stuttgart 1967

/8/ Air Pollution Handbook, McGRAW-HILL BOOK COMPANY, INC.  
1956

/9/ W. Georgii: Die Verteilung von Spurengasen in reiner Luft,  
Atmosphärische Spurenstoffe und ihre Bedeutung für den  
Menschen - Birkhauser Verlag Basel 1967

/10/ K Davis, H. Newstein: The meteorology and vertical distribution of  
pollutants in air pollution episodes in Philadelphia, Atm.  
Environm. Nov. 1968.

ONESNAŽENJE ATMOSFERE MESTA MARIBORA S SO<sub>2</sub> IN DIMOM

POLLUTION OF ATMOSPHERE WITH SULPHUR DIOXIDE AND SMOKE IN  
MARIBOR

551.510.42

SLAVKO VERHOVNIK

Zavod za zdravstveno varstvo, Maribor

SUMMARY:

In Maribor the pollution of atmosphere with sulphur dioxide and smoke was being measured for two years. Concentration of sulphur dioxide was determined by the H<sub>2</sub>O<sub>2</sub> method; that of smoke by the reflectometry. 24 hours' samples of air with sulphur dioxide and smoke were collected from nine locations. Locations were chosen in such a way as to represent specific parts of town: industrial zones, school districts, public buildings and residential areas.

The results led to the conclusion that large differences of sulphur dioxide concentration and smoke existed among different parts of town. Sulphur dioxide concentration above 150 miligrams per cubic meter (150 µg/m<sup>3</sup>) was found around school districts on 58 % of all days, around public buildings on 45 %, in industrial zones on 44 % and in residential areas on 20 % of all days.

There were also large differences of sulphur dioxide concentration and smoke between summer and winter. In winter time (November, December, January and February) the sulphur dioxide concentration was everywhere above 500 µg/m<sup>3</sup> on 83 % of the days. In summer this percentage was only 13. During the winter period the smoke concentration was also everywhere above the prescribed value

( $150 \mu\text{g}/\text{m}^3$ ) on 51 % of the days and in summer this percentage was only 1.

These large differences of sulphur dioxide concentration and smoke between winter and summer time occur because of a more intensive heating and unfavorable weather conditions in winter.

## UVOD

Raziskovali smo onesnaženje atmosfere mesta Maribora s  $\text{SO}_2$  in dimom. Zbirali smo 24-urne vzorce  $\text{SO}_2$  in dima iz znanega volumna zraka. Dobili smo koncentracije  $\text{SO}_2$  in dima v atmosferi. To sta komponenti, ki jih najdemo v atmosferi vsakega naselja, ker sta produkt zgorevanja goriva. Dolgo ostaneta v atmosferi, ker se mešata in se gibljeti z zrakom.

Volumetrijska aparatura je britanska standardizirana aparatura, ki jo uporabljajo v mnogih evropskih državah. Uporaba te aparature omogoča direktno primerjavo naših rezultatov z rezultati, dobljenimi v drugih državah.

## MATERIAL IN METODE

Na področju mesta Maribora smo postavili 9 volumetrijskih aparatur za zbiranje dnevnih vzorcev  $\text{SO}_2$  in dima. Mesta smo izbrali tako, da predstavljajo specifične predele mesta:

Stanovanjski predel; mesto merjenja št. 1: Kmetijski pospeševalni in kontrolni zavod, Vinarska 14, št. 2: Mariborska mlekarna, Osojnškova 5, št. 3: Obratna ambulanta Železniškega zdravstvenega doma, Preradovičeva 19,

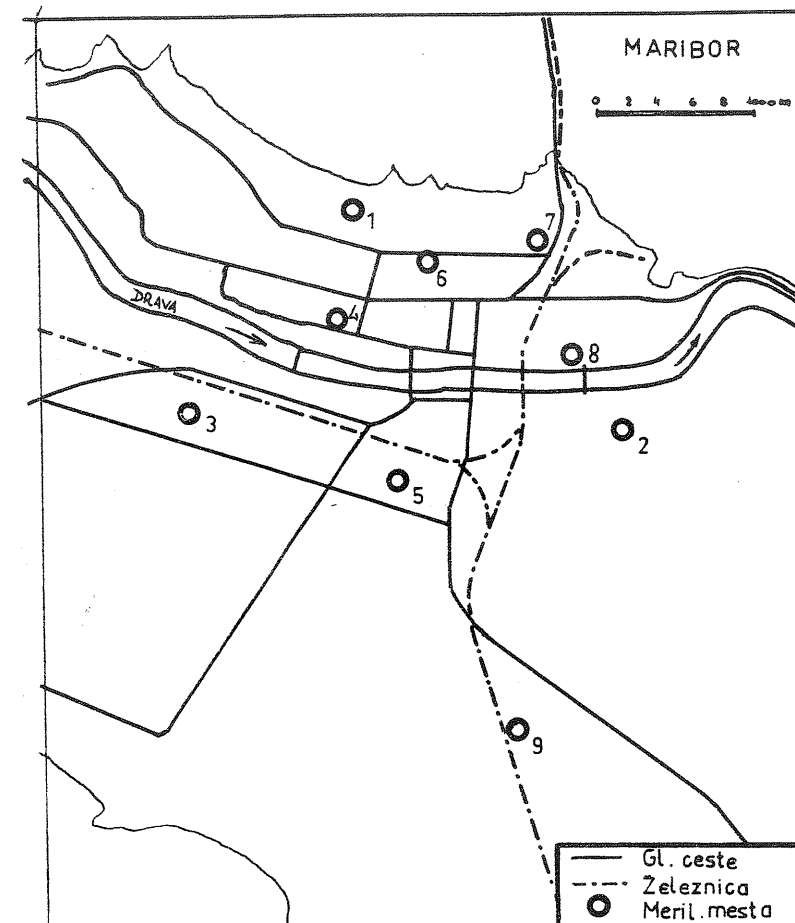
šole; mesto merjenja št. 4: Višja tehniška šola, Smetanova 17, št. 5: Višja stomatološka šola, Žitna 15,

javne zgradbe; mesto merjenja št. 6: Zavod za zdravstveno varstvo Maribor, Mladinska 3, št. 7: Obratna ambulanta Železniškega zdravstvenega doma, Partizanska 59,

industrija; mesto merjenja št. 8: Tovarna "Zlatorog", Industrijska 13, št. 9: Obratna ambulanta "Metalne", Zagrebška 20.

Lokacije merilnih mest so prikazane na sliki 1.

Na merilnih mestih 1 - 4 in 6 - 9 smo merili  $\text{SO}_2$  in dim od 16.8.1965 do 31.8.1967, na merilnem mestu št. 5 smo merili od 24.9.1965 do 31.8.1967.



Slika 1 Skica merilnih mest mesta

Fig. 1 Locations of measuring stations

Aparatura je prikazana na sliki 2, postopek za odvzem vzorcev pa je naslednji /1,2/:

Zrak vstopa skozi obrnjen lijak, ki je izven zgradbe, oddaljen 0,9 - 1 m od zidu zgradbe in je spojen z aparaturom, ki je v prostoru (slika 2). Plastična cev je v nosilni aluminijasti cevi, ki gre običajno skozi okenski okvir. Zrak gre skozi filter - papir Whatman No 1, ki je vpet v držalu. Na filter-papirju se zbirajo dim. Držalo s filter-papirjem je direktno spojeno z izpiralko, v kateri je praviloma 50 ml (volumen ni bistven) raztopine  $H_2O_2$ . Pri prehodu zraka skozi izpiralko  $SO_2$  oksidira v  $H_2SO_4$  in se tako zbira v raztopini. Iz izpiralke gre zrak v plinsko uro, ki registrira pretočni volumen zraka in zatem v črpalko, iz katere gre v atmosfero.

Črpalka prečrpava zrak skozi sistem s hitrostjo 1,2 - 1,5 litrov na minuto, tako da se v 24 urah zbere dim in  $SO_2$  iz približno 2  $m^3$  zraka.

$SO_2$  določimo tako, da vodimo zrak skozi 0,3 % raztopino  $H_2O_2$  pH 4,5, kjer  $SO_2$  oksidira v  $H_2SO_4$ . Kislost tako dobljene  $H_2SO_4$  določimo s titracijo z lužinami. Kislost je ekvivalent  $SO_2$  v zraku. Ta metoda ni specifična za  $SO_2$ . Ker pa je koncentracija  $SO_2$  običajno večja od koncentracij drugih kislin in alkalijs, so rezultati, dobljeni s peroksid-metodo, realni.

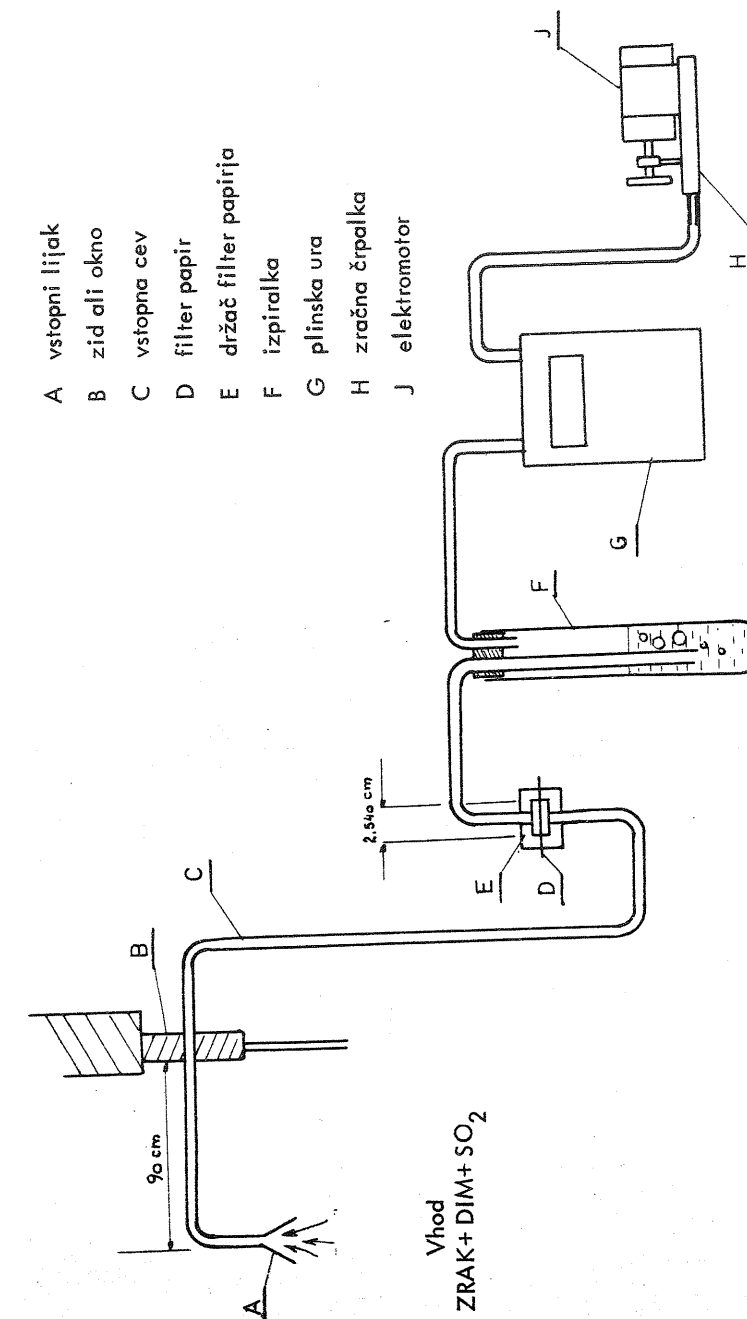
Dim določimo na naslednji način: določeno količino zraka filtriramo. Dim ostane na filtru in pobarva filter-papir sivo. Potem nitev filter-papirja je mera za koncentracijo dima.

To metodo so pričeli uporabljati v Veliki Britaniji že pred 50 leti. V začetku so ocenjevali vizuelno s primerjanjem vzorca s številnimi standardnimi madeži. Oceno so izražali z zaporedno številko standardnega madeža, kateremu je bil vzorec najbližji. Danes uporablja nacionalna kontrola v Veliki Britaniji meritve reflektirane svetlobe kot bazo za ocenjevanje koncentracije dima. Pri naših analizah vzorcev dima smo uporabili zgoraj navedeno angleško metodo reflektometriranja (instrument Eel - reflektometer). Utežno koncentracijo smo dobili iz internacionalne standardne meritvene krivulje.

Na slikah 3 do 6 so prikazane, za vsak karakteristični predel mesta, srednje in maksimalne mesečne vrednosti  $SO_2$  in dima, izražene v  $\mu g/m^3$ ; navedeno je tudi število dni v mesecu, ko je bila najdena vrednost  $SO_2$  večja od 150 in 500  $\mu g/m^3$  oz. dima 150, 250 in 500  $\mu g/m^3$ . Podatki veljajo za obe leti skupaj.

#### HIGIENSKA OCENA ATMOSFERE V MARIBORU

Da bomo lahko ocenili stanje atmosfere Maribora z ozirom na ugotovljene koncentracije  $SO_2$  in dima, moramo dobljene vrednosti primerjati s higienskimi standardi.



Slika 2 Skica opature za odvzem  $SO_2$  in dima

Fig. 2 Instrument for taking samples of sulphur dioxide and smoke

V naši državi do 10.8.1970 še nimamo predpisanih higieničkih standardov za maksimalne koncentracije  $\text{SO}_2$  in dima, katere še lahko toleriramo v atmosferi naselja. Pri oceni bomo zato uporabili norme drugih držav /3/.

Maksimalno dovoljene koncentracije v atmosferi za  $\text{SO}_2$  in aerosole

Država	Poprečne dnevne vrednosti v $\mu\text{g}/\text{m}^3$	
	$\text{SO}_2$	aerosoli
Sovjetska zveza	150	150
Čehoslovaška	150	150
Zvezna republ. Nemčija	500	
Kalifornija (ZDA)	500	150 (stanovanjski predel) in 250 (industrijski predel)

Vidimo, da so standardi vzhodnih držav znatno strožji od standardov zapadnih držav. Razlike so v kriterijih, ki se v posameznih državah uporabljajo. V SZ je kot mejna koncentracija tista, ki je organizem še ne "registrira", če - prav prekoracitev te meje še ne more pomeniti neugodno delovanje. V zapadnih državah velja za mejno koncentracijo tista, ki jo organizem še lahko eliminira brez škodljivih posledic.

Če primerjamo na vseh merilnih točkah izmerjene koncentracije  $\text{SO}_2$  v Mariboru z navedenimi standardi, ugotovimo, da 58 % dni v 24 mesecih zadovoljuje strožji kriterij (do  $150 \mu\text{g}/\text{m}^3$ ), 80 % blažji kriterij (do  $500 \mu\text{g}/\text{m}^3$ ).

V industrijskem predelu je bilo 56 % dni, ko so bile koncentracije enake ali manjše od MIK (maksimalna izmišljena koncentracija - dovoljena) po strožjem kriteriju, in 98 % dni, ko so bile koncentracije enake ali manjše od MIK po blažjem kriteriju.

V področju šol je bilo 42 % dni, ko so bile koncentracije enake ali manjše od MIK po strožjem kriteriju in 93 % dni, ko so bile koncentracije enake ali manjše po blažjem kriteriju.

V predelu javnih zgradb je bilo 55 % dni, ko so bile koncentracije enake ali manjše od MIK po strožjem kriteriju in 96 % dni, ko so bile koncentracije enake ali manjše od MIK po blažjem kriteriju.

V stanovanjskem predelu je bilo 80 % dni, ko so bile koncentracije enake ali manjše od MIK po strožjem kriteriju in 98 % dni, ko so bile koncentracije enake ali manjše od MIK po blažjem kriteriju.

V mesecih novembru, decembru, januarju in februarju je bilo na vseh mer-

nih mestih kar 83 % dni s koncentracijo  $\text{SO}_2$  nad MIK po strožjem kriteriju.

Maksimalno koncentracijo  $\text{SO}_2$  v zraku smo zabeležili 10/11. 3. 1966 v predelu šol (Žitna ulica) in je znašala  $1481 \mu\text{g}/\text{m}^3$ .

Pri ocenjevanju koncentracij dima bomo uporabili stopnje MIK Kalifornije, ki dovoljuje za stanovanjski predel poprečne dnevne vrednosti koncentracij dima  $150 \mu\text{g}/\text{m}^3$  in za industrijski predel  $250 \mu\text{g}/\text{m}^3$ .

Če primerjamo na vseh merilnih točkah izmerjene koncentracije dima z MIK, ugotovimo, da 84 % dni v 24 mesecih zadovoljuje kriterije za dim.

V industrijskih področjih mesta je bilo 75 % dni s koncentracijo, ki je bila enaka ali manjša od MIK.

V predelu šol je bilo 75 % dni s koncentracijo enako ali manjšo od MIK.

V predelu javnih zgradb je bilo 79 % dni, ko so bile koncentracije enake ali manjše od MIK.

V stanovanjskih predelih je bilo 87 % dni, ko so bile koncentracije dima enake ali manjše od MIK.

V mesecih novembru, decembru, januarju in februarju je bilo na vseh mestih 51 % dni, ko je bila koncentracija dima večja od MIK.

Maksimalno vrednost koncentracije dima smo zabeležili 4/5. 1. 1966 v predelu šol (Žitna ulica) in je znašala  $783 \mu\text{g}/\text{m}^3$ .

## SKLEPI

Na temelju rezultatov dvoletnih merjenj dnevnih koncentracij  $\text{SO}_2$  in dima v atmosferi Maribora na 9 mernih mestih lahko zaključimo:

1. Pojavljajo se velike razlike koncentracij  $\text{SO}_2$  in dima med posameznimi mestnimi področji. V predelu šol je bilo 58 % dni s koncentracijo  $\text{SO}_2$  nad  $150 \mu\text{g}/\text{m}^3$ , v predelu javnih zgradb 45 % dni, v industrijskem predelu 44 % dni in v stanovanjskem predelu 20 % dni s koncentracijo nad  $150 \mu\text{g}/\text{m}^3$ .

V industrijskem predelu je bilo 25 % dni s koncentracijo nad  $250 \mu\text{g}/\text{m}^3$ , v predelu šol je bilo 25 % dni s koncentracijo nad  $150 \mu\text{g}/\text{m}^3$ , v predelu javnih zgradb 21 % dni in v stanovanjskem predelu 13 % dni s koncentracijo nad  $150 \mu\text{g}/\text{m}^3$ .

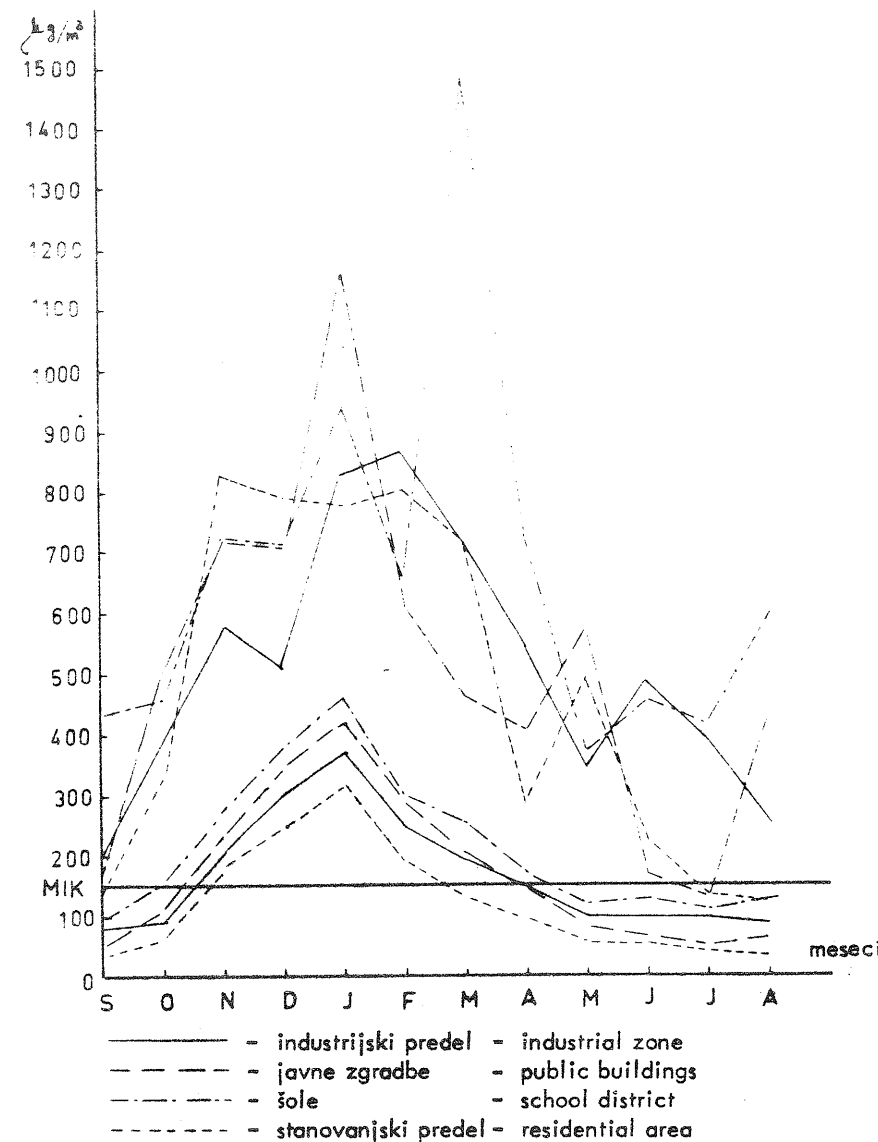
2. Pojavljajo se velike razlike koncentracij  $\text{SO}_2$  in dima med poletnimi in zimskimi meseci. V mesecih novembru, decembru, januarju in februarju je bilo na vseh mernih mestih kar 83 % dni s koncentracijo  $\text{SO}_2$  nad MIK po strožjem kriteriju. V mesecih maju, juniju, juliju in avgustu je bilo le 13 % dni s koncentracijo  $\text{SO}_2$  nad MIK.

V mesecih novembru, decembru, januarju in februarju je bilo na vseh mestihih 51 % dni, ko je bila koncentracija dima večja od MIK. V mesecih maju, juniju, juliju in avgustu je bil le 1 % dni s koncentracijo nad MIK.

Vzrok za velike razlike koncentracij  $\text{SO}_2$  in dima med poletnimi in zimskimi meseci je verjetno potrebno pripisati intenzivnejšemu kurjenju in neugodnim vremenskim pogojem pozimi.

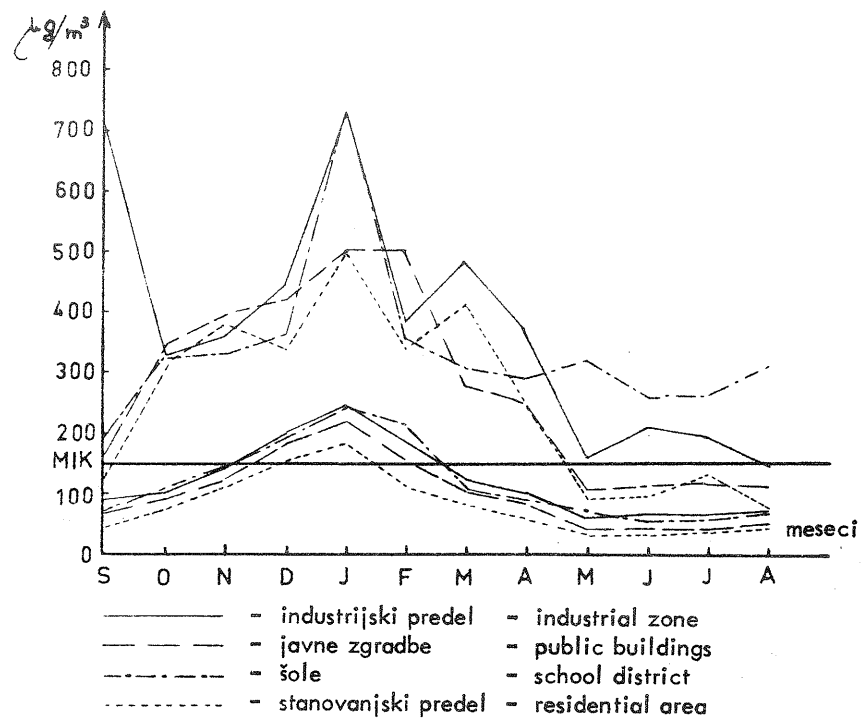
#### LITERATURA

- /1/ The Measurement of Atmospheric Pollution, Department of Scientific and Industrial Research, H.M. Stationery Office, London 1957
- /2/ The Use of the Daily Instrument for Measuring Smoke and Sulphur Dioxide. National Survey of Air Pollution, Department of Scientific nad Industrial Research, Stevenage 1961
- /3/ Mirka Fugaš, Mirjana Gentilizza, F. Valič, S. Verhovnik: Proučevanje onečiščenja atmosfere na področju grada Zagreba - II. Odredjivanje koncentracije sumpornog dioksida i dima. Arhiv za higijenu rada i toksikologiju, vol. 16, 1965, poseban otisak.



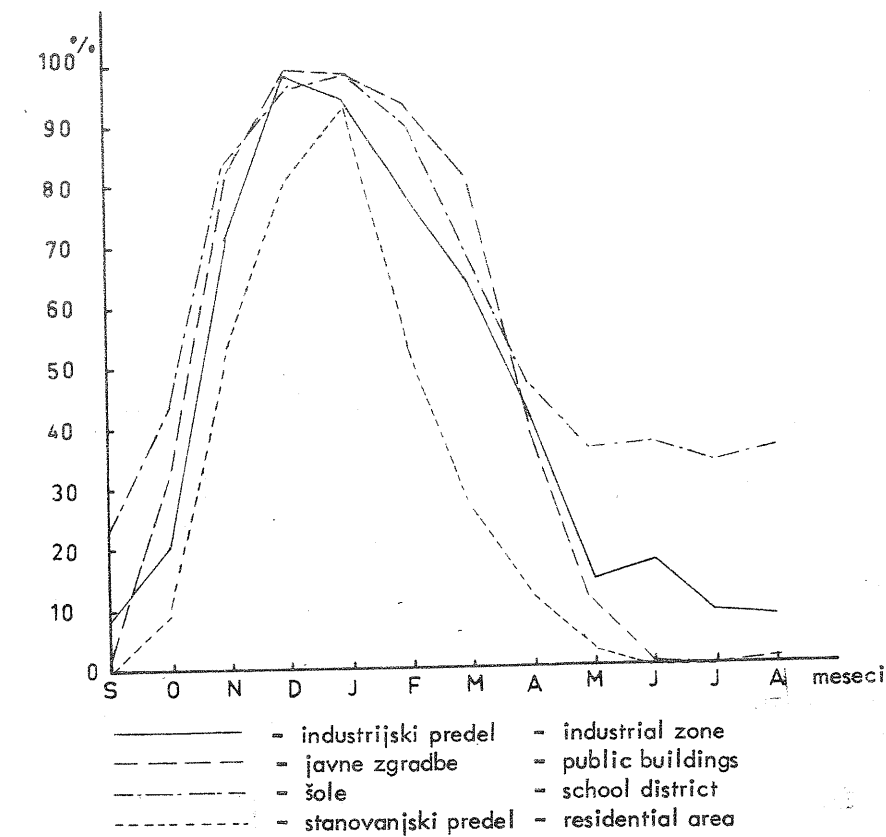
Slika 3 Letni potek srednjih in maksimalnih koncentracij  $\text{SO}_2$  na različnih mestnih mestih za dobo 1965 – 1967

Fig. 3 Yearly course of mean and maximal concentrations of sulphur dioxide on different locations during the period 1965 – 1967



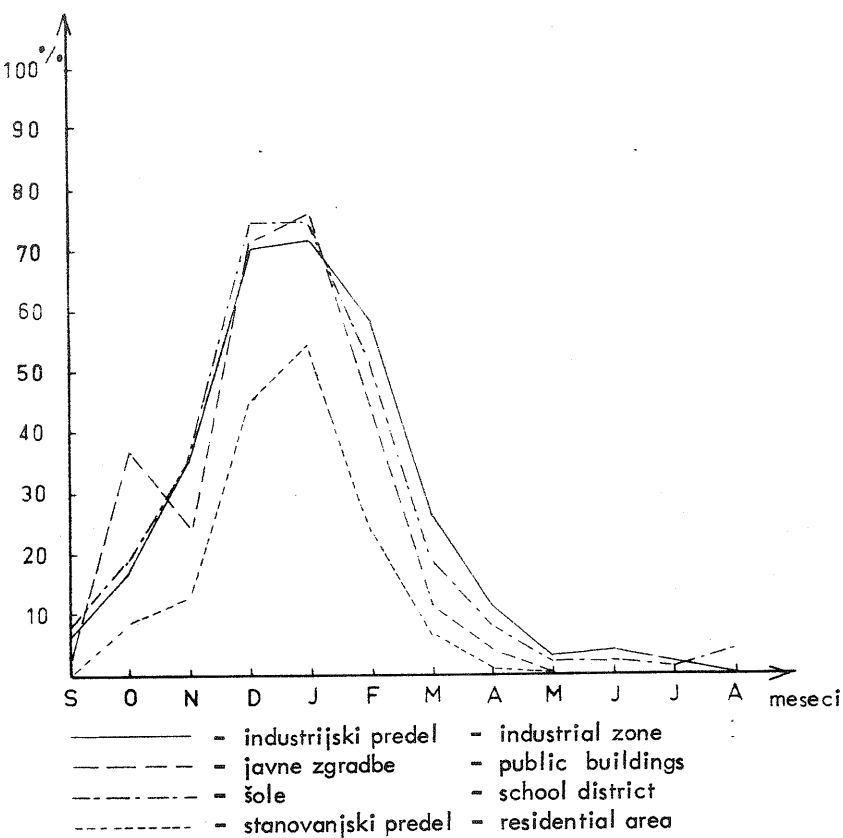
Slika 4 Letni potek srednjih in maksimalnih koncentracij dima na različnih merilnih mestih za dobo 1965 - 1967

Fig. 4 Yearly course of mean and maximal smoke concentrations on different locations during the period 1965 - 1967



Slika 5 Letni potek števila dni s koncentracijo  $\text{SO}_2$  nad  $150 \mu\text{g}/\text{m}^3$  na različnih merilnih mestih za dobo 1965 - 1967

Fig. 5 Yearly course of number of days with concentrations of sulphur dioxide above  $150 \mu\text{g}/\text{m}^3$  on different locations during the period 1965 - 1967



Slika 6 Letni potek števila dni s koncentracijo dima nad  $150 \mu\text{g}/\text{m}^3$  na različnih merilnih mestih za dobo 1965 – 1967

Fig. 6 Yearly course of number of days with smoke concentrations above  $150 \mu\text{g}/\text{m}^3$  on different locations during the period 1965 – 1967

METODA PRENOŠA VELIKE MNOŽICE VEKTORJEV VREMENA NA HITRE  
MEDIJE RAČUNALNIKOV

A METHOD FOR TRANSFER OF LARGE WEATHER VECTORS' POPULATION  
TO HIGH SPEED INPUT MEDIA OF COMPUTERS

551.582.2 : 681.327.4/.6

A. HOČEVAR, M. JURGELE \* in Z. PETKOVŠEK

Univerza v Ljubljani in  
\* Iskra Standard, Ljubljana

SUMMARY:

In this paper a method is given for transfer of large weather vectors' population (order of 10 millions) from low speed input media (cards) to high speed ones (magnetic tapes).

The program is written in FORTRAN IV language and transfers for instance, meteorologic data from cards to magnetic tapes in two-dimensional arrays, with dimensions 31 and 23. In such an array where data are packed if needed, to take as little space as possible, data are being gathered together for a whole month. If the month has less than 31 days, the array is completed with symbolic values.

The right time sequence of data is tested in such a way that the first and the last day of the month have to be on the right place of the time scale. The wrong time sequence and problems, connected with too many and not enough cards, are solved by the computer. Temporary arrays of same dimen-

sions are formed and completed by symbolic values. Detailed informations about them are printed on the printer. Thus mistakes can be eliminated later. The catching of the right time sequence again causes the transfer to follow the original schema without remarks (Fig. 1).

The problem with space started at the cards already. They could not be punched according to the numerical code of the computer but can be punched after additional code. Large numbers written in more than one column or other informations can be written in less columns with the help of rows, which aren't used in the numerical code of the computer. A suitable program for reading such informations was written and basic informations about it are given.

The final result of this work - a rational record of data on high speed input media-enables a quicker and cheaper further research on computers.

## IZVLEČEK

Shema prenosa velike množice komponent vektorjev vremena (nekaj milijonov), ki je podana v tem delu, je zgrajena tako, da teče prenos brez zastojev ter da stroj upošteva in tudi sam rešuje možne nepravilnosti in jih signalizira. Vektorji so razporejeni v paketih po 31 krat n podatkov ter pakirani tako, da je prostor na hitrih medijih čim bolje izkorишčen. Poseben sistem omogoča čitanje kartic, ki so luknjane po posebnem kodu. Vse to omogoča, da je nadaljnja obdelava podatkov z računalniki hitrejša in cenejša.

## UVOD

Znanosti, ki se pri svojih raziskavah opirajo na velike množice podatkov, imajo dandanes vse večje možnosti za svoj razvoj. Med te vede spada tudi meteorologija. Medtem, ko so bile raziskave velikih množic podatkov še v pretekli dobi precej omejene zaradi počasnosti klasičnega načina dela, lahko podatke sedaj vsestransko obdelujemo z računalniki, seveda le, če so pripravljeni tako, da jih stroj lahko tudi prečita.

Pri velikem številu podatkov - velikostnega reda deset milijonov, ki jih v meteorologiji ne redko kompleksno obdelujemo, pa možnost čitanja sama ni dovolj. Pojavlja se problem, kako hitro stroj podatke lahko čita in kako lahko z njimi ponovno in ponovno manipuliramo. Če so podatki na luknjanih karticah (ali na perforiranem traku), jih stroj sicer lahko čita, vendar gre tako čitanje sorazmerno počasi in je manipulacija s stotisoči kartic zelo neprikladna.

Čitanje 20.000 podatkov na minuto, kar je za klasično pojmovanje mnogo, je za velike množice podatkov še vedno prepočasno. Hitri mediji, kot sta magnetni trak ali disk, omogočata ob primerem sistemu stokrat hitrejši prenos. Zato je potrebno prenesti podatke s kartic ali trakov na te hitrejše vhodne izhodne medije; z njimi je delo mnogo hitrejše, bolj prikladno in cenejše.

Ta prenos je v načelu sicer preprost. Če pa upoštevamo, da je možno:

- da podatki - kartice - niso v pravilnem časovnem zaporedju in jih lahko nekaj manjka ali jih je celo preveč,
- da hočemo imeti zapis na hitrem mediju zelo racionalen in tak, da bomo podatke lahko hitro urejali in kombinirali, ter
- da podatki na počasnih vhodnih medijih zaradi stiske s prostorom niso luknjani v direktno čitljivem kodu,

pa postane prenos podatkov s počasnih vhodnih medijev na hitre manj preprost problem in njegova rešitev je pogoj za uspešno nadaljnje delo. Prav reševanju tega problema pa je posvečeno to delo.

## OSNOVNI PROGRAM

Osnovno vodilo glavnega programa, kadar gre za delo z veliko množico podatkov je to, da med delom ne sme priti do zastoja. Kljub veliki hitrosti dela lahko trajajo operacije z desetmilijonskimi podatki več ur. Zato morajo biti predvidene vse možne neregularnosti, ki jih mora računalnik sam sproti rešiti in nadaljevati z delom. Pri tem se mora držati osnovne sheme, obenem pa preiti neregularnosti, jih vključiti v osnovno shemo in obenem nanje tudi opozarjati. Le tako so možne kasnejše hitre in racionalne korekcije in ureditev celotnega materiala.

Drugo vodilo je obseg hitrega spomina uporabljenega računalnika. Pri delu z veliko množico podatkov je ta spomin sorazmerno majhen ter je nujno potrebno delo v ciklusih, kot je bilo to pri nas tudi v zvezi z reševanjem meteoroloških problemov že obravnavano za podatke s sinoptičnih postaj /1/. Klimatološke postaje dajejo dnevno manj, to je, okrog 70 komponent vektorja vremena, velikost spomina večjih sodobnih računalnikov, ki sme biti največ do tretjine zavzet s podatki, pa je okrog 30.000 besed. Glede na to je za kompleksne klimatološke obdelave, vključno prostorsko razporeditev, primeren ciklus oziroma "paket" podatkov za en mesec.

Vzemimo, da imamo na počasnih vhodnih medijih (n.pr. na karticah) vektorje vremena  $a = a(x_1, x_2, \dots, x_n)$ , ki so časovno in krajevno definirani. Te želimo spraviti na hiter vhodni medij v paketih dvodimensionalnega polja, katerega ena dimenzija bo velikosti 31, kolikor je največ dni v mesecu, druga pa velikosti  $n$ , kolikor je komponent tega vektorja, to je, kolikor imamo

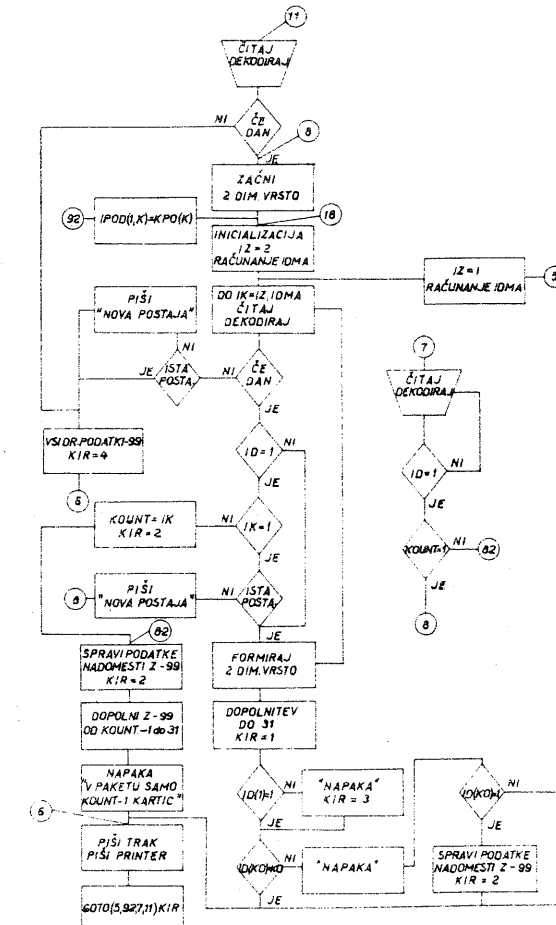
podatkov na dan. V vsakem takem paketu bo torej za en mesec podatkov, od katerih morata biti vektorja vremena vsaj za prvi in za zadnji dan na pravem mestu časovne premice. Podatki morajo biti za vse dni v mesecu. Za mesece, ki imajo manj kot 31 dni, se paket dopolni s simboličnimi vrednostmi. V primeru, da so te minimalne zahteve izpolnjene, bo tekel prenos gladko oziroma po osnovni shemi, sicer pa občasno po variantni. Šele ko bo prenos končan, je smiselnoprčeti s celotno kontrolo datuma in vektorjev podatkov /1,2/ in z njihovim eventualnim kompletiranjem /3/ kot naslednjo stopnjo obdelave.

Vektorji vremena morajo biti zapisani na hitrem mediju po enotni shemi, možno pa je, da podatki, ki jih stroj čita, niso nizani v pravilnem časovnem zaporedju. Zato vključimo v program navodilo, kako naj računalnik izpiše odstop dejanske razporeditve podatkov od osnovne sheme. Paketi, ki so vedno dimenzijs 31 krat n, so le pomožni, kadar so podatki neurejeni. Takih podatkov je praviloma malo, uredimo pa jih kasneje. Čim pride pri čitanju stroj spet na urejen material, mora iti prenos po osnovni shemi v redu naprej.

Shema poteka operacij z upoštevanjem zahtev v prejšnjem odstavku in možnosti za konkretno nalogu prenosa klimatskih podatkov z luknjanih kartic (po ena na dan za vsako postajo) na magnetni trak, je podana na sliki 1. Upoštevana je še informacija, da za mesec, za katerega vsi podatki manjkajo, ni kartic za vsek dan, ampak je samo ena za ves mesec, rubrika za dan na njej pa je prazna /4/.

Potek operacij je naslednji: Stroj čita prvo kartico. Če ni luknjana v direktno čitljivem kodu, jo najprej po podprogramu analizira, pretvori in nato posreduje v glavni program. Splošna rešitev tega problema je posebej podana v tretjem poglavju tega dela. Če je rubrika za dan prazna, napravi stroj paket 31 krat n simboličnih komponent ter začne čitati naslednjo kartico, kot da bi prejšnje sploh ne bilo. Če pa podatek za dan obstaja, formira iz podatkov te kartice prvo vrsto paketa, izračuna koliko dni ima tisti mesec ter toliko kartic tudi takoj prebere. Čitanje prekine, če naleti na datum 1, a o tem pozneje. Iz prebranih podatkov formira dvodimensionalno polje ter ga dopolni do 31 krat n s simboličnimi podatki, če je dni v mesecu manj kot 31. Tako formirano polje v spominu prekontrolira glede na prvi in zadnji vektor in izpiše eventualne nepravilnosti oziroma odstope od osnovne sheme (n.pr. "druga postaja", "v paketu je samo k-3 kartic" itd.). Nakar šele zapiše celo dvodimensionalno zbirkovo na trak v enem paketu in kot en "record".

Stroj nato izračuna koliko dni ima naslednji mesec. Če je vse v redu, prečita toliko kartic, formira zbirkovo, jo po potrebi izpolni in spet zapiše na magnetni trak. Če prva brana kartica ni tudi prvi dan v mesecu in je prvi dan šele na kaki drugi kartici, recimo na deseti, stroj iz prvih devetih prebranih kartic napravi pomožen paket in opozori na napake, s podatki desete kartice - s prvim dnevom v mesecu pa začne nov paket, ki je dokončen, če je najprej vse v skladu z zahtevami programa in spet začasen, če ni.



Slika 1 Diagram poteka operacij

Fig. 1 Flow chart

Primer, da kartica prvega dne manjka, je rešen tako, da stroj po kontroli dvodimenzionalnega polja, za katerega je ugotovil, da ne vsebuje prvega dne, ob čitanju kartic vsako testira, če je na njej prvi dan. Čim pride do nje, napravi iz že prebranih kartic pomožen paket, s kartico prvega dne pa začne novo dvodimenzionalno polje oziroma nov paket. Vsako spremembo lokacije (številko postaje) nam da stroj po testiranju vsakega prvega dne v mesecu, ki jo izpiše na printerju skupno z vektorjem vremena za ta dan, kar je potrebno zaradi kontrole poteka operacij, ki kljub veliki hitrosti računalnika trajajo več ur.

Da bi zaščitili že prebrane in na magnetni trak prenešene podatke pred izgubo v primeru okvare računalnika ali izpada električne energije i.p., so le-ti združeni v posamezne enote, ki so med seboj ločene s posebno znamko - file mark. Pri morebitni okvari zato ni potrebno ponavljati čitanja vseh podatkov, ampak se z vključitvijo stikala na konzoli računalnika in z dodatno kartico /5/ preskoči vnaprej znano število enot zapisa na traku, saj je le to po zapisu vsakega file tiskano na linijskem printerju, nakar se prenos nadaljuje.

#### RACIONALIZACIJA PROSTORA

Magnetni trak ali disk sta hitra magnetna medija, ki omogočata sama po sebi največjo koncentracijo podatkov, vendar pa lahko z uporabo dodatnih trakov in sistemov zapišemo na tak medij deset in več krat toliko podatkov kot brez njih. Pri veliki množici podatkov je to pomembno, saj lahko imamo na enem traku vse tisto, za kar bi jih sicer potrebovali deset. To pa je že zaradi prostora in prenosa, predvsem pa zaradi hitrejše ročne manipulacije velika prednost, ki je pri veliki množici podatkov ne smemo opustiti. Eden izmed tovrstnih posegov je pakiranje podatkov, drugi pa uporaba posebnih sistemov pisanja.

Vzemimo kot preprost primer, da je največje število decimalnega sistema, ki ga lahko zapišemo v prostor za besedo, šestmestno število

9 9 9 9 9 9

Večina komponent vektorja vremena oziroma meteoroloških podatkov pa je eno ali dvomestnih (n.pr. oblačnost  $x_7 = 4$ , stanje tal  $x_8 = 1$ , smer vetra  $x_9 = 27$  itd.), ki so v prostore za besede napisani takole:

b b b b 4      b b b b b 1      b b b 2 7

kjer pomeni b prazen prostor (blanck). Vse te podatke lahko spravimo v prostor za eno samo besedo na primer takole:

b 4 b 1 2 7

in nova komponenta  $y_k$  ima vrednost 40127; z njo se je potrebeni prostor zmanjšal za faktor 3.

Postopek za tako pakiranje je zelo preprost in ga napišemo simbolično;

a za naš primer:

$$y_k = 10000 \cdot x_7 + 100 \cdot x_8 + x_9$$

kjer so  $x_7, x_8, x_9$  pozitivna cela in največ dvomestna števila ( $\text{integerji} > 0$ ).

Če tako pakirane komponente zapišemo na hitrejše medije, je teh torej lahko trikrat manj; v isti obliki pa gredo seveda ob čitanju nazaj v hitri spomin računalnika. Da dobimo spet prvotne podatke  $x_7, x_8, x_9$ , ki so potrebni za nadaljnje delo, pa ne moremo preprosto po eksplicitnem zapisu enega izmed sestavin izločiti, ker vsebuje gornja enačba sedaj tri neznanki in ni rešljiva. Tu uporabimo lastnost računalnikov, da pri prenosu definirane integerja iz operativne enote v hitri spomin, vrednost, ki je za decimalno vejico, ignorira. Glede na to dobimo iz pakirane vrednosti  $y_k$  razpakirane komponente po enačbah, ki jih uporabimo po naslednjem vrstnem redu:

$$x_7 = y_k / 10000$$

$$x_8 = (y_k - 10000 \cdot x_7) / 100$$

$$x_9 = y_k - 10000 \cdot x_7 - 100 \cdot x_8$$

Negativnih vrednosti na ta način ne smemo pakirati, ker je pri razpakirjanju predznak komponent nedoločljiv. Pomagamo si lahko tako, da vsem vrednostim take komponente vektorja prištejemo določeno pozitivno konstanto, ki je zagotovo večja od katerekoli negativne vrednosti te komponente. S tem dobimo same pozitivne vrednosti in lahko dalje ravnamo po gornjem načinu. Pri končni določitvi posameznih vrednosti konstanto seveda spet odštejemo. V izjemnih primerih je možno pakirati celo po več besed v eno samo in tako ustrezno zmanjšati zasedbo hitrega medija. Pri majhnem številu podatkov to ni smiselno, je pa zato tem bolj, če gre število podatkov v desetine milijonov oziroma tedaj, ko podatki presežejo obseg fizične enote medija.

Posamezni "record" - zapis na traku - sprejme v navadni obliki le so - razmeroma majhno število karakterjev - znakov (med 120 in 160), za njim pa ostane vedno 18 mm traku praznega, tako da je več traku praznega kot polnega. Zato je potrebno pri veliki množici podatkov uporabiti sistem, ki bo omogočal zapis celega paketa v en "record", s čemer je torej luknenj tridesetkrat manj. Pri našem delu na elektronskem računalniku CDC 3300 smo uporabili sistem BUFFER /5/ in s tem reducirali dolžino magnetnih trakov za faktor 4.

#### VREDNOTENJE DIREKTNO NEČITLJIVIH INFORMACIJ

Zaradi racionalizacije prostora, ki je pogosto potrebna tudi na počasnih medijih - karticah, so kartice včasih luknjane tako (na pr. z dodatnimi luknjami na posameznih pozicijah), da kombinacija luknjic ne ustreza nobenemu izmed numeričnih karakterjev računalnikovega koda. Taka dodatna kodirancija sporočila morajo biti, seveda, tako izbrana, da vrednosti enoumno določajo.

Obstajajo lahko za vsako kolono ali skupino kolon na kartici. Številke v posameznih kolonah ali skupinah kolon so lahko identifikacijske količine (n.pr. dan, mesec, postaja) ali različne vrednosti (n.pr. pritisk, relativna vлага na kartici Klima 1, oblačnost in vremenski pojav na kartici Klima 2). Kodirni sistem je v našem primeru tako izbran, da poklicemo na pomoč enajsto in dvanajsto horizontalno vrstico. Vse vrednosti na karticah Klima 1 in Klima 2 /6/ so numerične in so označene s kombinacijo števil od 0 do 9. Zaradi stiske razpoložljivega prostora se vrednosti, ki bi normalno zavzale več vertikalnih kolon, luknjajo na manj mestih, zato pa s pripadajočimi simboličnimi označbami X, Y v vrstah 11 in 12. N.pr. vrednost 12,5, ki bi pri normalnem načinu zapisa zavzela štiri vertikalne kolone, se lahko zapiše v skrajšenem zapisu na dveh kolonah takole 25. Čitalci kartic v sklopu računalnika prebera kolono za kolono in vsako kombinacijo luknjanih mest prevede v svoj lastni računalniški kod na šestih binarnih mestih. Ta zapis ima svoje ime; Internal BCD zapis. Te prebrane veličine - karakterji so lahko v območju od 00<sub>8</sub> - 77<sub>8</sub> in zavzemajo vse možne kombinacije, ki jih lahko zapišemo na šestih binarnih mestih. Številke zavzemajo spodnja mesta od 00<sub>8</sub> - 11<sub>8</sub> (številke 0 do 9), ostali karakterji pa mesta od 11<sub>8</sub> navzgor. Vse vrednosti lahko razdelimo v tri grupe:

1. V tej grupi so vrednosti, ki so manjše ali enake 11<sub>8</sub>. To so čista števila in tiste, ki so enake 60<sub>8</sub>, to je neluknjanim mestom v koloni.
2. V tej grupi so vrednosti, ki so manjše ali enake 32<sub>8</sub>, a večje ali enake 21<sub>8</sub>. To so kombinacije luknjanih mest v horizontalnih vrsticah 0+12, 1+12, 2+12, 3+12, 4+12, 5+12, 6+12, 7+12, 8+12, 9+12. Te so v osnovnem kodu enake karakterjem +, 0, A, B, C, D, E, F, G, H, I; lahko pa pomenijo n.pr., da so vrednosti, ki so tako označene, nezanesljive ali pa kakšno posebnost kodiranja.
3. V tej zadnji grupi so lahko karakterji večji ali enaki 41<sub>8</sub>, a manjši ali enaki 52<sub>8</sub>, to je enaki kombinacijam 0+11, 1+11, 2+11, 3+11, 4+11, 5+11, 6+11, 7+11, 8+11, 9+11. Te v osnovnem kodu pa pomenijo karakterje -0, J, K, L, M, N, O, P, Q, R, v našem kodu pa so to vrednosti, ki so večje od možnega zapisa veličine v pripadajočih kolonah, n.pr.

$$25 = K5 = 12,5$$

$$00 = -00 = 100$$

Ta porazdelitev preseže podatke v tri različne grupe in izloči kot napacne vse vrednosti, ki niso tako označene. Tako izloči n.pr. kombinacijo 3<sub>8</sub>, kajere pomen je nesmiseln, saj tretja in osma vrstica ne pomenita v osnovnem kodnem ključu numerično vrednost, niti ne karakter, ki bi padel v eno od zgoraj navedenih treh grup.

Stroj čita kartico postopoma, kolono za kolono, in posamezne podatke

razporedi v eno izmed treh dopustnih grup, če je podatek pravilen, sicer pa si v polju napak zapomni mesto, kjer je našel nepravilen karakter. Nato nadaljuje s čitanjem naslednje kolone po istem postopku vse do poslednje kolone na kartici. Čitanje kartice je tako končano. Sledi logična kontrola prečitanih podatkov, vendar le, če v polju napak ni nobene bistvene napake. Če pa je, se vsebina kartice izpiše skupno z oznako kolon, kjer so ugotovljene napake. Poleg tega pa se na luknjaču kartic napačna kartica duplira. Tako je tako kartico kasneje laže popraviti, saj je ni potrebno iskat v osnovnem paketu. Logična kontrola preveri vse kolone drugo za drugo, če so pravilno izpolnjene in v skladu z uporabljenimi kodami luknjanja kartic /4/. Na primer: XX za temperaturo suhega termometra je napačno, saj drugi X ne pomeni ničesar. Pri postopku logične kontrole je potrebno še upoštevati, da lahko nastopajo spremembe koda.

Vrednosti prebrane s kartice se tako zberejo v polju podatkov in so praviljene za posredovanje v glavni program. V polju podatkov je morebitni manjkajoči podatek dopolnjen s simbolično vrednostjo, n.pr. 99 ali 88, odvisno od opazovalnega obdobja in navodil.

Prikazano celotno metodo prenosa velikega števila podatkov s počasnih vhodnih medijev (kartic) na hitre (magnetne trakove) smo uporabili pri meteoroloških podatkih. Podatke - cca 10 milijonov - za 38 postaj Slovenije, ki so na 400.000 karticah /6/, smo prenesli v paketih dimenziij 31 krat 23 na magnetni trak. Prenos je tekel praktično brez zastojev. Edine težave so povzročale fizično slabe kartice (zmečkane ali zaradi slabega luknjača slabo izluknjane kartice). Celoten prenos je trajal 9 ur in je omogočil, da bo vse nadaljnje delo s temi podatki skoraj 100 hitrejše in preprostejše.

#### LITERATURA

- /1/ Hočevan A. in Z. Petkovšek: Koncept kompleksne meteorološke obdelave z elektronskim računalnikom in nekaj rezultatov za meglo na letališču Ljubljana - Brnik. Razprave - Papers XI. DMS. Ljubljana 1969
- /2/ Hočevan A.: Kontrola meteoroloških podatkov pri obdelavah z računalniki. Zbornik radova SHMZ. Beograd (v tisku)
- /3/ Petkovšek Z.: Sodobno kompletiranje meteoroloških podatkov. Zbornik radova SHMZ. Beograd (v tisku)

- /4/ Navodilo za vpisovanje klimatoloških podatkov v mehanografske obrazce. HMZ SRS. Ljubljana 1964 in 1966.
- /5/ Computer Systems Fortran, Reference Manual, Central Data Corporation. November 1968. Pub. no. 60057600 C.
- /6/ Arhiv klimatoloških podatkov SHMZ. Beograd.